

强化

说明：

标注了十一章

手写答案部分在~~第四~~题目下边

部分另写白纸上。

字丑请见谅。



一、本章特点

本章的中心内容就是原子键合的定义，分类，特征，以及依据讲这些知识应用到宏观材料的分类和性能的分析上。

出题形式

本章内容试题的题型有名词解释题、选择题、简答题、试题的容量和难度都不会太大，以记忆知识为主，比较简单。

主要考点

考点 1：各种原子键合的定义

考点 2：各种原子键合的特征

考点 3：依据结合键对于材料的分类

考点 1：金属键，离子键，共价键，氢键，范德瓦尔斯力的定义。

例 1（名词解释）：离子键。

例 2：解释金属键。

例 3：大多数实际材料键合的特点是（A）。

A. 几种键合形式同时存在 B. 以离子键的形式存在

C. 以金属键的形式存在

考点 2：金属键，离子键，共价键的特征。

例 4：化学键中既有方向性又有饱和性的为（A）

A. 共价键 B. 金属键 C. 离子键

例 5：原子的结合键有哪几种？各有什么特点？

考点 3：依据结合键对于材料的分类。

例 6：解释高分子材料与陶瓷材料。

例 7：试从结合键的角度，分析工程材料的分类及其特点。

例 8：何谓陶瓷？从组织结构的角度解释其主要性能特点。

6. 那些由众多原子或原子团主要以共价键结合而形成的相对分子量在1000以上的化合物
以有机高分子化合物为基础的材料称为高分子材料。

陶瓷材料是用天然或合成化合物经过成形和高温烧结制成的一类无机非金属材料。它具有高熔点、高硬度、高耐腐蚀、耐氧化、稳定性好。

7. ① 金属材料主要以金属材料为主，以共价键和离子键为主，硬度高，强度高，塑性好。
② 陶瓷材料以共价键和离子键为主，硬脆，不导电，导热差。

③ 高分子材料分子内部以共价键为主，分子间为分子键和氢键为主。

④ 复合材料是以三种基本材料的人工组合，结合键种类繁多，性能差异大。

8. 陶瓷主要由非金属元素组成，以共价键或离子键为主，具有高硬度、高脆性、低导电性和导热性，主要以共价键和离子键为主，所以键能稳定且很高，故陶瓷材料具有高熔点、热膨胀系数小、硬度高、抗氧化、耐腐蚀、高温强度高、良好的光学特性和绝缘性，但烧结困难，但由于烧结设备、工艺等原因，陶瓷材料中难免出现气孔或微裂纹，故陶瓷材料的脆性大、强度低且易存在缺陷。



本章特点

本章的中心内容就是米勒指数的理解和应用，典型晶体结构的各种参数，空间点阵和晶体结构的辨析。对于本章，主观题目和客观题目都有涉及，对于计算能力有一定的要求，主要还是在对于知识记忆基础上的理解。

出题形式

本章内容试题的题型有简答题、名词解释、选择题、填空题、分析计算题，但除分析计算题外，试题的容量和难度都不会太大，分析计算题会具有较大容量和较大难度。

主要考点概述

考点 1：以米勒指数描述晶向和晶面

考点 2：固溶体和合金相的定义，分类，影响因素

考点 3：典型的晶体结构的各种参数

考点 4：空间点阵和晶体结构

考点 5：晶胞

考点 6：间隙 Δ

考点 1：以米勒指数描述晶向和晶面

1.1 晶面族 在晶体内部晶面间距和晶面上原子分布完全相同，只是空间位向不同可将同一晶面族。

例 1：什么是晶面族？ $\{111\}$ 晶面族包含哪些晶面？ $(111) \bar{(111)} (1\bar{1}\bar{1}) (\bar{1}1\bar{1}) (\bar{1}\bar{1}1)$

例 2：请分别写出立方晶系中 $\{110\}$ 和 $\{100\}$ 晶面族包括的晶面。 $(11\bar{1}) (\bar{1}1\bar{1}) (\bar{1}\bar{1}1)$

1.2 晶面夹角和晶面间距

例：面心立方结构金属的 $[100]$ 和 $[111]$ 晶向间的夹角是多少？ $\{100\}$ 面间距是多少？

1.3 晶带定理

例 1（名词解释）：晶带定理。

例 3：已知晶体中两不平行晶面 $(h_1 k_1 l_1)$ 和 $(h_2 k_2 l_2)$ ，证明晶面

$(h_3 k_3 l_3)$ 与 $(h_1 k_1 l_1)$ 和 $(h_2 k_2 l_2)$ 属于同一晶带，其中 $h_3 = h_1 + h_2$ ，

$k_3 = k_1 + k_2$ ， $l_3 = l_1 + l_2$ 。

$$\cos \langle \vec{a}_1 \vec{b} \rangle = \frac{\vec{a}_1 \cdot \vec{b}}{|\vec{a}_1| |\vec{b}|} = \frac{a_1 b_1 + a_2 b_2 + a_3 b_3}{\sqrt{a_1^2 + a_2^2 + a_3^2} \times \sqrt{b_1^2 + b_2^2 + b_3^2}}$$

$$\text{面间距 } d_{hkl} = \frac{a}{\sqrt{h^2 + k^2 + l^2}}$$

例 4：晶面 (110) 和 $(\bar{1}\bar{1}1)$ 所在的晶带，其晶带轴的指数为

A. (112) B. $(1\bar{1}2)$ C. $(02\bar{1})$ D. (012)

$$d = \frac{d_{hkl}}{2}$$

1.4 HCP 的米勒指数

例 1：写出如图所示六方晶胞中 $EFGHIJE$ 面的密勒-布拉菲晶面指数，以及 EF 、 FG 、 GH 、 IJ 、 JE 各晶向的密勒-布拉菲晶向指数。

例 2：写出如图所示六方晶胞中 $EFGHIJE$ 晶面、 EF 晶向、 FG 晶向、 CH 晶向、 JE 晶向的密勒-布拉菲指数。

例 3：六方晶系的 $[100]$ 晶向指数，若改用四坐标轴的密勒指数标定，可表示为 (B)。

- A. $[\bar{1}120]$ B. $[2\bar{1}\bar{1}0]$ C. $[2\bar{1}10]$ D. $[\bar{1}210]$

$$\frac{2}{3} - \frac{1}{3} - \frac{1}{3} 0$$

三轴 $[U V W]$ $[uv + w]$

$$U = \frac{1}{3}(2U - V) \quad V = \frac{1}{3}(2V - U) \quad t = -(u + v) \quad w = W$$

空间角阵解.

阵式:

空间矩阵.

矩阵系数.

②

2. 晶胞选取原则.

最高对称性.

折叠衍射与极轴.

若存在直角直角应变.

有最小体积.

t 大晶系 14 种 布喇滑移阵.

三斜	$a \neq b \neq c$	$d \neq \beta \neq r \neq 90^\circ$	简单 simple
单斜	$a \neq b \neq c$	$d = \beta \neq r \neq 90^\circ \Rightarrow d = r = 90^\circ \neq \beta$	$\overbrace{S b f}$
正方	$a \neq b \neq c$	$d = \beta \neq r \neq 90^\circ \Rightarrow \beta = r = 90^\circ$	$S b f$
四方	$a \neq b \neq c$	$d = \beta = r = 90^\circ$	$S b$
立方	$a = b = c$	$d = \beta = r = 90^\circ$	简 b f.
菱形	$a = b \neq c$	$d = \beta = 90^\circ \quad r = 120^\circ$	
三方	$a = b = c$	$d = \beta = r \neq 90^\circ$	

fcc

bcc

hcp

矩阵系数 a

a

a c

原子数 $6 \times \frac{1}{2} + 8 \times \frac{1}{8} = 4$

2

~~8~~ $12 \times \frac{1}{6} + \frac{1}{2} \times 2 + 3 = 6$

原子半径 $\frac{\sqrt{2}}{4} a$

$\frac{\sqrt{3}}{4} a$

a.

配位数 12

8

12

致密度 $\frac{nV}{V} = \frac{4 \times \frac{4}{3} \pi (\frac{\sqrt{2}}{4} a)^3}{a^3} = 0.68$

0.74

空间利用率

0.74

12

12

八

4

6

6

1.5 画晶向和晶面，面密度的求法

例 1：在立方晶系中画出下列晶向指数和晶面指数的晶向和晶面（标明 x、y、z 轴的方向），并计算面心立方晶体中 (110) 的面密度。(1) (111) 与 [112]；(2) [132] 与 (123)。

例 2：bcc 结构的金属铁，其 (112) 晶面的原子面密度为 ρ

$9.94 \times 10^{14} \text{ atoms/cm}^3$ 。(1) 请计算 (110) 晶面的原子面密度；(2) 分别计算 (112) 和 (110) 晶面的晶面间距；(3) 确定通常在那个晶面上最可能产生晶面滑移？为什么？(bcc 结构铁的晶格常数为 $a=0.2866\text{nm}$)

1.6 晶向指数的意义

例：一组数 $[uvw]$ ，称为晶向指数，它是用来表示 (C)。

- A. 所有相互垂直的晶面的方向
- B. 所有相互垂直的晶向
- C. 所有相互平行、方向一致的晶向

1.7 晶面指数的意义

例：有两个晶面 $(h_1k_1l_1)$ 和 $(h_2k_2l_2)$ ，根据晶带轴的定义，要计算这两个晶面的晶带轴时，这两个晶面可以是 (C)。

- A. 任意两个晶面
- B. 两个平行的晶面
- C. 两个不平行的晶面

考点 2：固溶体和合金相的定义，分类和影响因素

2.1. 固溶体分类

例 1 (名词解释)：固溶体、置换固溶体和间隙固溶体

例 2：什么是置换固溶体？影响置换固溶体固溶度的因素有哪些？形成无限固溶体的条件是什么？

例 3：影响固溶度的主要因素有 (A B C D)

- A. 溶质和溶剂原子的原子半径差
- B. 溶质和溶剂原子的电负性差
- C. 溶质元素的原子价
- D. 电子浓度

例 4：在置换型固溶体中，从离子半径、晶体结构类型和离子电价三个因素考虑，生成连续型固溶体的条件是什么？ $\Delta < 15\%$ 晶体结构相同 电价相近

2.2 合金相分类

例 1：以金属为基的固溶体与中间相的主要差异（如结构、键性、性能）是什么？

例 2：渗碳体是一种 (B C)。

- A. 间隙相
- B. 金属化合物
- C. 间隙化合物
- D. 固溶体

2.3 间隙固溶体和间隙相的辨析

例 1：解释间隙固溶体和间隙相的含义，并加以比较。

2.4 中间相分类

例：中间相分为 正交形中间相 和 反圆柱形中间相



设面心立方晶胞边长为 a , 则原平行于 $\langle 110 \rangle$ 的 fcc 晶胞

考点 3: 典型的晶体结构的各种参数

的分子个数为 4 而乙位数 CN 为 12; 致密度为 0.74. 面心间隙数

3.1 晶胞参数

例 1: 以面心立方晶胞为例, 描述晶体结构(晶胞)特征的常用参数有哪些?

例 2(名词解释): 配位数。指晶体结构中任一原子周围最近邻的等

$\langle 111 \rangle$ 上堆积顺序 ABC ABC

3.2 原子堆垛方式

逐层的原子层

例 1: 面心立方结构和密排六方结构金属中的原子堆垛方式和致密度是否有差异? 请加以说明。

面心立方结构以密堆积 $\langle 111 \rangle$ 按 $A-B-A-B-C$ 或 $A-C-B-C-A$ 方式堆垛而成。致密度无差

例 2: 密排六方和面心立方结构在下述三个方面有何异同: (1) 致密度和配位数; (2) 当原

子尺寸相同时, 间隙的类型和大小; (3) 原子最密排面的堆垛方式。

8个分子

	A_1 (面)	A_2 体
面隙数	$\frac{1}{4}a$	$\frac{\sqrt{2}}{4}a$
原平行	$\frac{1}{4}$	$\frac{\sqrt{2}}{4}$
配位数	12	8
致密度	0.74	0.68

	A_1 密
α, c	$\alpha/c = 1.633$
$\frac{1}{2}a$	
12	
6.44	0.24

	面隙数	8	A_1
原平行	0.225	0.225	$\frac{1}{2}a$
配位数	4	6	6
致密度	0.414	0.414	0.414
	$0.154 < 1.00$	$0.633 < 1.00$	

考点 4: 空间点阵和晶体结构的辨析

为了便于分析空间点阵与晶体结构中的原子堆积方式, 可将空间点阵的几何形状与晶体结构的堆积方式结合起来。

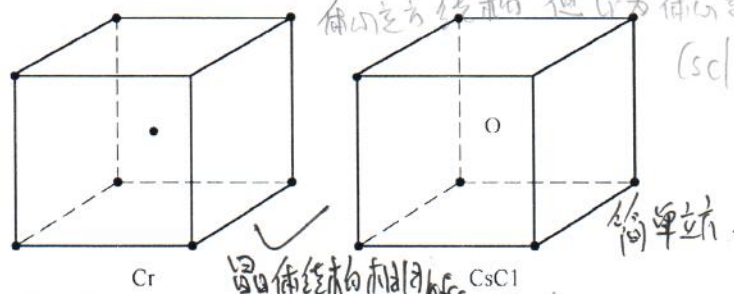
例 1(名词解释): 空间点阵。

空间点阵是晶体结构中所有原子或离子所占空间位置的总称。

例 2: 什么是空间点阵与晶体结构? 对于同一种空间点阵, 晶体结构是否唯一, 为什么? 请

指出图中 Cr 和 CsCl 的晶体结构各属于那种空间点阵, 并说明理由。

不唯一 组元不同
 $(CsCl)$ 为简单立方



例 3: 三斜、正交、四方晶系对应的棱边长度关系是 (B)。

A. ($a \neq b \neq c, \alpha \neq \beta \neq \gamma \neq 90^\circ$), ($a \neq b \neq c, \alpha = \beta = \gamma = 90^\circ$)

($a = b \neq c, \alpha = \beta = \gamma = 90^\circ$)

B. ($a \neq b \neq c, \alpha = \beta = \gamma = 90^\circ$), ($a \neq b \neq c, \alpha \neq \beta \neq \gamma \neq 90^\circ$)

($a = b \neq c, \alpha = \beta = \gamma = 90^\circ$)

C. ($a \neq b \neq c, \alpha \neq \beta \neq \gamma \neq 90^\circ$), ($a = b \neq c, \alpha = \beta = \gamma = 90^\circ$), 指有如固态金属。

($a \neq b \neq c, \alpha = \beta = \gamma = 90^\circ$) 770℃ 变成金红石型转变 770℃以上 磁性消失; 到 912

例 4: 什么是晶体的多晶型性? 纯铁由室温升温至熔点时发生哪些结构变化?

$M = 235.039 \text{ g/mol}$ 体积

例 5: 有铀和硼两种材料, 若已知铀的密度为 19.05 g/cm^3 , 原子量为 235.03, 硼的密度为

2.3 g/cm^3 , 原子量为 10.81, 阿伏伽德罗常数为 6.02×10^{23} , 试分别计算这两种材料单位体积

内的原子数。

$$\frac{N_A}{M} = \frac{n}{P} \Rightarrow nM = N_A P \Rightarrow m = P \cdot V$$

考点 5: 晶胞(晶胞选取原则)

例 1: 在点阵中选取晶胞的原则有哪些?

- ① 选取的平行六面体应反映出点阵的最高对称性
- ② 平行六面体中相等的棱和角度及最短
- ③ 当平行六面体中存在直角, 直角必须选取
- ④ 当满足上述条件晶胞应具有最小体积

$$n \cdot N_A = \frac{m}{M} \cdot N_A = \frac{P \cdot V}{M} N_A$$



例 2. 从下面所示 A 和 B 原子排列示意图抽象出其二维空间点阵，并选取最具有代表性的晶胞，写出其计量成分式（或分子式）（注：设 A、B 原子半径相等，相邻原子之间相切）

ABABABABABABABABAB
BABABABABABABABABA
ABABABABABABABABAB
BABABABABABABABABA
ABABABABABABABABAB
BABABABABABABABABA
ABABABABABABABABAB

分子式 AB

NaCl

88 不是最密堆积

考点 6：间隙

例 1：描述晶体的间隙时通常可用 r_A/r_B 表示，其中 (C)。

- A. r_A 表示堆积原子的半径， r_B 表示形成间隙多面体的两个原子间的距离
- B. r_A 表示堆积原子的半径， r_B 表示形成间隙多面体的两个原子间的距离的一半
- C. r_A 表示堆积原子的半径， r_B 表示形成多面体间隙中可放入最大原子的半径

例 2： γ -Fe 在 912°C 时转变为 α -Fe。这种转变称为什么转变？

转变后的体积膨胀还是收缩？假定铁原子半径不变，则体积变

化率 $\frac{V_\alpha - V_\gamma}{V_\gamma}$ 是多少？

例 3：已知 727°C 时，碳在奥氏体中的溶解度为 $w_C = 0.77\%$ ，而在铁素体中的极限溶解度仅为 $w_C = 0.0218\%$ 。请解释两者差

别如此明显的原因。

例 4：若面心立方晶体的晶格常数为 a ，则其八面体间隙(BD)。

- A. 是不对称的
- B. 是对称的
- C. 位于面心和棱边中点
- D. 位于体心和棱边中点

例 5：在 fcc、bcc 和 hcp 晶胞中分别画出一个四面体间隙；并指出其中心的坐标：

(1) fcc $\frac{3}{4}r$; (2) bcc $\frac{1}{2}r$; (3) hcp $\frac{2}{3}r$

每个晶胞中的八面体间隙数量为：

(4) fcc 4 个; (5) bcc 6 个; (6) hcp 6 个。

固溶扩散 转变 是一级还是二级

碳原子半径大于间隙半径，故扩散困难。而 fcc 的八面体间隙半径等于间隙半径之比为 0.414 ，大于 bcc 的八面体间隙半径之比为 0.154 ，由于 fcc 中所引起的间隙体积能升高碳原子的扩散速度，故 fcc 的碳扩散速度大，本着能量最低原则，故碳更易穿入 fcc，且其溶解度更大。



三、

本章特点

本章的中心内容就是各种缺陷的分类，特性，相互作用以及对材料的影响。重点是位错的理解。

出题形式

本章内容试题的题型有选择题、简答题、此类试题的容量和难度都不会太大，以记忆知识为主，比较简单。但还有综合性质的计算题，这类题目难度较大，需要对于知识有更深入的掌握，理解和运用。

主要考点

- △ 考点 1：晶体缺陷的分类
- △ 考点 2：空位浓度的计算
- △ 考点 3：点缺陷的分类和形成
- △ 考点 4：点缺陷对于材料性能的影响
- △ 考点 5：位错的一些基础知识：位错分类，柏氏矢量，滑移方式
- △ 考点 6：位错的运动与增殖
- △ 考点 7：位错的相互作用
- △ 考点 8：扩展层错
- △ 考点 9：位错应力场
- △ 考点 10：位错与点缺陷和面缺陷的交互作用
- △ 考点 11：全位错，不全位错
- △ 考点 12：位错反应
- △ 考点 13：面缺陷的分类
- △ 考点 14：晶界
- △ 考点 15：相界

考点 1：晶体缺陷的分类

例 1：什么是晶体缺陷？按照晶体缺陷的几何组态，晶体缺陷可分为哪几类？

例 2：缺陷的特征是 (B)。

- A. 不随外界条件的改变而变动，也不会合并和消失
- B. 随着各种条件的改变而不断变动，它们运动，发展以及会产生交互作用、合并和消失。
- C. 随着各种条件的改变而不断变动，但不产生交互作用，不会合并和消失

考点 2：空位浓度的计算

(1) 已知温度 T ，求形成能。

例：由 600°C 降温到 300°C 时，锗晶体中的空位平衡浓度降低了 6 个数量级。试计算锗晶体中的空位形成能（玻尔兹曼常数 $k=1.38 \times 10^{-23} \text{ J/K}$ ）。

(2) 已知形成能，求温度 T 。

例：计算某金属的空位浓度比室温（300K）空位浓度大 1000 倍时的温度。已知 Cu 的空位形成能力为 $1.7 \times 10^{-19} \text{ J/mol}$ 。

(3) 求点缺陷数目

例 1：已知空位形成能是 1.08 eV/atom ，铁的原子量是 55.85，铁的密度是 7.65 g/cm^3 ，阿伏加德罗常数 $N_A = 6.023 \times 10^{23}$ ，玻尔兹曼常数 $k = 8.62 \times 10^{-5} \text{ eV/atom-K}$ ，请计算 1 立方米的铁在 850°C 下的平衡数目。

例 2：铝的密度是 2.69 g/cm^3 ，假设其中只有肖脱基空位，求空位浓度。（阿伏加德罗常数 6.02×10^{23} ，铝的原子量是 26.96，铝的点阵常数 0.4049 nm ）

$$\frac{P \cdot V}{M} = n \quad \text{若体积为 } 1 \cdot N_A.$$

$$8 \times 8 + 6 \times 2 = 4 \text{ (晶格上原子数)} \quad \frac{P \cdot V}{M} \cdot N_A = \frac{P \cdot a^3}{M} \cdot N_A \quad \begin{array}{l} \text{晶格} \\ \text{实际} \end{array}$$

和 $C \cdot V \cdot N_A$

空位浓度
4 实际浓度
4



考点 3：点缺陷的分类和形成

例 1：下面关于 Schottky 和 Frenkel 缺陷的表述中，错误的为 ()。

- A. Schottky 缺陷同时包含空位和间隙原子 移到表面或正常位置没有在间隙原子
B. Frenkel 缺陷的形成能通常较 Schottky 缺陷大 形成能产生点阵畸变，所产的需要能量
C. 同温度下，通常 Schottky 缺陷的浓度大于 Frenkel 缺陷

例 2：弗伦克缺陷是 ()。

- A. 原子移到表面外新的位置，原来位置则形成空位

- B. 原子离开平衡位置后，形成间隙原子，而原来位置上形成空位，成对产生

- C. 正、负离子的二元体系，原子移到表面新的位置，原来位置空位成对出现

例 3：纯金属中主要的点缺陷有哪些，简述其可能的产生原因。

例 4：过饱和和点缺陷产生的原因有 ()、()。

例 5：什么是空位平衡浓度？为什么说空位是一种热力学上平衡的缺陷？

考点 4：点缺陷对于材料性能的影响

例 1：纯金属中溶入另一组元后（假设不会产生新相）会带来哪些微观结构上的变化？

这些变化如何引起性能上的变化？

例 2：为什么固溶体的强度常比纯金属高？

例 3：冷变形使金属中产生大量的空位、位错等晶体缺陷，对置换固溶体中的扩散过程而言，这些缺陷的存在将导致 ()。

- A. 阻碍原子的移动，减慢扩散过程 B. 对扩散过程无影响
C. 有时会加速扩散，有时会减弱扩散 D. 加速原子的扩散过程

考点 5：位错的一些基础知识：位错分类，柏氏矢量，滑移方式

例 1：简述位错、位错线和柏氏矢量 (\bar{b}) 的概念，并论述柏氏矢量和位错线的相对关系。

例 2：名词解释：刃型位错。

例 3：判断题：位错属于线缺陷，因为它的晶格畸变区为一条几何线。

例 4：判断题：位错属于线缺陷，但它实际上是一个晶格畸变的管道区域。

例 5：名词解释：晶格摩擦力。 P-N 当位错运动时，单位必须通过一定的距离和

例 6：一根位错环能否各部分都是螺型位错或都是刃型位错？请说明之。 不能，位错环是由螺型位错组成的

例 7：名词解释：交滑移。

例 8：在位错发生滑移时，请分析刃位错、螺位错和混合位错的位错线 l 与柏氏矢量 \bar{b} 、外加切应力 τ 与柏氏矢量 \bar{b} 、外加切应力 τ 与位错线 l 之间的夹角关系，及位错线运动方向。

考点 6：位错的运动与增殖

例 1：位错在晶体中运动的方式有 滑移 和 攀移，金属晶体塑性变形方式有 滑移 和 孪生。

例 2：名词解释：多滑移。

例 3：名词解释：攀移。

例 4：能产生交滑移的位错必然是 刃型 位错。

例 5：位错滑移应满足 ()。

- A. 有切应力作用在位错滑移面上，且垂直于其 B 矢量方向，位错才会运动或者趋于运动

- B. 有压应力作用在位错滑移面上，且垂直于其 B 矢量方向，位错才会运动或者趋于运动

- C. 有切应力作用在位错滑移面上，且平行于其 B 矢量方向，位错才会运动或者趋于运动

例 6：论述位错的运动方式、条件及其对材料变形的影响。

例 7：如图所示，四方形单晶体中有一矩形位错环 $ABCD$ ，其各段分别平行于 x 轴和 y 轴，其柏氏矢量平行于 x 轴。



AB DC 是刃型位错 碎

平行



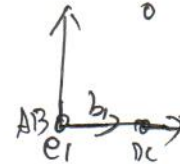
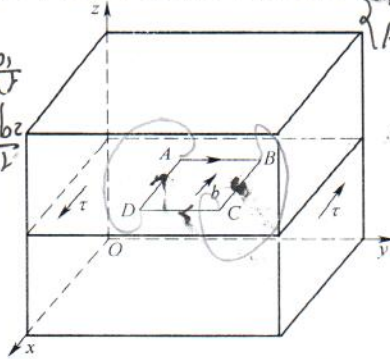
- (1) 写出各位错段的位错类型; (2) 写出 AD 段与 BC 段单位长度位错线间的相互作用力的大小及方向; (3) 写出 AB 段与 DC 段单位长度位错线间的相互作用力的大小及方向;
- (4) τ 所造成的一对切应力 σ_{yx} , 该切应力作用在各位错段单位长度上力的大小及方向为:
 AB 上无作用力; BC 为 τb_z , $-z$ 方向; CD 上无作用力; DA 为 τb_z , z 方向。分析在切应力 τ 持续作用下该位错环在运动中的形状变化及晶体形状的变化。

两平行螺型位错的运动

在距离 b , 为 r 处所产生的力为 $F = \frac{Gb}{2\pi r} b$
 在切应力作用下, b_z 受到的 $f = 2b_z = \frac{Gb_z b_z}{2\pi r}$

同号反 异号吸

同位错



反平行 左吸引

BC 左出器 AD右进器
AB 正刃 DC负刃

$f = \frac{Gb_z b_z}{2\pi r} < 0$ 相吸

AB和CD排斥

$x=0 y>0$
 $F_x < 0$ 相吸

$y=0$
 $F_y > 0$ 相吸

- 例 8: 某铜单晶体在外加拉伸应力作用下, 首先开动的滑移系为 $(111)[10\bar{1}]$ 。(1) 写出引起滑移的单位位错的柏氏矢量, 并说明原因; (2) 如果滑移是由纯螺型单位位错引起的, 试指出位错线的方向以及滑移时位错线运动的方向; (3) 假定拉伸轴方向为 $[001]$, 外加拉伸应力 $\sigma = 10^6 \text{ Pa}$, 求在上述滑移面上该螺型位错所受力的大小和方向。(已知 Cu 的点阵常数 $a = 0.36 \text{ nm}$)

- 例 9: 假定某面心立方晶体(点阵常数为 a)中的活动滑移系为 $(111)[110]$ 。(1) 给出引起滑移的单位位错的柏氏矢量, 加以说明; (2) 若引起此滑移的为刃型位错, 指明位错线方向及其移动方向; (3) 若引起此滑移的为螺型位错, 指明位错线方向及其移动方向。

考点 6: 位错的相互作用

- 例 1: 解释名词: 位错割阶。

位错二滑移系选择

- 例 2: 两平行螺型位错, 当柏氏矢量同向时, 其相互作用力 (B)。

- A. 为零 B. 相斥 C. 相吸

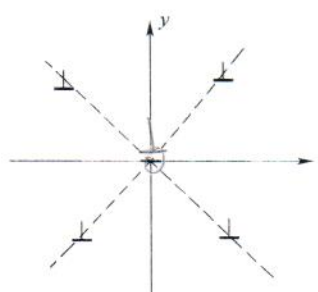
- 例 3: 下面哪一点可以描述两平行螺型位错间的相互作用(滑移)的特征? (A)

- A. 位错同号相斥, 异号相吸, 作用大小与位错间距成反比

- B. 具有相同符号的位错按垂直方向排列起来是稳定的; 位错的符号相反, 稳定方位随之改变。

- C. 由于相互之间不能提供对方滑移所需的应力场, 所以, 两位错间作用较小

- 例 4: 如图所示, 在 xy 坐标原点有一正刃形位错, 试标出图中分别与 x 、 y 坐标轴成 45° 位置上各位错的受力方向。



$$F_x = \frac{Gb_z b_z}{2\pi(1-\nu)} \frac{x(x^2+y^2)}{(x^2+y^2)^2}$$

$$F_y = \frac{Gb_z b_z}{2\pi(1-\nu)} \frac{y(x^2+y^2)}{(x^2+y^2)^2}$$

考点 7: 扩展层错

- 例 1: 名词解释: 扩展位错。

- 例 2: 名词解释: 层错能。

- 例 3: 层错和不完全位错之间的关系是 (D)。

- A. 层错和不完全位错交替出现

- B. 层错和不完全位错能量相同



- C. 层错能越高，不完全位错柏氏矢量的模越小
D. 不完全位错总是出现在层错和完整晶体的交界处

例 4：请简单说明层错能高低对螺型位错交滑移的影响，及其对金属加工硬化速率的影响。

例 5: 在铜单晶体中的(111)和 $(\bar{1}\bar{1}\bar{1})$ 滑移面上各存在一个柏氏矢量为 $\frac{a}{2}[\bar{1}10]$ 和 $\frac{a}{2}[011]$ 的位错。当它们分解为扩展位错时,其领先位错分别为 $\frac{a}{6}[2\bar{1}\bar{1}]$ 和 $\frac{a}{6}[\bar{1}21]$ 。(1) 当两领先位错在各自的滑移面上运动相遇时,发生了新的位错反应。试写出其位错反应式,判断该反应是否自发进行?并分析该新生成的位错其位错特性和运动性质; (2) 已知铜单晶点阵常数 $a=0.36\text{nm}$,切变模量 $G=4\times 10^4 \text{ MPa}$,层错能 $\gamma=0.04\text{J/m}^2$,试求上述柏氏矢量为 $\frac{a}{2}[\bar{1}10]$ 的位错形成扩展位错的宽度。
 例 6: 试从柏氏矢量、位错类型、位错线形状和可能的运动方式比较面心立方晶体全位错、弗兰克分位错、肖克莱分位错和面角位错的特点。

例 1：下面关于位错应力场的表述中，正确的是（**B**）。

- A. 螺型位错的应力场中正应力分量全为零
 - B. 刃型位错的应力场中正应力分量全为零
 - C. 刃型位错的应力场中切应力分量全为零

例2：螺型位错和刃型位错的不同在于(C)。

A. 刃型位错不引起剪切畸变,也不引起体积的膨胀和收缩,螺型位错反之
B. 刃型位错引起压缩变形,螺型位错引起体积的膨胀
C. 螺型位错只引起剪切畸变,而不引起体积的膨胀和收缩,刃型位错反

考点 9：位错与点缺陷和面缺陷的交互作用

例 1：点缺陷（如间隙原子或代位原子）和线缺陷（如位错）为何会发生交互作用？这种交互作用如何影响力学性能？

例 2: (1) 晶体内若有较多的线缺陷(位错)或面缺陷(晶界、孪晶界等), 其强度会明显升高, 这些现象称为什么? 强度提高的原因是什么? (2) 上述的两类缺陷是怎样进入晶体的? 举例说明如何提高这些缺陷的数目?

考点 10：全位错，不全位错

例 1：名词解释：全位错与不全位错。常见的不全位错有哪些？

例 2: 阐明堆垛层错与不全位错的关系, 指出面心立方结构中常产生的不全位错的名称、柏氏矢量和它们各自的特性。

例 3：下列柏氏矢量可能表示了简单立方晶体中的全位错 (A)。

- A. [100] B. $\frac{1}{2}[110]$ C. $\frac{1}{3}[111]$

例4：在面心立方晶体中可能存在哪些类型的不全位错？并给出其柏氏矢量的表达式。

例 5: 面心立方全位错的柏氏矢量为 $\frac{1}{2}\langle 110 \rangle$ 体心立方 $\frac{1}{2}\langle 111 \rangle$ hcp 为 $\frac{1}{3}\langle 11\bar{2}0 \rangle$

卷之三

考点 11：位错反应

例 1：试分析在 fcc 中下

$$^a[10\bar{1}]\perp ^a[\bar{1}2]$$

$\frac{1}{2}[101] + \frac{1}{6}[121] \rightarrow \frac{1}{3}[111]$ E=dgb

例 2：请比较 fcc 晶体中 $b_1 = \frac{a}{2}[111]$ 和 $b_2 = a[100]$ 两位错的畸变能哪个较大。

例 3：判断下列位错反应能否进行，并说明理由。 (1) $\frac{a}{2}[110] \rightarrow \frac{a}{3}[111] + \frac{a}{6}[112]$ ；(2)



$$\frac{a}{6}[\bar{1}21] + \frac{a}{6}[2\bar{1}1] \rightarrow \frac{a}{2}[\bar{1}\bar{1}0].$$

考点 12：面缺陷的分类

例：通常把晶体的界面分为固、液、相界和晶界三类。

原子能制比體內發電

考点 13：晶界

大角 小角度的界 不規則形

例1：晶界从结构上可分为哪几种类型？晶界结构的普遍特点是什么？

例 2：举例或画图说明什么是小角晶界的位错模型？描述大角晶界有何模型？其含义是什么？

例 3：解释对称倾侧晶界。

例 4：比较大角度晶界能与表面能的大小，并分析其原因。

例 5：层错能与小角度晶界能的大小比较，及原因分析。

例 6：小角度晶界由位错构成，其中对称倾转晶界由 刃型 位错构成，扭转晶界由 螺型 位错构成。

考点 14：相界

例：合金中有哪几类相界面？各具有什么样的结构特征？

例：合金中有哪几种界面：并具有什么样的结构特征。
具有不连续的两种物质的分界面称相界，按结构可分为共格、半共格及非共格三种。
①共格晶界，是指界面上的原子同时位于两相晶格的结点上，即两相的晶格是彼此衔接的，界面上的原力为两者共有，其特征是：界面两侧相对保持一定的位向关系，沿界面两侧具有相同或近似相同的原子排列。两相在界面上把配位数写成 $\frac{N_1}{N_2}$
②半共格晶界，是两个晶格部分地在相界面上的晶面间互相嵌合，即在相界面上不可能做到完全的共格晶界。是两个晶格部分地在相界面上的晶面间互相嵌合，即在相界面上不可能做到完全的共格晶界。
- 对应于半共格晶界，以降低界面的弹性应变能。这时界面上两个原子子部分保持匹配，这半共格晶界称为半共格晶界或部分共格晶界。其特征是：该相界面上隔一定距离产生一个重位错，重位错的界面称半共格晶界。其重位错都是共格的，所以半共格晶界能断续以及临近层原子键变化产生的后果。界面上由共格区和非共格区组成。

液体的表面张力是由于分子间相互吸引而产生的。液体的表面张力与分子间的引力成正比，与分子间的距离成反比。因此，当分子间的距离减小时，引力增加，表面张力也增加；当分子间的距离增大时，引力减小，表面张力也减小。



四

主要考点

- 考点 1: 菲克第一定律
- 考点 2: 菲克第二定律
- 考点 3: 影响扩散速率的因素
- 考点 4: 扩散机制
- 考点 5: 上坡扩散
- 考点 6: 反应扩散
- 考点 7: 柯肯达尔效应
- 考点 8: 综合

考点 1: 菲克第一定律

例 1 (名词解释): 稳态扩散。

例 2: 写出菲克第一定律的数学表达式, 并注明表达式中各参量的含义及单位。

例 3: 扩散第一定律的应用条件是什么? 对于浓度梯度随时间变化的情况, 能否应用扩散第一定律?

答: 扩散第一定律应用条件为稳态扩散, 即质量浓度不随时间而变化。非稳态扩散情况下通常也可应用扩散第一定律, 但必须进行修正使之大致符合直线的情况下才可使用。

考点 2: 菲克第二定律

例 1: 考虑扩散系数为常量的半无限的一维扩散, 保持扩散源的浓度为 C_2 不变; 保持扩散介质中扩散物质的初始浓度为 C_1 , 且均匀分布。这时扩散介质中扩散物质的浓度随扩散时间和扩散距离的变化可用下式来表示 (B)。

$$A. C(x,t) = \frac{C_2}{2} \left[1 - \exp\left(-\frac{x}{2\sqrt{Dt}}\right) \right]$$

$$(2) \boxed{G}$$

$$B. C(x,t) = C_1 + (C_2 - C_1) \left[1 - \exp\left(-\frac{x}{2\sqrt{Dt}}\right) \right]$$

$$P(x,t) = C_1 + (C_2 - C_1) \exp\left(-\frac{x}{2\sqrt{Dt}}\right)$$

$$C. C(x,t) = \frac{C_1 - C_2}{2} + \frac{C_1 + C_2}{2} \left[1 - \exp\left(-\frac{x}{2\sqrt{Dt}}\right) \right]$$

$$P(x,t) = C_1 + (C_2 - C_1) \exp\left(-\frac{x}{2\sqrt{Dt}}\right)$$

$$P(x,t) = C_1 + (C_2 - C_1) \exp\left(-\frac{x}{2\sqrt{Dt}}\right)$$

$$P(x,t) = C_1 + (C_2 - C_1) \exp\left(-\frac{x}{2\sqrt{Dt}}\right)$$

例 2: 已知碳在 γ -Fe 中的扩散常数 $D_0 = 2.0 \times 10^{-5} \text{ m}^2/\text{s}$, 扩散激活能 $Q = 140 \times 10^3 \text{ J/mol}$, 要想得到与在 927°C 时渗碳 10h 的相同厚度, 则在 870°C 渗碳需要多长时间? (忽略不同温度下碳在 γ -Fe 中溶解度的不同)

$$D = D_0 \exp\left(-\frac{Q}{RT}\right)$$

工作表面保持 1.2% 不变

$$T_1 = 1143K$$

$$T_2 = 927K$$

$$t_2 = 10h$$

$$t_1 = 10h$$

(1) 例 3: 生产中, 在 930°C 对 20 号钢零件进行气体渗碳, 渗碳碳势为 1.2%, 零件的技术要求是渗碳层含碳量不低于 0.6%。(1) 渗碳 2h 后, 估算渗碳层的深度? (2) 若要求渗碳层的深度达到 0.5mm, $t_1 = t_2 \exp\left(-\frac{Q}{R(T_1 - T_2)}\right)$

$w_s = 1.2\%$ 渗碳时间应为多少小时? (930°C 时碳在 γ -Fe 中的扩散系数为 $16 \times 10^{-12} \text{ m}^2/\text{s}$)

$w(x,t) = 0.6\%$	x	$\text{erf}(x)$	x	$\text{erf}(x)$	x	$\text{erf}(x)$
	0	0	1.0	0.8427	2.0	0.9953
$w_s = 0.2\%$ (20号钢)	0.2	0.227	1.2	0.9103	2.2	0.9981
	0.4	0.4284	1.4	0.9523	2.4	0.9993
$w_s - w(x,t)$	0.6	0.6039	1.6	0.9763	2.6	0.9998
$w_s - w(x,t)$	0.8	0.7421	1.8	0.9891	2.8	0.9999

(2) $x = 0.5 \text{ mm}$ 例 4: 碳质量分数 $w_c = 0.2\%$ 的低碳钢工件在 920°C 进行表面气体渗碳, 工件表面碳浓度始终保持为

$x = 0.5 \text{ mm}$

$x \propto \sqrt{t}$

$$\frac{x_1}{x_2} = \frac{\sqrt{t_1}}{\sqrt{t_2}} \Rightarrow \frac{0.44}{0.5} = \frac{\sqrt{t_1}}{\sqrt{t_2}}$$

$$\text{得 } t = \left(\frac{\sqrt{t_1} \cdot 0.5}{0.44}\right)^2 = 3h$$



$$w_0 = 0.2\% \quad w_s = 1.0\% \quad w(x,t) = 0.4\%$$

$$t=1h \quad x=0.12mm \quad w(x,t) = w_s - (w_s - w_0) \operatorname{erf}\left(\frac{x}{2\sqrt{Dt}}\right)$$

$$\text{则在 } x=0.48\text{ mm} \text{ 时求 } t \quad \frac{x_1}{x_2} = \frac{\sqrt{\pi}}{\sqrt{4t_2}} \Rightarrow \frac{x_1}{x_2} = \frac{1}{4} = \frac{\sqrt{\pi}}{\sqrt{4t_2}} \Rightarrow t_2 = 16t_1 = 16 \text{ h}$$

$w_c = 1.0\%$, 并将工件中碳浓度为 $w_c = 0.4\%$ 处至表面的距离 x 定义为渗碳层深度。已知渗碳 1h 后, 渗碳层深度为 0.12mm, 若要求渗碳层深度达到 0.48mm, 计算共需渗碳多长时间。

例 5: 为改善钛合金的切削加工性能, 研制了一种新加工工艺: 渗氢处理+机械加工+脱氢处理。已知某钛合金构件在 800°C 真空脱氢 1 小时其距表面 0.05mm 处的性能符合规定要求。为进一步降低该构件的热处理变形, 拟将该合金构件在 700°C 处理, 问处理多少时间在距表面 0.1mm 处将达到上述相同规定要求? 并分析氢在钛合金中的扩散能力。设氢在该钛合金的扩散激活能为 16.62KJ/mol, 扩散常数 $D_0 = 8 \times 10^{-1} \text{ cm}^2/\text{s}$ 。

$$D = D_0 \exp\left(-\frac{Q}{RT}\right)$$

$$\frac{x}{\sqrt{Dt}} = C \quad (C \text{ 为常数}) \quad \frac{x_1^2}{x_2^2} = \frac{D_1 t_1}{D_2 t_2}$$

考点 3: 影响扩散速率的因素

例 1 (名词解释): 扩散激活能。

例 2 (解释名词): 扩散系数。

例 3: “升高温度将加快原子的扩散, 其原因主要是温度的升高降低了扩散激活能。”试问此判断正确与否, 为什么?

例 4: 杂质掺杂从哪几个方面影响扩散系数?

例 5: 固态金属中原子扩散的最快路径是 ()。

A. 晶内扩散 B. 晶界扩散 C. 位错扩散 D. 表面扩散

例 6: 扩散系数与温度的关系式是 $D = D_0 \exp\left(-\frac{Q}{RT}\right)$ 。在高温阶段和低温阶段, 扩散系数较大的是 ()。

例 7: 碳在铁素体及奥氏体中的扩散系数为什么存在很大的区别?

例 8: 常通过向钢的表层深入某些原子来改善钢的表面性能, 试问若分别向钢的表层渗入碳原子和铬原子, 在相同的试渗工艺下, 哪一种原子的渗入深度更大, 为什么?

例 9: 有两块化学成分相同的固溶体合金, 一块未经塑性变形, 一块经过了冷塑性变形。试问溶质原子在那一块合金中的扩散更为容易, 为什么?

例 10: (1) 已知 Zn 在 Cu 中扩散时, 扩散系数 $D = 2.1 \times 10^{-5} \text{ m}^2/\text{s}$, 激活能 $Q = 1.7 \times 10^5 \text{ J/mol}$, 求 820°C 时在中的扩散系数; (2) 讨论影响金属材料扩散的因素。

$$D = D_0 \exp\left(-\frac{Q}{RT}\right) \quad D_0 = D \cdot \exp\left(\frac{Q}{RT}\right)$$

考点 4: 扩散机制

间隙 ② Fe-Mn 为置换固溶体

例: 在铁的晶体中固溶有碳原子和镍原子, 问在同一温度下, 碳原子和镍原子各以什么机制进行扩散, 为什么? 其中哪一种原子具有更大的扩散系数, 为什么?

考点 5: 上坡扩散

例 1 (名词解释): 上坡扩散。

例 2: 上坡扩散产生的原因分析。

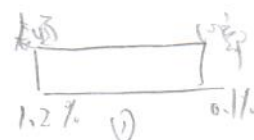
考点 6: 反应扩散

例 1 (名词解释): 反应扩散。

例 2: 碳质量分数为 0.1% 的低碳钢工件, 置于碳质量分数为 1.2% 的渗碳气氛中, 在 920°C 下进行渗碳, 通常渗碳数小时后即可达到工艺要求。(1) 画出: ① 渗碳结束时; ② 渗碳结束后缓慢冷却至室温时, 这两种情况下工件表层至心部平衡组织示意图; (2) 试说明在渗碳温度不变的前提下, 要使工件达到相同的渗碳层深度, 可采取哪些措施减少渗碳时间?

例 3: 纯铁在 950°C 渗碳, 表面浓度达到 0.9%C, 缓慢冷却后, 重新加热到 800°C 继续渗碳, 试列出: (1) 达到 800°C 时, 工件表面到心部的组织分布区域示意图; (2) 在 800°C 长时间渗碳后 (碳气氛为 1.5%C), 工件表面到心部的组织分布区域示意图, 并解释组织形成的原因; (3) 在 800°C 长时间渗碳后缓慢冷却至室温的组织分布区域示意图。

例 4: 纯铁试样在 800°C 进行气体渗碳, 已知表层已出现新相 γ , 设与 α 相平衡的 γ 相的碳浓度为 C_2 , 与 Fe_3C 平衡的 γ 相的碳浓度为 C_3 , 与 γ 相平衡的 α 相的碳浓度为 C_1 , 若渗碳 t 小时, 试画出渗碳温



Ω_0

C_{α}

d_{α}

第四章 固体中原子及分子的运动

度下的碳浓度分布曲线及试样由表面至心部的组织示意图；若渗碳后缓冷，请画出室温下的组织示意图。

考点 7：柯肯达尔效应

例 1：置换扩散与间隙扩散的扩散系数有何不同？在扩散偶中，如果是间隙扩散，是否会发生柯肯达尔效应？为什么？

例 2：在柯肯达尔扩散实验中，一个二元系统，A 组元的原子百分比浓度为 0.4，两个组元的实际扩散系数分别为 $D_A = 10^{-7} \text{ cm}^2/\text{s}$ 和 $D_B = 9 \times 10^{-8} \text{ cm}^2/\text{s}$ ，在标志界面处 A 组元的成份随距离的变化率为 2.0 cm^{-1} ，则互扩散系数及标志移动速度分布为（A）。

- A. $9.6 \times 10^{-8} \text{ cm}^2/\text{s}$ 和 $2 \times 10^{-8} \text{ cm}/\text{s}$
- B. $9.6 \times 10^{-8} \text{ cm}^2/\text{s}$ 和 $1 \times 10^{-8} \text{ cm}/\text{s}$
- C. $9.4 \times 10^{-8} \text{ cm}^2/\text{s}$ 和 $2 \times 10^{-8} \text{ cm}/\text{s}$

例 3：如图所示，由 A 组元棒和 B 组元棒焊接成的扩散偶，并在焊缝处用 Mo 丝做标记，在 773K 扩散足够的时间，试问：(1) 标记在焊接面何侧？(2) 扩散中的空位最终聚集在何侧？已知 A 组元在 B 组元构成的晶体中的扩散常数 (D_0) 和激活能 (Q) 分别为 $2.1 \times 10^{-5} \text{ m}^2/\text{s}$, $1.7 \times 10^5 \text{ J/mol}$ ；而 B 组元在 A 组元构成的晶体中的扩散常数 (D_0) 和激活能 (Q) 分别为 $0.8 \times 10^{-5} \text{ m}^2/\text{s}$, $1.4 \times 10^5 \text{ J/mol}$ 。



$$D = N_A D_B + N_B D_A \quad \text{互扩散系数}$$

$$V = (D_A - D_B) \frac{\partial N_A}{\partial x} \quad \text{标志移动速率}$$

考点 8：综合

例 1：下列有关固体中扩散的说法中，正确的是（D）。

- A. 原子扩散的驱动力是存在着浓度梯度
- B. 空位扩散是指间隙相溶体中的溶质原子从一个间隙跳到另一个间隙
- C. 晶界上点阵畸变较大，因而原子迁移阻力较大，所以比晶内的扩散系数要小
- D. 成分均匀的材料中也存在着扩散

解析：A 中驱动力应为化学势梯队，因此错。B 中的解释是间隙扩散机制，不是空位扩散机制，因此错。C 中晶界上扩散系数要比晶内更大，因此错。

例 2：在 870°C 下渗碳比 927°C 渗碳淬火变形小，可得到较细的晶粒。碳在 γ -Fe 中的扩散系数 $D_0 = 2.0 \times 10^{-5} \text{ m}^2/\text{s}$ ，激活能 $Q = 140 \text{ kJ/mol}$ ， $R = 8.314 \text{ J/K.mol}$ 。请计算：(1) 870°C 下和 927°C 下碳在 γ -Fe 中的扩散系数；(2) 在 870°C 得到与 927°C 渗碳 10h 相同结果所需时间？(3) 若规定 0.3% C 作为渗碳层厚度的量度，在 927°C 渗碳 10h，其渗碳层厚度为 870°C 渗碳 10h 的多少倍？

例 3：对含有 0.1%C 的钢进行表面渗碳增强处理，渗碳时将钢置于浓度为 1.2%C 的气氛中，在高温下通过扩散达到进入钢材体内的目的。为了获得最佳应用性能，在钢表面以下 0.2cm 处必须达到浓度为 0.45%C，扩散激活能为 32900cal/mole，气体常数 $R = 1.987 \text{ cal/(mol}\cdot\text{K)}$ 。若该钢材的扩散常数 D_0 为 $0.115 \text{ cm}^2/\text{s}$ 。试求：(1) 1100°C 时的扩散系数；(2) 扩散所需时间与扩散温度的函数关系；(3) 分别计算 800°C、900°C、1000°C、1100°C 和 1200°C 温度下所需的扩散时间并以此作出扩散时间与温度之间的关系简图。

$$D = D_0 \exp\left(-\frac{Q}{RT}\right)$$

误差函数表， β 与 $\text{erf}(\beta)$ 的对应值

$$C(x, t) = C_0 + (C_s - C_0) \cdot [1 - \exp\left(-\frac{x}{2\sqrt{Dt}}\right)]$$

β	0	1	2	3	4	5	6	7	8	9
0.7	0.6778	0.6847	0.6914	0.6981	0.7047	0.7112	0.7175	0.7238	0.7300	0.7361

$$(x, t) = 0.45\%$$

$$C_0 = 0.1\% \text{ C} \quad C_s = 1.2\% \text{ C}$$



五.

一、纯晶体的凝固

考点 1：凝固

(1) 结构起伏

液态结构的最重要特征是原子排列为长程无序，短程有序，并且短程有序原子集团不是固定不变的，它是一种此消彼长，瞬息万变，尺寸不稳定的结构，这种现象称为结构起伏。

(2) 晶体凝固的热力学条件

晶体的凝固通常在常压下进行，从相律可知，在纯晶体凝固过程中，液固两相处于共存，自由度等于零，故温度不变。按热力学第二定律，在等温等压下，过程自发进行的方向是体系自由能降低的方向。

自由能 G 用下式表示： $G = H - TS$

$$\Delta G_v = \Delta H - T\Delta S$$

式中， H 是焓， T 是绝对温度， S 是熵。

$$\Delta G_v = G_s - G_l = (H_s - H_l) - T(S_s - S_l)$$

可推导得： $dG = Vdp - SdT$

$$dG = Vdp - SdT$$

在等压时， $dp=0$ ，故上式简化为： $\frac{dG}{dT} = -S$

$$\Delta H_p = H_s - H_l = -L_m \quad \Delta S_{ph} = S_s - S_l = -\frac{L_m}{T_m}$$

由于熵恒为正值，所以自由能随温度增高而减小。

在一定温度下，从一相转变为另一相的自由能变化为：

$$\Delta G_v = -\frac{L_m \Delta T}{T_m}$$

式中， $\Delta T = T_m - T$ ，是熔点 T_m 与实际凝固温度 T 之差。

由上式可知，要使 $\Delta G_v < 0$ ，必须使 $\Delta T > 0$ ，即 $T < T_m$ ，故 ΔT 称为过冷度。晶体凝固的热力学条件表明，实际凝固温度应低于熔点 T_m ，即需要有过冷度。

例：非均匀形核所需的过冷度是合金结晶温度 T_m 的 (C) 倍。

- A. 2 B. 0.2 C. 0.02

均匀形核

考点 2：形核

晶体的凝固是通过形核与长大两个过程进行的。

(1) 均匀形核。

①均匀形核：新相晶核是在母相中均匀地生成的，即晶核由液相中的一些原子团直接形成，不受杂质粒子或外表面的影响。

②相变的驱动力：体系内的自由能降低 ($\Delta G_v < 0$)。

体系自由能变化： $\Delta G = \frac{4}{3}\pi r^3 (\Delta G_v + 4\pi r^2 \sigma)$

$$\Delta G_v = \frac{L_m \Delta T}{T_m}$$

③临界半径： $r^* = \frac{2\sigma}{\Delta G_v} = \frac{2\sigma T_m}{L_m \Delta T}$

临界半径由过冷度 ΔT 决定，过冷度越大，临界半径 r^* 越小，则形核的几率增大，晶核的数目增多。液相必须处于一定的过冷条件下才能结晶，而液体中客观存在的结构起伏和能量起伏是促成均匀形核的必要因素。

④形核功： $\Delta G^* = \frac{16\pi\sigma^3}{3(\Delta G_v)^2} = \frac{16\pi\sigma^3 T_m^2}{3(L_m \cdot \Delta T)^2}$

$$r^* \text{ 代入 } \Delta G = \frac{4}{3}\pi r^3 \Delta G_v + 4\pi r^2 \sigma$$

其中 ΔG^* 称为形核功，与 $(\Delta T)^2$ 成反比，过冷度越大，所需的形核功就越小。

⑤临界形核表面积： $A^* = 4\pi(r^*)^2 = \frac{16\pi\sigma^2}{\Delta G_v^2}$

将 $\Delta G^* = \frac{16\pi\sigma^3 T_m^2}{3(L_m \cdot \Delta T)^2}$ 代入，则有： $\Delta G^* = \frac{1}{3} A^* \sigma$

式中， A^* 为临界核表面积； σ 为晶核的比表面能。

故液固两相之间的体积自由能差值只能补偿形成临界晶核表面所需能量的 $2/3$ ，而不足的 $1/3$ 则依靠液相中存在的能量起伏来补充。

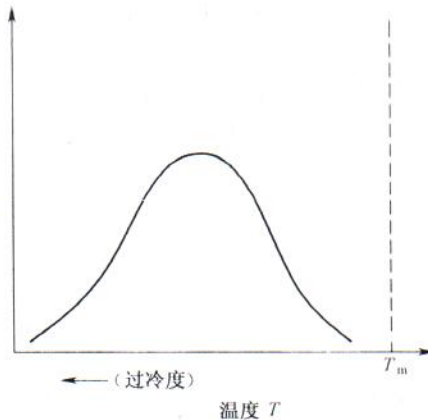


$$⑥ \text{形核率: } N = K \exp\left(\frac{-\Delta G^*}{kT}\right) \exp\left(\frac{-Q}{kT}\right)$$

式中, ΔG^* 为形核功; Q 为原子越过液固界面的扩散激活能; k 为波尔兹曼常数; T 为绝对温度。形核率与过冷度的关系如图表示。

形核

刚开始时温度 T 半径越小 $r^* = \frac{26}{\Delta G_v}$
 $\Delta G_v = \frac{\ln \Delta T}{T_m}$ $r^* = \frac{26 T_m}{\ln \Delta T}$
 越易形核, 但当温度 T 过冷度越深
 原子运动困难, 不易聚集在一起
 形核率又下降



(2) 非均匀形核。

① 非均匀形核: 新相优先在母相中存在的异质处形核, 即依附于液相中的杂质或外来表面形核。

② 晶核形核时体系总的自由能变化:

$$\text{形核半径一样} \quad \Delta G = \left(\frac{4}{3} \pi r^3 \Delta G_v + 4 \pi r^2 \sigma_{al} \right) \left(\frac{2 - 3 \cos \theta + \cos^3 \theta}{4} \right)$$

形核半径一样 $\Delta G_{het} = \left(\frac{4}{3} \pi r^3 \Delta G_v + 4 \pi r^2 \sigma_{al} \right) f(\theta)$

与均匀形核比较, 可看出两者仅差与 θ 相关的系数项 $f(\theta)$ 。

$$③ \text{临界晶核半径: } r^* = -\frac{2\sigma_{al}}{\Delta G_v}$$

$$④ \text{形核功: } \Delta G_{het}^* = \Delta G_{hom}^* f(\theta)$$

由上式可知: ① 当 $\theta=0^\circ$ 时, $\Delta G_{het}^*=0$, 非均匀形核不做形核功; ② 当 $\theta=180^\circ$ 时, $\Delta G_{het}^* = \Delta G_{hom}^*$; ③ 一般情况下, $0^\circ < \theta < 180^\circ$, $\Delta G_{het}^* < \Delta G_{hom}^*$, 形成非均匀形核所需的形核功小于均匀形核功, 故过冷度较均匀形核时小。

例 1: 假设纯金属溶液按均匀形核方式形核, 晶核形状为立方体。试证明: 临界形核功 ΔG^* 等于临界晶核表面能的 $1/3$, 即 $\Delta G^* = \frac{1}{3} A^* \sigma$ 。
 $\Delta G = \frac{4}{3} \pi r^3 \Delta G_v + 4 \pi r^2 \sigma$

$$\text{得 } \Delta G^* = -\frac{4}{3} \pi \frac{8r^3}{4G_v} + 4\pi \cdot \frac{4r^2}{A^*} \cdot \frac{4G_v}{3} = \frac{16}{3} \pi r^3 \frac{G_v}{A^*}$$

$$\Delta G = \frac{16}{3} \pi r^3 \frac{G_v}{A^*} + 4 \pi r^2 \sigma$$

$$\Delta G^* = -\frac{\ln \Delta T}{T_m}$$

球形

例 2: 分别说明在纯金属均匀形核时, 临界晶核和临界半径、形核功和形核率的物理意义, 如果是非均匀形核, 接触角的大小主要与什么因素有关?

例 3: 相同过冷度下比较均匀形核与非均匀形核的临界半径、临界形核功、临界晶核体积, 哪个大?
 均匀形核: 临界半径大, 临界形核功大, 临界晶核体积大。
 非均匀形核: 临界半径小, 临界形核功小, 临界晶核体积小。

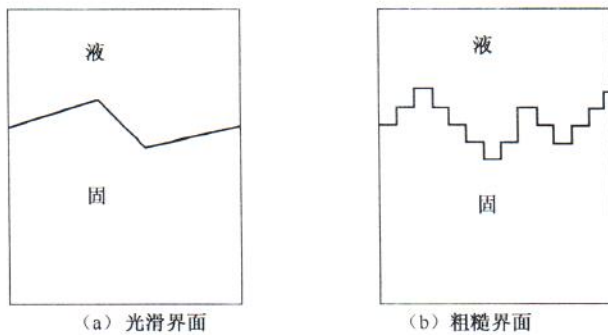
考点 3: 晶体长大

晶体在形核之后, 将发生晶体长大。晶体长大主要研究晶体长大的形态、方式和长大速率。长大形态与所得晶体的性质相关, 而长大方式决定了长大速率。

(1) 液—固界面的构造。相界面结构分为粗糙界面和光滑界面两类, 如图所示。

2.





①光滑界面：上为液相，下为固相，固相的表面为基本完整的原子密排面，液、固两相截然分开，所以从微观上看是光滑的，但在宏观上它往往由不同位向的小平面所组成，故呈折线状，也称小平面界面。

②粗糙界面：固、液两相之间的界面从微观上来看是高低不平的，存在几个原子层厚度的过渡层，但是从宏观来看界面显得平直，不出现曲折的小平面。

(2) 晶体长大方式

①连续长大。对于粗糙界面，由于界面上约有一半的原子位置空着，故液相的单个原子可以直接进入这些位置与晶体结合起来，晶体便连续地向液相中生长，故这种生长方式为垂直生长。

②二维晶核。二维晶核是指一定大小的单分子或单原子的平面薄层。若界面为光滑界面，二维晶核在相界面上形成后，液相原子沿着二维晶核侧边所形成的台阶不断地附着上去，因此薄层很快扩展而铺满整个表面。

③借螺型位错长大。若光滑界面上存在螺型位错时，垂直于位错线的表面呈现螺旋形的台阶，且不会消失。因为原子很容易填充台阶，而当一个面的台阶被原子进入后，又出现螺旋形的台阶。在最接近位错处，只需要加入少量原子就完成一周，而离位错较远处需较多的原子加入。这样就使晶体表面呈现出螺旋形台阶形成的蜷线。

正即 $\Delta T < 0$ 也很难形成树枝状

负即 $\Delta T > 0$ 但只要速率也很难形成树枝状

(3) 晶体凝固的生长形态。

晶体凝固时的生长形态不仅与液-固界面的微观结构有关，而且取决于界面前沿液相中的温度分布情况，温度分布可有两种情况：正的温度梯度和负的温度梯度。

①在正的温度梯度的情况下。

正的温度梯度指的是随着离开液-固界面的距离 z 的增大，液相温度 T 随之升高的情况，即 $dT/dz > 0$ 。在这种条件下，结晶潜热只能通过固相而散出，相界面的推移速度受固相传热速度所控制。晶体的生长以接近平面状向前推移，这是由于温度梯度是正的，当界面上偶尔有凸起部分而伸入温度较高的液体中时，它的生长速度就会减缓甚至停止，周围部分的过冷度较凸起部分大而会赶上来，使凸起部分消失，这种过程使液-固界面保持稳定的平面形态。

②在负的温度梯度的情况下。

负的温度梯度是指液相温度随离液-固界面的距离增大而降低，即 $dT/dz < 0$ 。当相界面处的温度由于结晶潜热的释放而升高，使液相处于过冷条件时，则可能产生负的温度梯度。此时，相界面上产生的结晶潜热即可通过固相也可通过液相而散失。相界面的推移不只由固相的传热速度所控制，在这种情况下，如果部分的相界面生长凸出到前面的液相中，则能处于温度更低（即过冷度更大）的液相中，使凸出部分的生长速度增大而进一步伸向液体中。在这种情况下液-固界面就不可能保持平面状而会形成许多伸向液体的分枝（沿一定晶向轴），同时在这些晶枝上又可能会长出二次晶枝，在二次晶枝再长出三次晶枝，晶体的这种生长方式称为树枝生长或树枝状结晶。

例 1：具有光滑界面的物质，在负的温度梯度下长大时 (ABD)

- A. 以二维晶核方式长大
- B. 以螺旋方式长大
- C. 以垂直方式长大
- D. 呈现树枝状结晶

例 2：典型的金属（如铁）和典型的非金属（如硅，石墨）在液相中单独生长时的形貌差异是什么？

铁
过冷度是平面
生长的分枝很少

铝
不同位向的平面。
是无规则多边形有棱角的形状
6, 3



例 3：凝固过程中晶体缺陷是如何进入晶体的？

二、二元合金的凝固理论

考点 4：固溶体的凝固理论

主要包括：平衡凝固、非平衡凝固、成分过冷、凝固后的组织。

(1) 所谓平衡凝固是指结晶过程的各个不同温度阶段，处处都能随时达到相应的平衡状态。即随温度变化，液、固两相的平衡成分都分别沿着液相线和固相线变化。

(2) 非平衡凝固是实际工作中正常的现象。随着与平衡凝固偏离程度的不同，非平衡凝固也是多种多样的。现取液相随时均匀化，固相不发生扩散、液相随时均匀化，固相部分扩散、液相不均匀三种情况分别讨论。

(3) 成分过冷。在合金的凝固过程中，由于液相中溶质分布发生变化而改变了凝固开始的温度，界面前沿液体中的实际温度就有可能低于由溶质分布所决定的凝固开始温度，这时产生的过冷，称为成分过冷。纯金属在凝固时，其理论凝固温度(T_m)不变，当液态金属中的实际温度低于 T_m 时，就引起过冷，这种过冷称为热过冷。

组成过冷的概念是为了将“由温度下降造成的过冷度”和“由成分改变而造成过饱和度”(浓度过冷)两个能影响凝固的因素结合起来而提出的。

成分过冷及其对晶体生长形态的影响：合金液相中的温度梯度 G 越小，就可能得到越大的成分过冷。随成分过冷度的增加，固溶体合金的生长形态由平面状向胞状和树枝状转变。成分过冷理论说明了合金为什么在正的温度梯度下能形成树枝晶，它不同于纯金属只有在负的温度梯度下才能出现树枝晶。

(4) 凝固后的组织，主要是显微偏析、晶粒形貌两方面。

例 1：从结晶条件和过程分析纯金属和单相固溶体合金结晶时的异同点。

相同：① 都需过冷度，② 都需要散热和放热

例 2：什么是成分过冷？如何影响固溶体生长形态？

无成分过冷以平面生长形成等轴晶，有很小胞状组织，有很大树枝晶生长

例 3：成分偏析的种类及产生机理。

考点 5：各种合金系凝固与组织

主要是共晶、包晶、偏晶的凝固过程与组织。

(1) 共晶凝固过程。

慢冷时：由于存在先共析相(假设为 α)，在过冷度小、冷却速度慢时， α 相易于在已出现的 α 相处长大，而 β 相(后析出相)则独自在液相中生核长大，得到两种粗大的晶粒组成的混合体。这也就是亚(过)共晶合金的离异共晶。(成分越远离共晶点，靠近单相点的越容易出现)

快冷时：由于先共析相 α 出现枝晶偏析，固相线向左下方偏移，该相达到共晶线以下的液相比例也将增多；即随着冷却速度的加大，先共析相 α 出现的比例下降，共晶成分增多，甚至出现完全共晶的伪共晶现象。(越靠近共晶成分点的越容易出现)

共晶组织的熔点低、偏析少、流动性好，凝固收缩比较小。

(2) 包晶过程。

由 L 与 α 形成 β 相则反应界面是在 L 与 α 的交界处，加之 α 又对 β 形核有促进作用(界面)，但是当 β 相把 α 相包围后，液相无法再与 α 相直接接触，包晶反应想要继续只能是通过原子扩散，速度非常慢，因此包晶反应几乎无法完成平衡转变。

(3) 偏晶凝固过程。

L_1 中先析出 α 相，并在 α 相附近形成液相 L_2 ，若 L_2 与 α 相是可浸润的，则 L_2 将 α 相包围， α 相无法长大。在远处再形成 α 相与 L_2 。若不浸润， L_2 则会在 L_1 中独立生成，并可能会发生分层现象， L_1 在上层， L_2 在下层。 L_1 中不断产生 α 相和 L_2 ， L_2 再沉淀下去。

偏晶合金若出现两液相严重分层则会影响组织性能。

例(名词解释)：伪共晶与离异共晶。

考点 6：合金铸锭的组织和缺陷

(1) 铸锭(件)的宏观组织。铸锭(件)的宏观组织分为三个晶区：表面细晶区，柱状晶区和中心等轴晶区。



(2) 铸锭(件)的缺陷。铸锭(件)的缺陷主要有缩孔和偏析。缩孔的类型与合金凝固方式有关。几乎不产生成分过冷的“壳状凝固”形成致密的柱状晶，其主要为集中缩孔；而成分过冷显著的“糊状凝固”形成的树枝状方式生长的等轴晶，其主要为分散缩孔(疏松)；介于两者之间的为壳状-糊状混合凝固，获得柱状晶和等轴晶混合组织。

铸锭(件)的偏析有宏观偏析和显微偏析之分。宏观偏析又可分为正常偏析、反偏析和比重偏析；而显微偏析分为胞状偏析、枝晶偏析和晶界偏析。通过在低于固相线的高温下进行长时间的扩散退火可减轻成分偏析。

增大形核率

例 1：凝固时不能有效降低晶粒尺寸的是以下哪种方法？(B)

- A. 加入形核剂 B. 减小液相的过冷度 C. 对液相实施搅拌

增加

例 2：铸锭的一般组织分为几个区域？成因及影响因素？如何得到细小等轴晶。

例 3：影响晶粒组织的因素(如何获得等轴晶)。

例 4：铸锭中常见的宏观组织缺陷有哪些？消除或者改善的方法？

例 3. ① 液体过热度小，树枝状的枝晶破碎严重

② 游离范围大，有利于枝晶发展，形成石墨片

③ 温度梯度要小，有利于枝晶发展

细小(搅拌增加) 加形核剂

例 4. 化学成分不均，物理不均(偏析) 组织性能不好。——常温水淬火

(1) 铸锭中的宏观偏析。

正常偏析： $k_c < 1$ 的元素在先凝固区域的浓度低于后凝固区域 ($k_c > 1$, 反偏析)

反偏析：在柱状晶深入液体，在凝固区域较深的情况下，此时最前方只有末端在液体中，正偏析

小：凝固区域的柱状晶之间液体越来越多，浓度越来越高，不是凝固
(由于柱状晶方向垂直)开始主要也在柱状晶之间液体越来越少，浓度越来越高。
此时液体量导致的压力使柱状晶之间的富液区的液体向外排，从而促进凝固区域的浓度越来越高。
此时液体量导致的压力使柱状晶之间的富液区的液体向外排，从而促进凝固区域的浓度越来越高。

反偏析的特征：凝固区域的液体量多于柱状晶的偏析，形成柱状晶带。

正偏析：由于液体量少于柱状晶的偏析，形成柱状晶带。

减轻正常偏析和反偏析的方法：扩散退火

减轻比重偏析 加快结晶速度，搅拌强化，化渣度(形成气泡)

(2) 物理不均性(缩孔与气孔)

结晶时体积收缩是出现缩孔的原因，冷浇道是出现缩孔的原因。

被固体完全包围分离的那部分液体由于无法从外部补充，冷浇道导致缩孔。

枝晶内部穿插锁形的分散小缩孔称为气泡(正气孔)

由于气体在固体中的溶解度一般比在液体中的溶解度要小，所以当液体凝固时可能会形成气泡。

对症办法：加冒口进行补缩，切除气孔或重新浇注。

(3) 组织不均匀性：浇铸时，液体金属与模壁接触，模壁冷却能力差，液体中出现膨胀的温度梯度，同时有

细晶带外延，浇铸时，液体金属与模壁接触，模壁冷却能力差，液体中出现膨胀的温度梯度，同时有

对流，冷却速度快，因为模壁可以作为非均形核的基体，因此出现细晶粒外延。

植物生长时，由于环境持续存在热量分布不均，因此温度梯度会产生隔层和流速的差异。近地面温度下降，形成寒潮会使靠近地面的水温颗粒以扩散形式生长，带走底部的营养物质迅速，于是出现了与木质部垂直的主要吸水区。

冬季寒冷时，木质部导管生长时，石质化的木质部会收缩变短，且两端的周长会形成一个重要的环，局部的液体过冷~~热~~，可能会出现冰的形成。又由于木质部液体温度相差不大，因此形成了冰的等温线，应对办法：尽量扩大细小的等温线。

第六章

主要考点

- 考点 1: 弹性形变
- 考点 2: 单晶体的塑性变形
- 考点 3: 施密特定律
- 考点 4: 多晶体的塑性变形 (细晶强化)
- 考点 5: 固溶体合金的塑性变形 (固溶强化)
- 考点 6: 复相合金的塑性变形 (弥散强化)
- 考点 7: 塑性变形后材料组织的变化
- 考点 8: 塑性变形后材料性能的变化
- 考点 9: 综合题

考点 1: 弹性形变。

例 1 (名词解释): 弹性形变、滞弹性和弹性变形能。

考点 2: 单晶体的塑性变形。

例 1 (名词解释): 李晶。

例 2: 常温下金属塑性变形有哪些主要机制? 它们间的主要差异是什么?

例 3 (判断题): 金属晶体中, 密排六方晶体比面心立方晶体的塑性好, 更适宜塑性加工。X

考点 3: 施密特定律。

例 1 (名词解释): 临界分切应力。

例 2 (名词解释): 施密特 (Schmid) 因子。

例 3: 单晶体的临界分切应力值与 (C) 有关。

- A. 外力相对滑移系的取向
- B. 拉伸时的屈服应力
- C. 晶体的类型和纯度
- D. 拉伸时的应变大小

例 4 (判断题): 根据施密特定律, 晶体滑移面平行于拉力轴时最容易产生滑移。X

根据施密特定律取向的
外力相对滑移面平行时最易滑移, 故当
角为 90° 时取向因子最大为 $\frac{1}{2}$

例 5: 已知纯铜的 {111} [110] 滑移系的临界切应力 τ_c 为 1 MPa,

(1) 要使 $\{111\}$ 面上产生 $[101]$ 方向的滑移, 则在 $[001]$ 方向上施加多大的之力?

考点 4: 多晶体的塑性变形 (细晶强化)。[2] 要使 $\{111\}$ 面上产生 $[101]$ 方向的滑移呢

例 1: 多晶体塑性变形时, 至少需要 (C) 独立的滑移系。

- A. 3 个
- B. 8 个
- C. 5 个

例 2: 实际金属材料的性能在不同方向并不存在差异, 这是因为 (D)。

A. 晶体不同方向性能相同

B. 晶体的各向异性现在测量不出来

C. 金属材料结构不是晶体

D. 大量晶粒随机取向掩盖了各向异性

例 3: 解析 Hall-Petch (霍尔-佩奇) 公式。表示屈服强度与晶粒尺寸之间的关系 $b_s = b_0 + k d^{-1/2}$ 屈服强度随晶粒尺寸减小而提高

例 4: 有两块相同成分的固溶体合金, 其区别仅为一块晶粒较粗大, 另一块晶粒较细小。试回答下列问题: (1) 哪块合金的塑性更好, 为什么? (2) 在冷塑性变形量相同的情况下, 哪一块合金变形所消耗的变形功更大, 为什么? (3) 当加热这两块经冷塑性变形的合金时, 哪一块合金更易发生再结晶, 为什么?

例 5: 已知当退火后纯铁的晶粒大小为 $16 \text{ } \mu\text{m}^2$ 时, 屈服强度 $\sigma_s = 100 \text{ MPa}$; 当晶粒大小为 $4096 \text{ } \mu\text{m}^2$ 时, $\sigma_s = 250 \text{ MPa}$, 试求晶粒大小为 $256 \text{ } \mu\text{m}^2$ 时, 屈服强度 σ_s 的值。

考点 5: 固溶体合金的塑性变形 (固溶强化)。

例 1 (名词解释): 屈服强度、断裂强度。

例 2: 为什么低碳钢在拉伸时表现出上下屈服点, 而纯金属却没有?

例 3: 何为固溶强化? 请简述其强化机制。



考点 6：复相合金的塑性变形（弥散强化）。

例 1：请论述第二相弥散粒子对合金塑性变形的影响。

例 2：用位错理论分析纯金属与两相合金在冷形变加工时，在产生加工硬化机理上有何区别？

考点 7：塑性变形后材料组织的变化。

例 1：简述单向压缩条件下，形变量、形变温度对金属组织及性能的影响（包括晶粒形状和位错亚结构的变化）？可用示意图表示。

例 2：什么是变形织构？材料冷变形时为什么会产生变形织构？对要求变形量大的材料怎么样防止产生变形织构。

考点 8：塑性变形后材料性能的变化。

例 1：金属材料经冷塑性变形后 晶粒 密度增加，其机械性能是 强度硬度 升高，塑性韧性 降低，内应力 增大，但其显微组织和机械性能 _____。

例 2：请画出金属单晶体的典型应力-应变曲线，并标明各阶段。铝（层错能约为 200mJ/m^2 ）和不锈钢（层错能约为 10mJ/m^2 ），哪 种 材料的形变第III阶段开始得更早？这两种材料滑移特征有什么区别？

例 3：工业生产中，为防止深冲用的低碳薄钢板在冲压成型后所制得的工件表面粗糙不平，通常采用何种工艺？说明理由。

例 4：金属材料经过冷塑性变形后，其力学性能将出现（B）。

- A. 硬度上升塑性上升
- B. 硬度上升塑性下降
- C. 硬度下降塑性上升
- D. 硬度下降塑性下降

例 5：什么是时效处理？通过时效处理产生强化的原因？实际应用过程中，为消除时效强化可采用什么处理方法？为什么？

例 6：以低碳钢的拉伸曲线为例，运用位错理论说明屈服现象及加工硬化现象。

例 7：论述冷变形后材料的组织和性能特点。

例 8：试比较单晶锌与多晶锌的塑性变形特性。
HIP

考点 9：综合题。

例 1：叙述你所熟悉的某一类材料的变形行为及其特点。

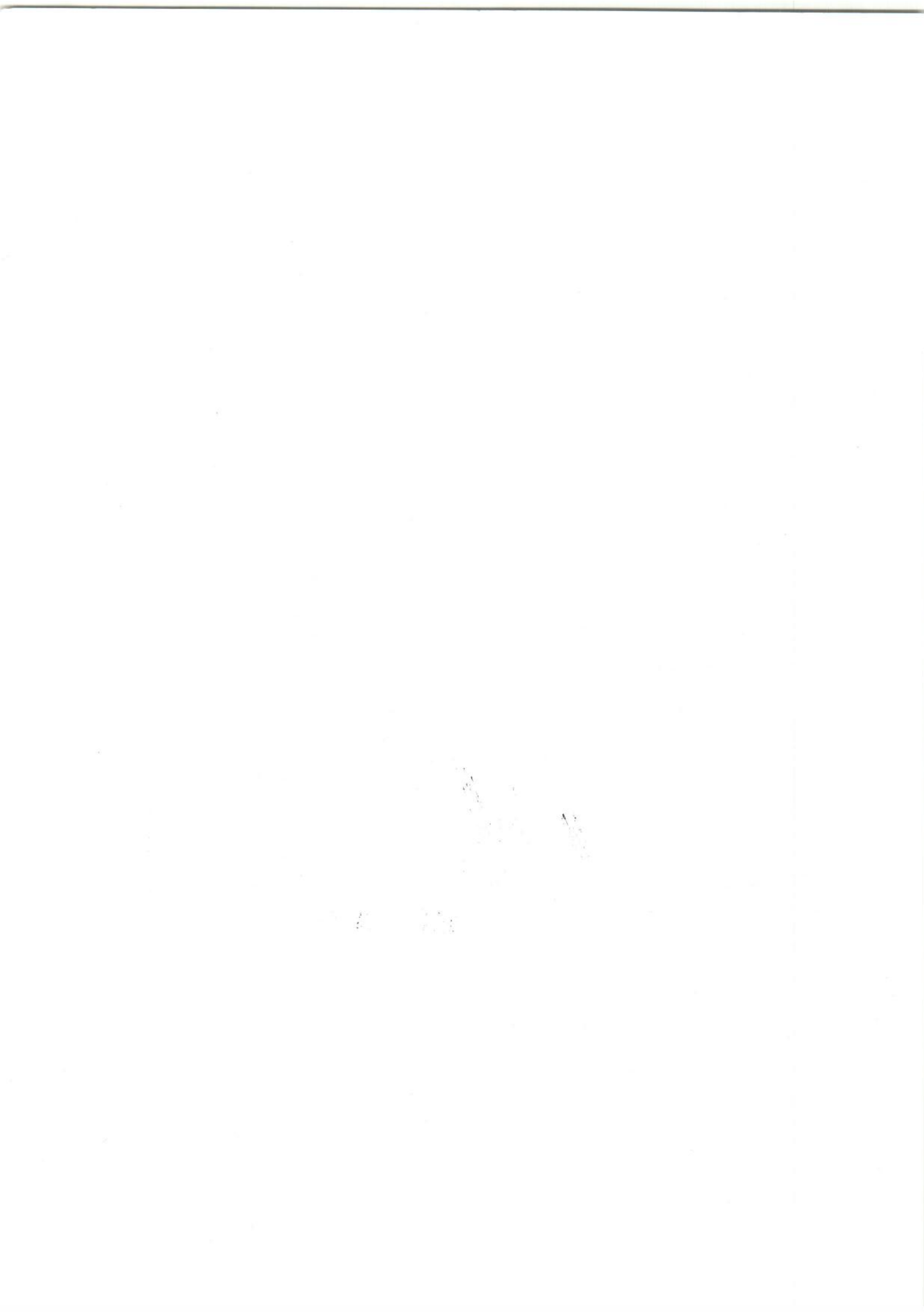
例 2：分析位错对金属材料性能的影响。

例 3：就你所学所有知识，谈谈如何控制和改善金属材料中的组织。

例 4：铜是工业上常用的一种金属材料，具有电导率高和耐腐蚀性好等优点，但是纯铜的强度较低，经常难以满足要求，根据你所学的知识，提出几种强化铜合金的方法，并说明其强化机理。

轧后应力

带状组织



主要考点

~~六~~ 七

- 考点 1：回复
- 考点 2：再结晶
- 考点 3：再结晶晶粒大小的影响因素
- 考点 4：再结晶温度
- 考点 5：组织和性能变化
- 考点 6：动态回复与动态再结晶
- 考点 7：综合

考点 1：回复

- 例 1 (名词解释): 回复。
例 2: 形变后的材料在低温回复阶段时其内部组织发生显著变化的是 (A)。
A. 点缺陷的明显下降 B. 形成亚晶带 C. 位错重新运动和分布 中，高
- 例 3: 冷加工金属加热时发生回复过程中位错组态有哪些变化?
例 4: 经冷变形后的金属在回复过程中, 位错会发生 (C)。
A. 增殖 B. 大量消失 C. 部分重排 D. 无变化

考点 2：再结晶

- 例 1 (名词解释): 再结晶。
例 2 (名词解释): 再结晶退火。
例 3: 给出金属发生再结晶的基本条件 (驱动力)。
例 4: 再结晶形核地点有什么特点或特征? 哪些地点可能是优先的形核地点?

考点 3：再结晶晶粒大小的影响因素

- 例 1: 固态下, 无相变的金属, 如果不重熔, 能否细化晶粒? 如何实现?
① 驱动能
② 形核率
- 例 2: 为细化某纯铝件晶粒, 将其冷变形 5% 后于 650°C 退火 1h, 组织反而粗化, 增大冷变形量至 80%, 再于 650°C 退火 1h, 仍然得到粗大晶粒。试分析其原因, 指出上述工艺的不合理处, 并制定一种合理的晶粒细化工艺。
例 3: 若欲通过形变和再结晶方法获得细晶粒组织, 应该避免 (A)。
A. 在临界形变量进行塑性变形加工 B. 大变形量
C. 较长的退火时间 D. 较高的退火温度
- 例 4: 晶粒尺寸和形核率 N 、线长大速度 v_g 之间的关系是 (C)。
A. N 越大, 晶粒尺寸越大 ↑ B. N/v_g 越大, 晶粒尺寸越小 ↓
C. v_g/N 越大, 晶粒尺寸越大 D. v_g 越小, 晶粒尺寸越大 ↑ 临界形变量
- 例 5: 影响再结晶晶粒大小的因素有哪些? 在生产实际中如何控制再结晶晶粒的大小?
例 6: 再结晶后晶粒的大小主要取决于 形变量 和 退火温度

考点 4：再结晶温度

- 例 1 (名词解释): 再结晶温度。
- 例 2: 下面关于对再结晶温度影响的说法中, 错误的为 (C)。
A. 冷形变程度越小则再结晶温度越高
B. 在同样的冷变形程度下, 原始晶粒尺寸越小则再结晶温度越低
C. 第二相粒子分布越弥散则再结晶温度越低

例 3: 在室温下对铁板 (其熔点为 1538°C) 和锡板 (其溶点为 232°C) 分别进行来回弯折, 随着弯折的进行, 各会发生什么现象? 为什么?

$$\begin{array}{l} \text{室温 } 25^\circ \quad \frac{25}{1538} = \frac{298}{1538} \\ \frac{25+273}{232+273} = \frac{298}{505} \\ 0.57 \text{ 中温} \end{array}$$

考点 5：组织和性能变化



不正确 再结晶金属仍可能存在织构的和面心晶粒分布
因为两种理论：①一次再结晶形成各种位向，
②某些随再结晶而增加才可
向形变基体长大形成再结晶核。当变形基体变大时，其中大多数晶粒取向相似，是等轴晶粒。
例 1：“由于冷变形金属在加热发生再结晶时，其中的变形晶粒将被通过形核和长大而长大而消失，形成的无畸变等轴晶粒完全替代，因此，冷变形所形成的变形组织将消失。再结晶后，金属中将必然不再会有组织。”试问此说法正确与否，为什么？

例 2：经过冷塑性形变和再结晶过程，在下列何种情况下必定会得到粗大的晶粒组织？
(A) A. 在临界形变量进行塑性变形加工 B. 大变形量
C. 较长的退火时间 D. 较高的退火温度

例 3：将经过大量冷塑性变形（例如为 70%）的纯铜长棒的一端浸入冰水中，另一端加热至接近熔点的高温（例如 $0.9T_m$ ），过程持续进行 1h，然后试样完全冷却，试作沿棒长度的硬度分布曲线（示意图），并作简要说明。

例 4：简述回复再结晶退火时材料组织和性能变化的规律；为何实际生产中常需要再结晶退火？

例 5：临界变形度对金属再结晶后的组织和性能有什么影响？

考点 6：动态回复与动态再结晶

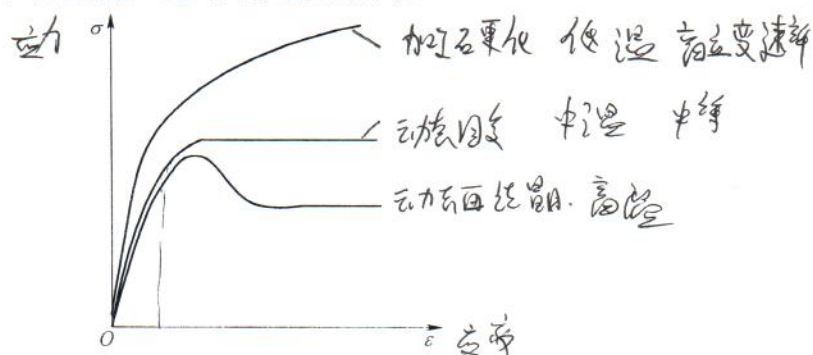
例 1（判断题）：在室温下对金属进行塑性变形为冷加工。加热到室温以上对金属进行塑性变形为热加工。X

例 2（名词解释）：动态再结晶。

例 3（名词解释）：动态回复。

例 4（名词解释）：超塑性。

例 5：面心立方金属铜在三种不同条件下的真应力-应变曲线如图所示。说明它们可能是在怎样的温度和应变速率下形成的？为何具有这样的形状？



考点 7：综合

例 1：经冷变形的金属随后加热到一定温度将会发生回复再结晶，这是一个 (A) B.

- A. 低位错密度的晶粒取代高位错密度的晶粒的过程
- B. 也是一个形核和长大的过程
- C. 是一个典型的固态相变的过程 X
- D. 也是重结晶过程 X

例 2：请分析影响回复和再结晶的因素各有哪些，以及影响因素的异同，并请分析其原因。

例 3：何谓金属的结晶？何谓金属的再结晶？两者是否都是相变，为什么？两者的驱动力是否相同，为什么？

例 4：凝固、扩散、晶粒长大、回复和再结晶的驱动力是什么？

例 5：再结晶和二次再结晶的区别？

例 6：解释冷变形金属加热时回复、再结晶的过程及特点。

例 7：指出再结晶、结晶、固态相变之间的主要区别。

例 8：比较结晶、再结晶和二次再结晶。

例 9：晶粒尺寸对金属材料的性能有重要影响。试从液-固相变、固态相变和再结晶等角度分析可用于细化晶粒的手段和方法。

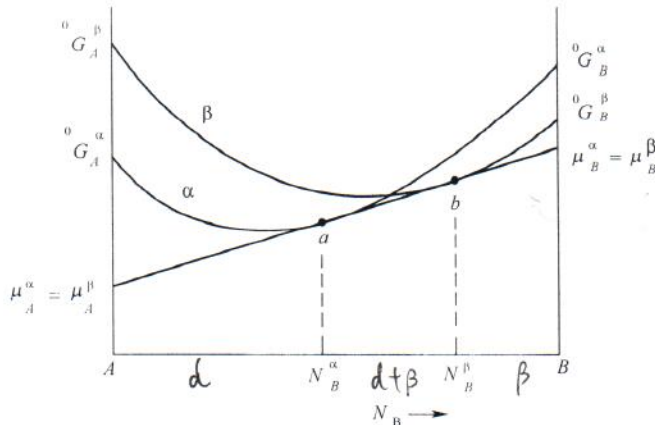
④差
热处理 降低长大速率
热加工：使大晶粒破碎



八

考点 1：吉布斯自由能成分曲线

例：利用如图所示的自由能-成分曲线说明，公切线将成分范围分成三个区域，各区域内哪些相稳定？为什么？



考点 2：合金组织与性能

例 1：二元合金中、铸造性能好的合金通常在相图处在 (B) 成分点。

- A. 发生匀晶转变
- B. 发生共晶转变
- C. 发生包晶转变

例 2（名词解释）：伪共晶与离异共晶。

例 3：由 A、B 组元组成甲、乙两种合金，其中甲合金成分为共晶成分，乙合金成分远离共晶成分，这两种合金铸造成型时：(1) 哪种合金的流动性好，为什么？(2) 哪种合金得到的组织更加致密，为什么？

例 4：A、B 两组元可以形成共晶合金，回答下列问题：(1) 现有一合金样品（其成分未知），观察其室温显微组织为 100% 的共晶组织，是否可据此认为该样品成分一定为共晶成分，为什么？(2) 对在平衡凝固时不发生共晶转变的某成分该合金，在其非平衡凝固时是否有可能得到含有共晶体的室温组织，为什么？

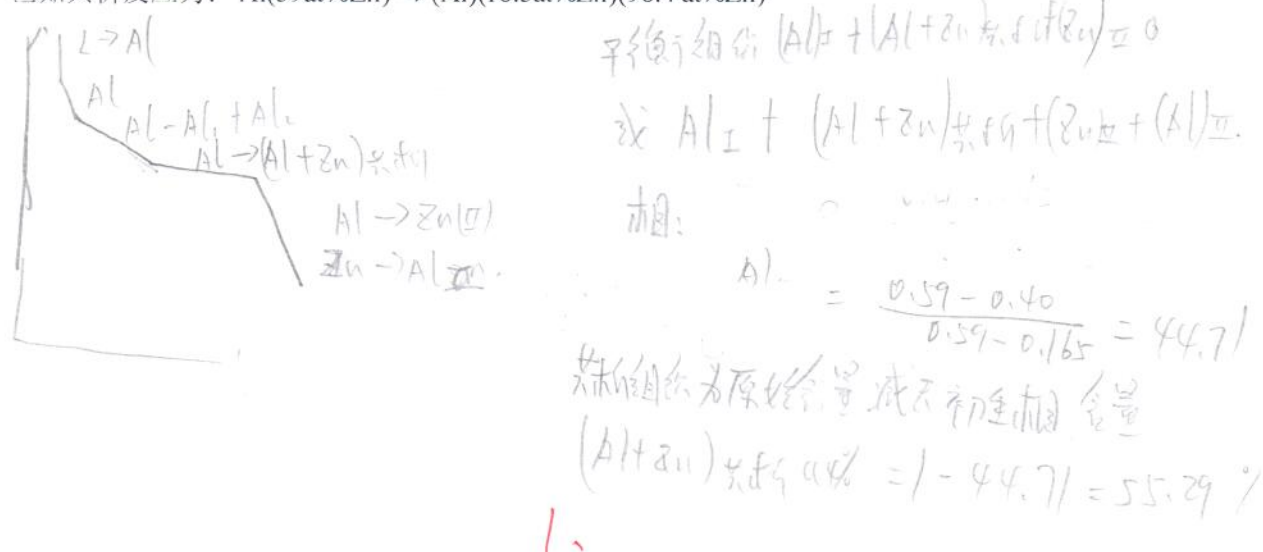
考点 3：杠杆定律

例：在共析温度 Fe-C 合金中碳在铁素体的最大固溶度为 0.02wt%，Fe-C 合金共析点含碳量为 0.77wt%。现有某 Fe-C 合金平衡冷却，在共析转变刚结束时，观察到其显微组织中含有珠光体和铁素体各一半。试求：(1) 该合金中含碳量；(2) 将该合金重新加热到 730℃ 将得到什么平衡相？(3) 将该合金重新加热到 950℃ 又将得到什么平衡相？
设含碳量为 C $\frac{C - 0.02\%}{0.77\% - 0.02\%} = 50\% \Rightarrow C = 0.38\%$

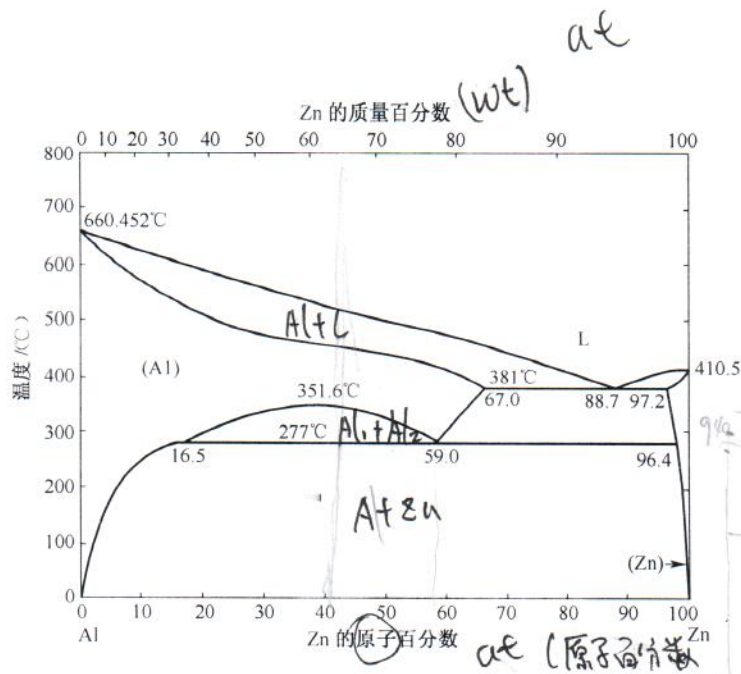
考点 4：二元相图综合计算

例 1：根据如图所示的 Al-Zn 二元相图。(1) 画出 Al-40at%Zn 合金的冷却曲线和写出最终的平衡组织；(2) 分别计算上述合金在共析转变后初生相和共析组织的相对量。

已知共析反应为：Al(59at%Zn) \rightarrow (Al)(16.5at%Zn)(96.4 at%Zn)

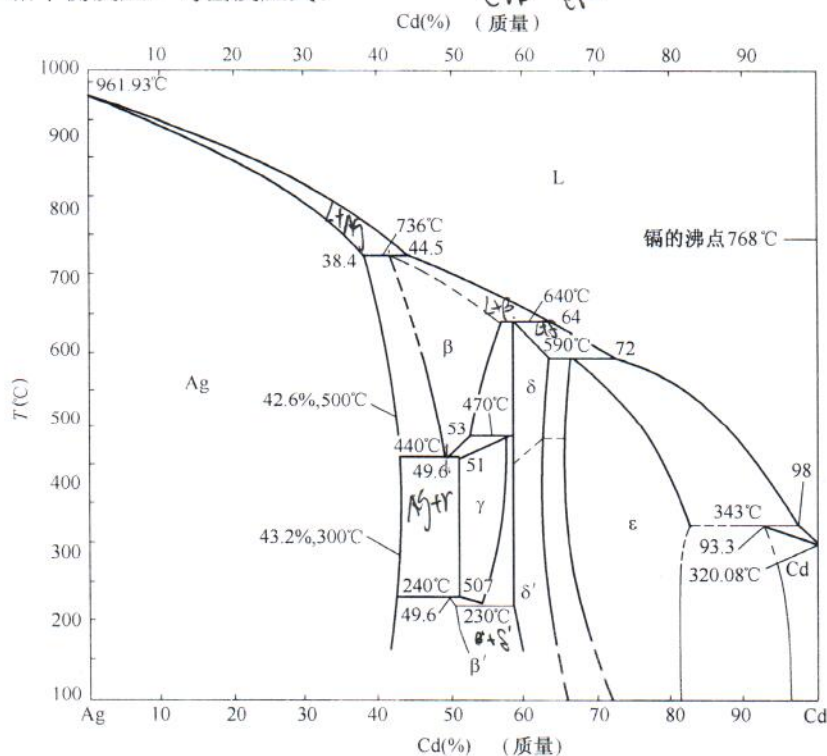






例2：根据如下给出的信息，绘制出A和B组元构成的在600°C到1000°C之间的二元相图：A组元的熔点是940°C；B组元在A组元中的溶解度在所有温度下为零；B组元的熔点是830°C；A在B中的最大溶解度是在700°C为12wt%；600°C下A在B中的溶解度是8wt%；700°C时在成分点A-75(wt%)B有一个共晶转变；730°C时在成分点A-60(wt%)B有另一个共晶转变；755°C时在成分点A-40(wt%)B还有一个共晶转变；在780°C时在成分点A-49(wt%)B有一个稳定金属间化合物凝固发生；在755°C时在成分点A-67(wt%)B有另一个稳定金属间化合物凝固发生。

例3：在如图所示的Ag-Cd二元相图中，当温度为736°C、640°C、590°C、440°C和230°C时分别会发生什么样的三相平衡反应？写出反应式。





考点 1：基础知识
例（解释名词）：珠光体。

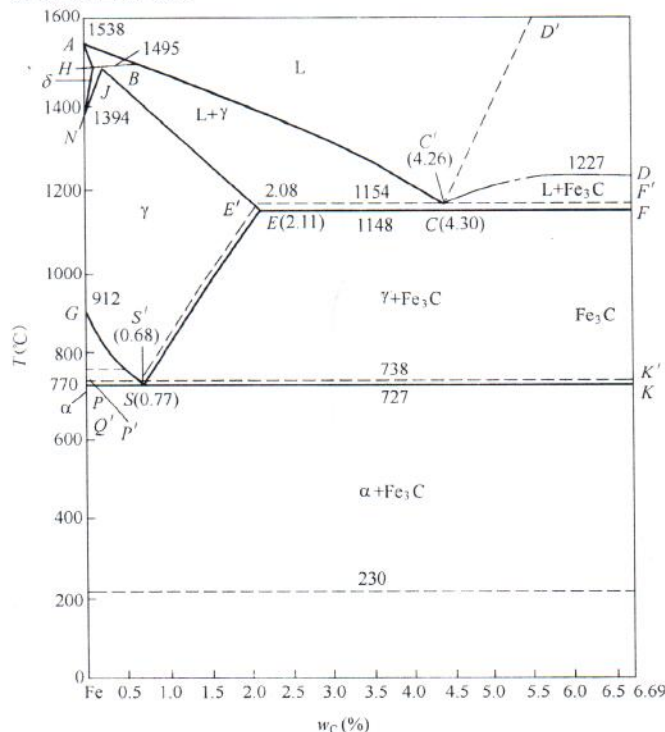


考点 2：铁碳相图综合

例 1：画出 Fe-Fe₃C 相图；

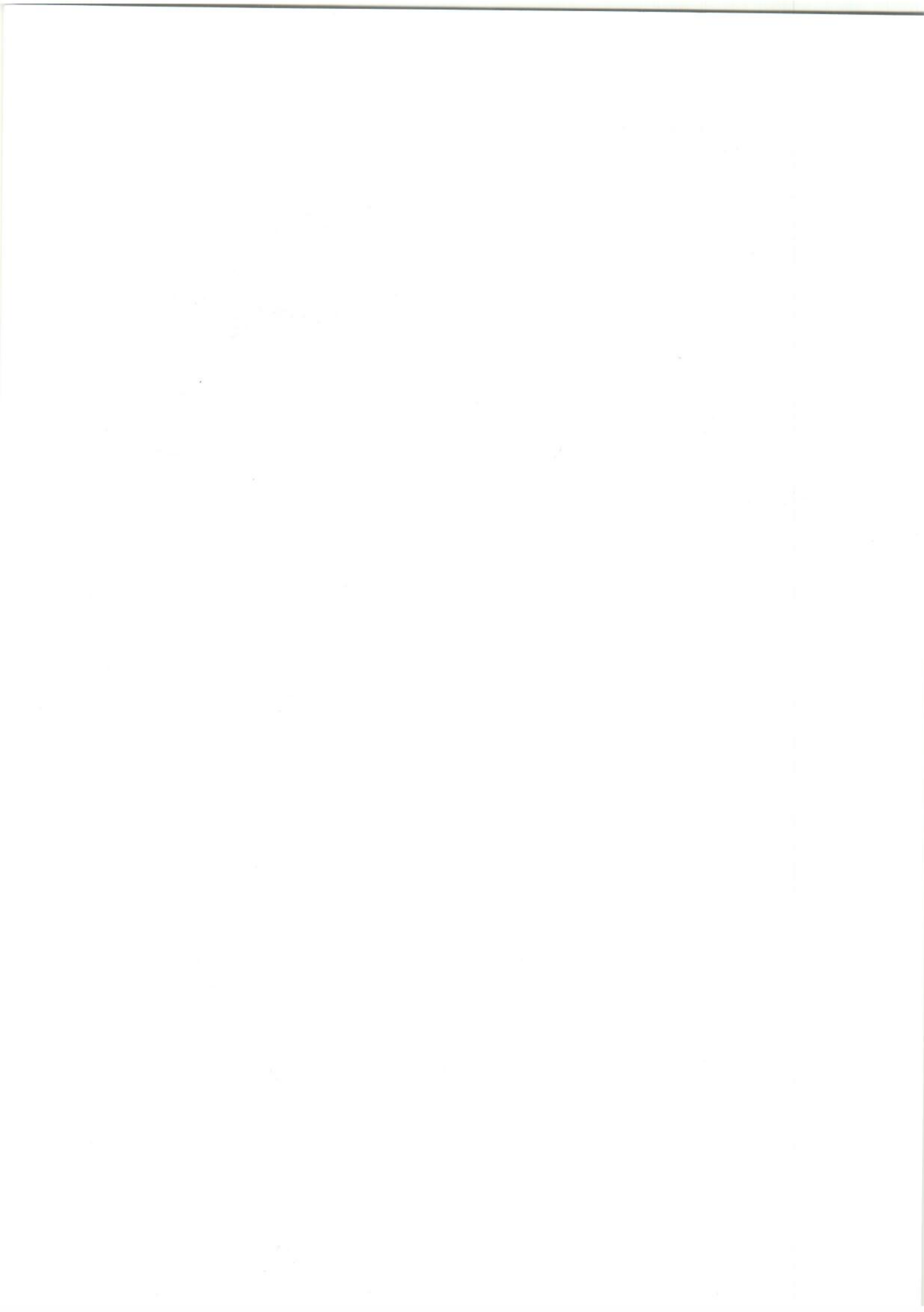
例 2：分析碳含量 $w_C=1.1\%$ 的铁碳合金从液相平衡凝固到室温时的转变过程，画出组织转变示意图，并计算出室温时各组织的相对含量。

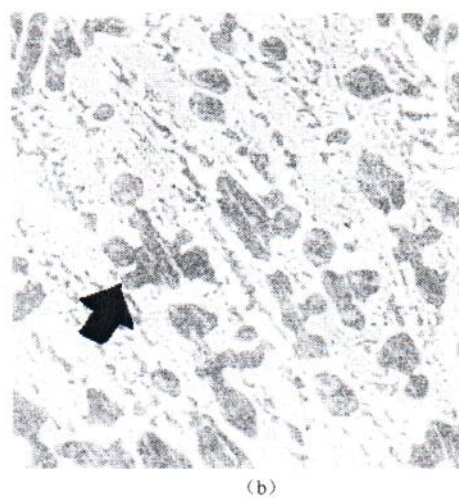
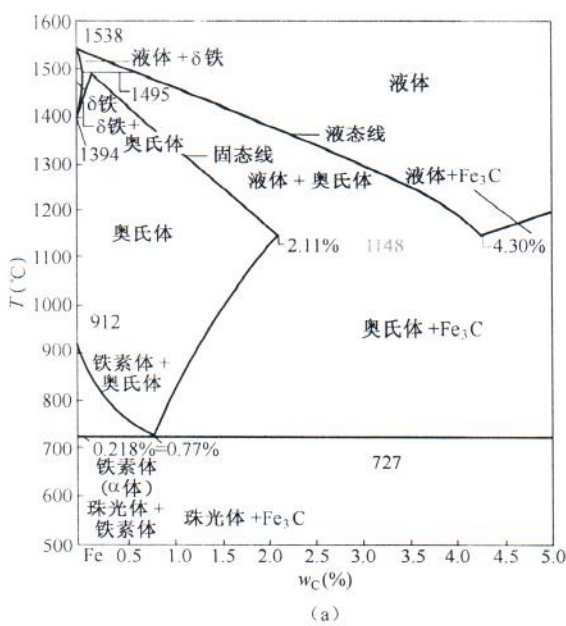
例 3：根据如图所示的铁碳平衡相图，回答以下问题：(1) 写出在 1495°C、1154°C、1148°C、738°C 和 727°C 发生的三相平衡反应的反应式；(2) 画出含碳量 $w_C=1.2\%$ 的过共析钢在室温下的平衡组织，并计算二次渗碳体的百分数；(3) 含碳量 $w_C=3.5\%$ 的亚共晶白口铸铁在从液相平衡冷却到室温时会发生什么三相平衡反应和两相平衡反应（可用热分析曲线表示）？室温下该成分的铸铁中有没有二次渗碳体？如有的话，计算其百分数。



例 4：如图所示为铁碳相图和一个含 3.5% C 的铁碳合金缓冷凝固组织。说明或示意画出此合金由液相缓冷到共析温度以下的组织变化过程，并说明图 (b) 的最终组织；计算图 (b) 中箭头所指的树枝状组织的重量百分量；再分别计算共析转变后合金中铁素体和全部的珠光体组织重量百分量 (Fe₃C 含 6.69% C)。

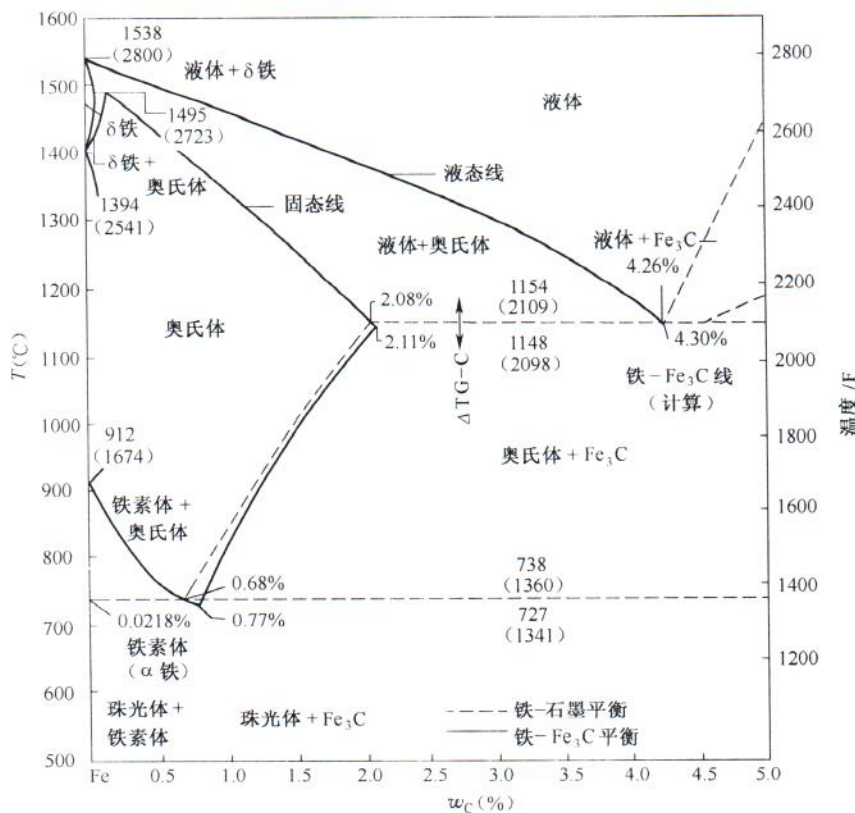






例 5 如图 (a) 所示为铁碳相图, 图 (b)、(c)、(d) 分别为三个不同成分 (设为 0.45%C、3.4%C、4.7%C) 的铁碳合金缓冷凝固组织 (包括随后的固态相变、硝酸酒精浸蚀)。说明它们各是哪个成分的合金, 为什么?





(a)

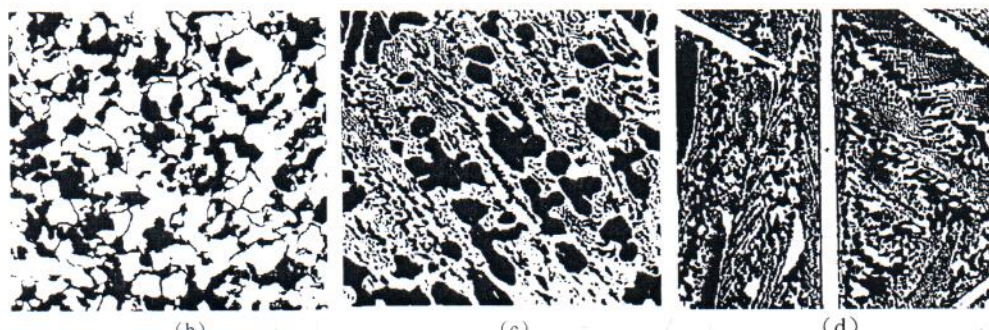


图 7-25

(2) 分析图(d)组织的凝固过程，并计算该合金中白色长条状组织的重量相对量(Fe_3C 含6.69%C)。



10+
B

考点 1：基础知识

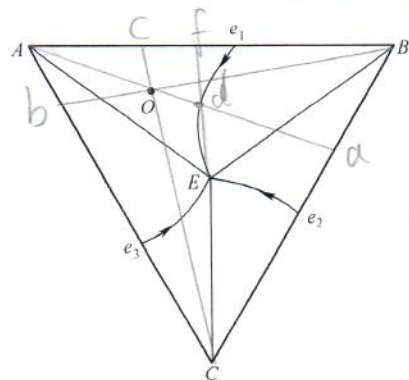
例 1：在三元系中出现两相平衡时，若要计算两相的百分数，则（ ）。 B

- A. 在垂直截面上运用杠杆定理计算
- B. 在水平截面上运用杠杆定理计算
- C. 在投影面上运用杠杆定理计算
- D. 在水平截面上运用重心法则计算

例 2：解释三元系合金相图的重心定律？

考点 2：固态完全不互溶三元相图

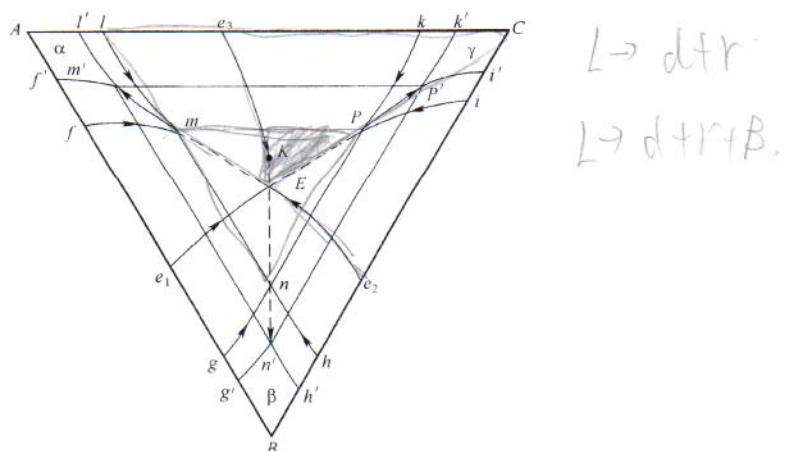
例：某 A-B-C 三组元在液态完全互溶，固态完全不互溶，且具有共晶反应，其三元相图的全投影图如图所示。图中 O 点成分的合金自液态平衡冷却至室温。（1）分析 O 合金的平衡结晶过程；（2）写出室温时的相组成物和组织组成物；（3）计算室温时各相组成物的质量百分数和各组织组成物的质量百分数。



考点 3：固态有限互溶三元相图

例 1：画出固态下有限互溶三元共晶相图的投影图，并在图中标出室温下组织为 $\gamma+(\gamma+\alpha)+(\gamma+\alpha+\beta)$ 的相区。

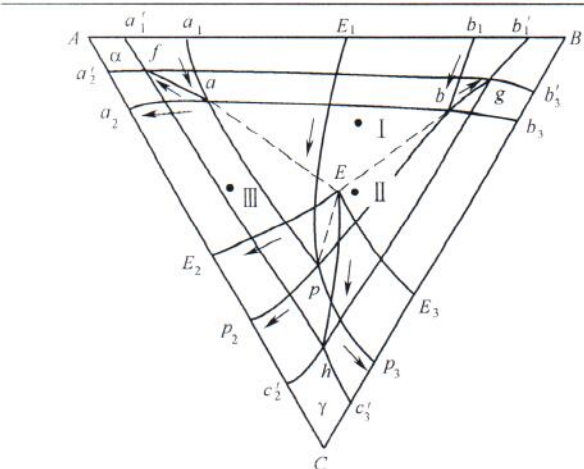
例 2：分析三元合金相图中 K 合金的平衡结晶过程，画出其冷却曲线，并写出它在室温时的组织组成物（见图）。



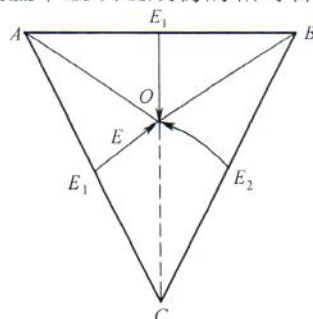
考点 4：四项平衡反应的判断

例 1：（1）在如图所示的三元相图投影图中会发生什么样的四相平衡反应？写出反应式；（2）组成这个三元系的三个二元系中分别发生什么样的三相平衡反应？写出反应式。



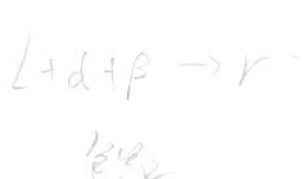
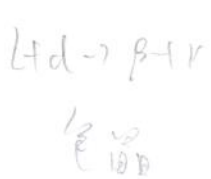
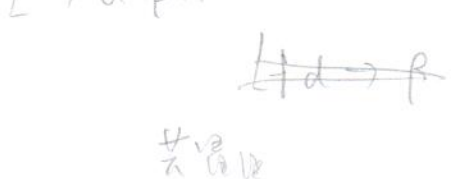
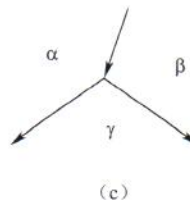
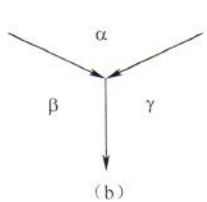
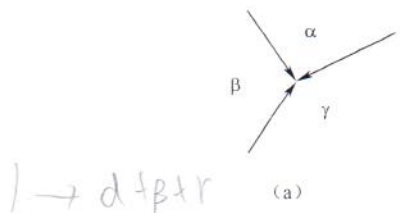


例 2：如图所示为组元在固态下互不溶解的三元共晶合金相图的投影图。(1) 分析 O 点成分合金的平衡结晶过程；(2) 写出该合金在室温下组织组成物的相对含量表达式。



$$\text{w}_A = \frac{OE}{AE}$$

例 3：试根据如图所示的液相面投影图，分别写出四相平衡反应式。





一、固态转变基本类型

由于金属(合金)的结构和组织在固态下可以进行多种多样的形势转变，因此具有性能方面的多变性。包括同素异形转变、脱溶、有序化转变等等，甚至回复、再结晶也属于固态转变。

分类：①扩散型相变；②非扩散型相变(切变型)；③过渡型相变。

例1(名词解释)：调幅分解
过饱和固溶体在一定温度下分解成结构相同的成分不同的两个相区，
按扩散-偏聚机制进行无应力形成，而由成分起伏直接成长形成新相的固态相变。

例2(名词解释)：一级相变、二级相变

一级相变：材料发生相变后，新旧两相化学势相同，但其一阶偏导数不等的相变。表层为化学成分和结构都完全改变。二级：新旧两相化学势相同，化学势的一阶偏导数也相同，但二阶

二、固态相变一般特点 偏导数不同。表层化学成分不变，结构改变

固态相变大多数为形核和生长的方式，由于此过程是在固态中进行，原子扩散速率甚低，且因新、旧相的比体积不同，其形核和生长不仅有界面能，还有因比体积差而产生的应变能，故固态相变往往不能达到平衡状态，而是通过非平衡转变形成亚稳相，且因形成时条件的不同，可能有不同的过渡相。固态相变形成的亚稳相类型有多种，如固溶体脱溶产物、马氏体和贝氏体等。

固态相变要走转变阻力小、做功少的道路。

考点1：固态转变驱动力

新旧两相自由能之差；阻力：新旧两相产生相界面引起界面自由能升高；新旧两相间因为比容不同导致的畸变能。

例：固态相变中，应变能产生的原因分析。

考点2：形核特点
①非均匀形核：
②核心的取向关系：
③共格界面与半共格界面。
发生固态相变时，新相的比容差不同于母相，新相的原子由母相结构变为新结构时，会产生出现膨胀或者收缩。新相的膨胀必然导致母相受压，而新相的收缩必然导致母相受拉。当原体积不变的情况下，在母相中产生附加的应变，从而产生应变能

考点3：成长特点

①惯习现象：固态相变中，新相成长时平行沿着某些平稳的晶面和晶向，以针状或片状的趋势发展
②共格成长与非共格成长；
③存在脱溶贯序。

例1(名词解释)惯习现象

例2(名词解释)脱溶贯序 用来描述脱溶过程(过饱和固溶体)中过渡相的析出顺序

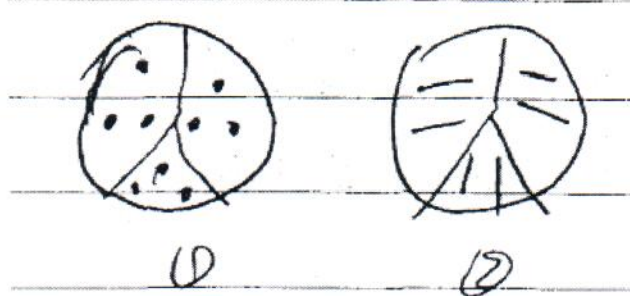
考点4：新生组织形态

应变能主导时优先形成饼状、圆片状；其次是针状；最后是球状。界面能主导时，优先形成球状、其次是针状、最后是片状。

P.S. 脱溶基本完成后，新相、母相基本达到平衡浓度、再延长时间或者提高温度会发生新相聚集长大和形貌转化。界面能主导：小粒子溶解、大粒子生长，半径越来越大， $\Delta p = 2\sigma/r$ (压应力)变小，脱溶相变稳定，向球形转变，脱溶相变处向平处扩散；应变能主导：球状→立方状→棒状片状→编织组织。



例 1：例题根据如图所示的析出物能够得到何种结论？



例 2：固态相变与液—固相变在形核、长大规律方面有何特点？分析这些特点对所形成的组织会产生什么影响？

考点 5：过渡相

所谓过渡相是指成分或结构或两者都处于新旧相之间的一种亚稳态相。

考点 6：非扩散转变——马氏体

例 1：马氏体相变定义及马氏体相变的基本特征。

例 2：固态相变一般特点？

三、固溶体脱溶

从过饱和固溶体中析出一个成分不同的新相或溶质原子富集的亚稳区过渡相的过程称为脱溶。新相的成分和结构始终与母相的不同。

考点 1：脱溶分类

脱溶方式可分为连续脱溶（连续沉淀）和不连续脱溶（不连续沉淀）两类。连续脱溶又分为均匀脱溶和不均匀脱溶（或称局部脱溶）。

(1) 连续/不连续

连续：母相成分连续变化，除了新旧相之间的界面，母相内部无新界面；

不连续：脱溶相一旦形成，其周围一定距离内母相均变成饱和状态，出现与原始成分截然不同的分界面。

(2) 普遍/局部

普遍：脱溶在整个固溶体上基本同时发生，新相分布均匀。

局部：脱溶相只在局部区域产生。

例：固溶体脱溶定义，说明连续脱溶与不连续脱溶母相成分变化特点。

考点 2：脱溶过程（Al-Cu 脱溶为例）

脱溶序列： α 相 \rightarrow GP 区 $\rightarrow \theta'' \rightarrow \theta' \rightarrow \theta$

GP 区：原子偏聚区； θ'' 、 θ' 是过渡相。

(1) GP 区（溶质原子偏聚区）

形成条件：在过饱和度较大或者过冷度较大的条件下形成。例如铜铝合金淬火。

结构变化： Al 点阵中的铜原子富集，与 α 相未分开，无界面，但由于 Al 、 Cu 半径不同，会



出现应变区。

组织形态：电镜下无法分辨，但存在应变区，引起衍射变化。

影响：时效温度上升，扩散加强，过饱和度、过冷度降低会导致 GP 区尺寸变大，密度变小。

(2) θ'' 相的形成（共格关系）

当时效温度较高时，脱溶过程就从 GP 区进一步发展（这里是将已经淬火的过饱和铜铝合金进行时效，升温过程）

θ'' 既可由基体 α 中生核并借助 GP 区溶解而长大，也可以由 GP 区转化而成。要借助电镜观察。

(3) θ' 的形成

非均匀形核，易在螺型位错线或是亚晶形核；

半共格关系，一般的光学显微镜可以观察到。

(4) θ 相形成

θ 相分布不均匀，易沿原晶界生核长大；

θ 既可以在 α 中长大，也可以在 θ' 中长大；

θ 相与旧相非共格、光学显微镜可观察。

(5) 总结

凡是既无 GP 区也没过渡相的合金，其时效效果差；

时效：金属或合金在大气温度下经过一段时间后，由于过饱和固溶体脱溶和晶格沉淀而使强度逐渐升高的现象。

GP 区大多共格，过渡相一般为共格、半共格，可均匀分布，也可非均匀分布；

从相变驱动力来看，平衡相最有利，但从相变阻力（应变能、界面能）来说，GP 区、过渡相都是力求沿阻力最小的途径而进行相变。

例：以 Al-Cu 4.5% 为例，分析过饱和固溶体脱溶分解过程，并讨论脱溶温度的影响。

考点 3：脱溶强化

(1) 时效强化现象

① 各合金硬度都随时间变化，先增大到峰值后有随时间逐渐降低（过时效）；

② 合金过饱和度越大，硬化越早（孕育期短），达到的峰值也大；

③ 硬度峰值位于 θ'' 充分发展阶段， θ' 出现后硬度开始降低。

④ 某些饱和度很低的合金峰值位于 θ' 相的位置。

⑤ 时效温度下降（过冷度变大），峰值越高，但到达峰值时间长。

(2) 脱溶强化机理：绕过机制跟切过机制

例：简述固溶强化、形变强化、细晶强化、弥散强化的机理。



考点4.

二、位错

例1. 在金属中掺入另一组元后会带来哪些微观结构上的变化。

(1) 微观结构的变化：在纯金属中引入另一组元而不会产生新相，说明形成的是固溶体。

由于溶质原子的溶入，会引起微观结构上的点阵畸变从而导致点阵常数发生变化。

对于置换固溶体，当原子半径 $r_B > r_A$ 时，(溶质 $r >$ 溶剂 r) 溶质原子周围点阵常数将变大，平均点阵常数增大。当 $r_B < r_A$ 时，溶质原子周围点阵常数将变小，对于间隙固溶体而言，点阵常数将随着溶质原子的溶入先是增大的，随后会发生局部偏聚和有序化过程，甚至出现超结构。

(2) 引起性能变化：对于固溶体而言，由于溶质原子的溶入通常使固溶体的强度硬度升高。

塑性降低 电阻率一般增加，电阻率系数降低，进而提高磁导率。

例2. 溶质原子的存在以及固溶度增加固溶合金中两种原子尺寸不同，引起点阵畸变，阻碍位错运动，使基体金属的变形抗力随之提高造成固溶强化。

考点5.

位错是晶体材料的一种内部微观金属缺陷，指原子的局部不规则排列。从几何角度看，位错属于一种线缺陷，可视为晶体中已滑移区与未滑移部分的分界线。位错线相氏量是描述位错实质的重要物理量，反映位错线所引起的点阵畸变的总程度，它表示晶体滑移时原子位移的大小和方向。

相氏量与位错线的相对关系① 一条位错线具有唯一的相氏量。它与位错线的大小和位置无关，只与位错线的类型有关，位错在晶体中运动或改变方向时其相氏量不变。相氏量与位错线的关系可以确定位错的类型。当相氏量垂直于位错线时为刃型，当相氏量平行于位错线时是螺型位错。

例6. 观察位错线，如果位错环全部不能都是沿着位错线滑移，则就只有半位错环，但可能是刃位错。当相氏量垂直于位错环所在的平面，即从平面到位错环。

例7. 支撑线，在晶体中出现两个或者多个滑移面沿着两个不同的滑移方向滑移。

多道滑移，晶体在外力作用下滑移时，由于晶体的本征力将使各个滑移系同时达到临界剪切滑移。晶体在外力作用下滑移时，由于晶体的本征力将使各个滑移系同时达到临界剪切滑移。多滑移也称为复滑移，从而使这些滑移同时或交替进行滑移。

考纲

例3. 纯金属中主要点缺陷，其产生原因

纯金属的主要类型是空位、间隙原子、空位对及空位与间隙原子对。

原因 ① 依靠热振动使原子脱离正常点阵位置而产生。空位、间隙原子或空位与间隙原子对都可通过热运动而形成。这种运动受热的控制，它的速率依赖于温度，随温度升高，其平衡态的浓度变大，增加运动速度。这种运动与点阵位置之间有互相作用，在适当条件下，位置与位置的互相作用的结果能产生点缺陷，如带空位的点阵位置运动时会放出空位。

② 加工时由于位错间有互相作用，在适当条件下，位错与位错的互相作用的结果能产生点缺陷，如带空位的点阵位置运动时会放出空位。

③ 辐照。高能粒子（ α 、 β 射线，高速电子等）轰击金属晶体时，点阵中的原子由于粒子轰击而被排斥出来，产生空位或间隙原子。

综上所述，当点缺陷出现时，晶体的自由能最低时的晶体质以平衡稳定状态，晶体中存在点缺陷时，叫做点缺陷平衡浓度。

④ 因为晶体中点缺陷存在，一方面造成点阵畸变，使内能升高，降低系统的热力学稳定性；另一方面，由于增大了原子排列的混乱程度，并改变了周围原子的振动频率，引起晶格热能和振动频率的改变，使晶格热能值增大，晶体自由能下降，增加了晶体的热力学稳定性。这两个相互矛盾的因素的改善，使晶体热能值增大，晶体自由能下降，增加了晶体的热力学稳定性。

值得指出的是晶体中的空位是一种热力学上平衡的缺陷。

专8.

例1 解释扩展层错。

答：①全位错分解 2个 Shockley (肖克莱) 不全位错与这种类型的 2个 Sh 位错一起形成扩展位错。

例2. 角平移层错。

当金属结构在堆垛时，没有严格按照堆垛顺序，形成堆垛层错。层错是一种晶格缺陷，它破坏了晶体的周期完整性，引起能量升高，通常把单位面积层错所增加的能量称为层错能，层错能出现不仅表现在改变了原子的次级键关系，几乎不产生阵列变化，所以层错能相对晶界能而言比较小。层错所能起作用的金属，层错出现的几率越大。

例4.

层错能高低对变速型位错滑移的影响。

①在变速过程中层错能高的金属，其高层错能使得全位错不易分解，遇到阻碍时可以继续运动，不会发生中断，直到与其他位错相遇形成缠结而停止。

②层错能低的金属，由于其全位错容易分解为两个不全位错，难以变速滑移，只能通过两个不全位错的运动来完成，所以位错运动的运动性差。

在变速型位错滑移过程中，由于同一滑移面上的两个异号的变速型位错能低的金属难以运动来完成，所以位错运动的运动性差。

在变速型位错滑移过程中，由于同一滑移面上的两个异号的变速型位错能低的金属难以运动来完成，所以位错运动的运动性差。

例6. 面内方位晶体位错的种类

例6.

	全位错	部分位错	肖克莱
位错类型	$\frac{a}{2} < 110 >$	$\frac{a}{3} < 111 >$	$\frac{a}{6} < 112 >$
位错线取向	任意	平行	平行
可能运动方式	滑移	攀移	无角位错滑移

专9. 例1. 原因①在晶体中点缺陷会引起滑移面畸变，产生内应力，形成应力场。

点缺陷的应力场与位错应力场发生相互作用，其结果是通过点缺陷运动而使点缺陷相位错形成半定分布，从而使体系的自由能达最低状态。

②柯尔莫提出了溶质原子与位错之间交互作用，在间隙固溶体中，由于间隙原子的半径比晶体间隙的半径大，与位错进行了弹性交互作用，结果间隙原子将在位错附近聚集，形成小原子集团，称为柯尔莫组织。柯尔莫组织的存在使位错运动困难，这是因为位错只有从气团中挣脱或者拖着气团一起前进才能继续运动，这需要外力作更多的功。这就是固溶强化机理。

③面内位错通常被吸引到面型位错的压缩区，或沿颗粒型位错线上使位错线

第8章 位错

(2) 由刃型位错的应力场导致在滑移面上以下，位错中心区域为压应力，而滑移面以上，在~~位错附近~~的区域为主拉应力，若有间隙原子(C)或比该原子尺寸大的置换原子存在就更差。位错又可使偏聚而型位错以下，以干涉或全反射运动从而降低位错的弹性能量降低，当位错产生的能量较低时，位错将不再运动，即对位错形成钉扎作用。位错要运动就必须在驱动力作用下才能挣脱，并且会因钉扎作用而振动，这就形成上下屈服。

例2 这种现象称为晶界强化或细胞强化。强度降低的主要原因在于晶界是位错运动的障碍之一。由于晶界两侧原子取向不同，因而其中一个晶粒的滑移不能直接进入第二个晶粒，就必须使位错在晶界附近聚集，就必须增大外力运动。以激发相邻晶粒的位错原运动。使滑移传播到相邻晶粒。晶界对位错的这种阻碍作用随晶粒细化而强化。

① 晶体生长过程中产生位错
② 在高温较快冷却及过冷时，晶体内部在大量过冷和空位空位聚集形成位错
③ 晶体内部由于晶面和微缺陷的附近，由于热应力和组织应力的作用，位错运动而使晶界从而导致晶体移动而形成位错

位错密度较高的增加 沿生长方向 及 变大

晶粒细化可以通过①增加过冷度 加热和冷却，运动促进形核；金属溶液冷却同时加热和振动或搅拌作用得到细小晶粒。同时也可以通过增大形变或再结晶或细化的方法，也可提高钢的韧性

第九章

例2 (1) 堆垛层错与不全位错的关系：在实际晶体结构中常排列的正常堆垛顺序有~~部分至~~破坏和错排，成为~~堆~~堆垛层错。形成层错时并不产生点阵畸变，但是它破坏了晶体的完整性，降低其强度。若位错层错不发生在晶体的整个表面上而是部分区域存在，那么层错的完整性则仅限于存在层错的区域，即不等于阵列中的不全位错。

扩散

考题

例1 稳定扩散是指扩散系统中，任一物质在任一时刻流入的物质质量等于流出的物质质量相等，即任一时刻的浓度不随时间变化。

例2. 菲克第一定律数学表达式为 $J = -D \frac{dp}{dx}$ 式中 J 为扩散通量，表示单位时间通过垂直于扩散方向的单位面积的扩散物质质量 $\text{kg}/(\text{m}^2 \cdot \text{s})$ ； D 为扩散系数 m^2/s ； p 扩散物质的质量浓度 kg/m^3 为浓度梯度，负号表示扩散方向与浓度梯度方向相反。

$$\frac{\text{kg}/\text{m}^3}{\text{m}} \cdot \text{m}^2/\text{s} = \text{kg}/(\text{m}^2 \cdot \text{s})$$

多了扩散激活能：必须由额外能量来克服才能使才能实现原子从一个平衡位置到另一个平衡位置的基本跃迁，这部分能量称为扩散激活能。

例3 扩散系数：根据菲克第一定律，在单位时间内通过垂直于扩散方向的单位截面面积的物质流量（称扩散通量，用 J 表示）与该截面处的浓度成比，也就是说浓度越大，扩散通量越大，称之为扩散系数 D ，其中 D 就是扩散系数 cm^2/s 为扩散物质。
的数学表达式为 $J = -D \frac{dc}{dx}$ 其中 D 就是扩散系数 cm^2/s 为扩散物质。它相当于浓度梯度为 1 时的扩散通量， D 越大扩散系数 D 是描述扩散速度的重要物理量。它相当于浓度梯度为 1 时的扩散通量， D 越大扩散速度越快。对于固态金属中的扩散扩散， D 值都挺低的。例如 100°C 时碳在 $\text{Fe}-\text{Ni}$ 合金中的扩散系数 D 仅为 $10 \text{ cm}^2/\text{s}$ 数量级。

例4 此判断不对。一般认为扩散激活能的大小与温度无关，只与扩散机制有关，并非如此。温度升高时，原子热激发能越大，越容易发生迁移，扩散系数也越大。

例5 杂质原子的扩散会使其化学成分发生变化，杂质原子的引入使系统热力学稳定性降低从而降低扩散激活能，①生成空位和填隙。晶体中存在着空位，这些空位的存在使原子迁移更容易。在间隙扩散机制中，原子从一个最近邻的间隙位置迁移至另一个间隙位置达到扩散的目的。所以杂质原子完全在空位中提高扩散系数又填隙降低了扩散系数这是一个运动平衡。

例6 因为晶体结构对扩散系数有很大的影响，而铁素体为体心立方结构，奥氏体为面心立方结构，由体心立方结构的致密度比面心立方的致密度小，原于更难于迁移，所以碳在铁素体中的扩散系数比在奥氏体中扩散系数更大。

例7. 碳原子深度入深度大，碳原子在其中形成的是间隙固溶体，通过间隙机制扩散；而铬原子与铁形成固溶体，以置换机制进行扩散。由空位机制的扩散激活能除了需要原子越过缺陷的位置外，还伴随着扩散增加了一定的能量耗散，所以碳原子更容易扩散的深入深度也更大。

例8. 铁原子经过了塑性变形的金属中扩散更为容易。因为经过塑性变形的金属产生大量的位错，位错处的扩散激活能小，位错起着高扩散通道的作用，因此铁原子在经过塑性变形后的金属中扩散更加容易。

例 10 (2) 影响金属材料的因素有固溶体类型(扩散机制、空位扩散、间隙扩散) 固体化合物类型(致密度)

⑤ 余氯前化率成反比

① 温度是影响扩散的主要因素，温度越高，原子热运动能越大，越容易发生迁移扩散。

香港S也很大：12-14吋的17吋的影視鏡頭一目了然；電視打開之後的一般尺寸。

④圆锥体类型。圆锥圆锥体的扩散系数一般较小，圆锥体类型变化

⑤蛋白纤维蛋白对扩散有影响。当蛋白纤维的改变后，扩散系数也发生改变。

④ 鋼筋夾頭半，若 U 、 Q_L 、 Q_S 、 Q_u 分別表示圓鋼、螺紋鋼、扁鐵和方鋼的總截面， D_L 、 D_S 、 V_B 分別表示

表面系数具有扩散系数，例如一般规律是 $Q_L > Q_B > Q_S$ 但由 $D_s > D_B > D_L$

⑤ 化学成分 - 自交籽扩散黑幽单孢真菌

七

石墨原子以间隙扩散机制扩散，因为 Fe-C 合金为间隙固溶体，石墨原子半径比较小，间隙扩散不会引起形变。

第二部分：关于Fe-Fe₃C合金的扩散机制，由于Fe-Fe₃C合金为置换固溶体，碳原子半径大，所以通过较大的空位扩散。镍原子以空位扩散机制进行扩散，因为Fe-Fe₃C合金为置换固溶体，镍原子半径大，所以通过较小的空位扩散。

间隙机制从一个间隙位置迁移到邻近的间隙位置，因为这种迁移将导致新的间隙位置。

碳原子具有很大的扩散系数，因为定位缺陷吸收除了需要原子跃迁到新的晶格位置之外，还必须重新排列晶格。

提高强度成能。根据 $D = D_0 \exp\left(-\frac{E}{kT}\right)$ 可知，温度越大，强度越小，所以（原子尺度大于开尔文表

三九五

第十五章
首先定律表明在有浓度梯度的情况下不会自由向浓度低的地方扩散。这是

虽然大量的宏观现象会体现出倒经验证规律，但是并不是普遍适用。在建筑时会发现浓度梯度扩散的宏观现象会呈现出倒经验证规律，但是并不是普遍适用。在建筑时会发现浓度梯度扩散的宏观现象会呈现出倒经验证规律，但是并不是普遍适用。

浓度高而方向扩散，产生成分的偏聚而不是成分均

例2. 热力学、扩散的驱动力是化学势梯度。

7. 例 1. 网络扩散与阶扩散的主要区别是前者扩散程度由浓度有关, 后者与空泡浓度无关。

一般间隙扩散系数大于富换扩散系数。因为间隙扩散速率与间隙原子定向流动无关，扩散系数

扩散中溶剂效应原子半径相差不太大的相邻原子置换的互连扩散，叫做扩散中溶剂效应扩散。

通过扩散使固溶体内的杂质原子超过固溶极限而不断形成新相的扩散型晶粒生长。通过扩散使固溶体内的杂质原子超过固溶极限而不断形成新相的扩散型晶粒生长。

注释 称为反向扩散

④ 临界晶核

五：第四章

在结晶开始时，晶胚的形成与长大需要靠系统能量起伏提供能量；当晶胚的尺寸变大，则其长大将导致体系自由能增加，故这种晶胚不稳定。当尺寸大时，晶胚的长大使体系自由能降低，可以形成稳定的晶核，此时晶胚就形成稳定的晶核称为临界晶核。

② 临界半径是半径临界晶核的半径。

③ 形成功 G_f 是指形成一个晶胚生长的自由能变化，这个能量是由体系能量起伏提供的。

④ 形核率是指单位时间和单位体积内形成的晶核数。形核率即为扩散速率 (见教材)

⑤ 接触角的大小主要与晶核与基底之间的界面能有关，界面能越大，接触角越大。

例 2.

① 典型金属 (如铁) 在液相中单独生长时呈粗大造型，即因液固相之间的界面从微观来看是高低不平的，在原子层厚度的连接处。但是由于液层很薄，宏观看起来界面是伴平面，不出现曲折的小平面。所以典型金属 (如铁) 生长后的形貌呈外形均匀的球形瘤或枝晶。

② 典型的非金属 (如硅、石墨) 在液相中单独生长时呈光滑型等轴。因为液相，不为固相，固相的表面是由完整的原子密排面。液固两相截然分离，所以是光滑的。但是在宏观上往往由不同级别的小平面组成。~~故量级~~ 所以典型的非金属 (如硅、石墨) 生长后的形貌呈规则多边形，有清晰的层次。

例 3. 液固过渡晶核如何进入固体质？

① 空位：液固过渡至固相中扩散杂质原子填充的位置被附近的已被捕获的原子扩散 (理解见书)

由此在原晶体内就出现了空位。

② 位错：当生长速度受压应力抑制时，晶体生长过程中出现位错，比如不对称生长的孪生面之间不能完全匹配。

③ 亚晶界和亚晶带：晶体发展过程中局部枝晶不能平均对称生长会形成亚晶带；而型位错不规则形成亚晶；液体液固界面中的胞壁也是一种亚晶组织。

第六节

例 1. 相图 ① 纯金属和单相固溶体的结晶都需要过冷。即 ΔH_f ② 它们在结晶过程中都需要过冷的原因不同：对纯金属而言，其属于恒温结晶，在恒温下进行，其形成功需要能量起伏和结构起伏；对于单相固溶体金属首先固溶体的凝固在一个温度区间内进行，这时液固两相随温度下降不断发生变化，其次，其形成时不只需要能量起伏和结构起伏，而且还需要成核起伏。

例 2. 无成分过冷时，固溶体以面状生长，形成球形瘤；有较小过冷度时，形成胞状组织，有较大过冷度时，形成树枝状组织。正温度即使存在成分过冷也会以~~树枝~~状生长。

例 3.

成分偏析是一个固溶体因成分不均而产生的现象。根据流动时液体生长而不同，可分为枝晶偏析、胞状偏析、晶界偏析。

① 枝晶偏析（晶内偏析）：流速越快，液体的对流扩散越充分，值越小 ($k_c < 1$)，枝晶偏析越严重。

② 胞状偏析：成分过冷比较小时，固溶体以胞状方式生长。对于 $k_c < 1$ 的合金，在凹陷的胞状处将富集溶质。

这种固溶体和胞状处的不均现象称为胞状偏析，可以通过高温扩散退火消除。

③ 晶界偏析：界面处是液体最后凝固的地方，对于 $k_c < 1$ 的合金，最先凝固的液体中杂质含量高，因此，界面处会产生富集杂质，形成晶界偏析。

伪共晶与富共晶

在平衡共晶条件下，只有共晶成分的合金才能得到全部的共晶组织，然而在非平衡共晶条件下，某些亚共晶或过共晶的合金也能得到全部的共晶组织，这种由非共晶成分得到的共晶组织称为伪共晶。

由于非平衡共晶数量较少，通常共晶组织中的 d 相依存于初生 α 相生长，~~将共晶组织中的 d 相分离~~ 将共晶组织中另一相推至界面附近的温带处，从而使共晶组织相间的组织得到分离。这样两相分离的共晶组织分离。

例 6.

例 2 逆圆晶粒生长

例13. 再结晶是把金属通过加热来转变回其固有的过程。再结晶是指将冷变形后的金属加热到一定温度之后，在原变形组织中重新产生新的无变形晶粒，而冷变形也发生了明显变化并恢复到变形之前的组织。因为冷变形的产物与其母相是不同的，而再结晶的产物与其母相是相同的，所以冷变形的组织是多孔的，而再结晶不是孔隙。

再结晶的动力不足。结晶的动力是固液界面的体积自由能差，再结晶的动力是变形金属内部储存的弹性势能，即塑性变形所引起的弹性势能，储存的弹性势能在经固火后未被释放的储存能，即塑性变形所引起的弹性势能，储存的弹性势能在经固火后未被释放的储存能。

例14. 该图显示了运动力 还原两相的自由能差值，扩散化学势差值。

~~扩散~~ 扩散系数 - - - 活度能

图示说明再结晶区的温度是固溶体型/生长期的反相区

例15. 再结晶是在已变形温度下的基底中出现新的无变形的晶粒的成核和长大过程。这个过程的速率与塑性变形时的储能能。二次再结晶~~的速率~~是少数区域在细胞消耗并形成长大而产生的。

再结晶于二次再结晶区：前者随伟小晶粒尺寸均匀生长，而后者个别晶粒之异生长。

从工艺控制来看，造成二次再结晶的原因主要是晶粒长大过程中，晶界被第二相颗粒和杂质原子阻碍而造成的。

例16. 固火过程是冷变形金属在退火时发生组织性能变化的早期阶段，在此阶段的物理力学性能随温度和时间而变化，固火是一个弛豫的过程。

(1) 固火过程可分为①无害害期：在一定温度时，其时效速度很大，随后逐渐变慢，直至趋近于零。②有害害期：有一个温度，时效速度有一极限值，这个温度叫过热，这个极限值在增加，而达到这一极限值所需时间越短。③预变而呈越大，开始时效速度很快，如在100℃时，而在400℃时，时效速度减慢。④固火过程使变形引起的宏观弹性全部消除，微观弹性为部分消除。⑤固火阶段一般力学性能不大，硬度强度仅稍有降低，塑性稍有提高，某些物理性能有较大变化，电阻率显著降低，密度减小。⑥变形储能能在固火阶段部分释放。

(2) 再结晶过程是晶体形核和长大过程，即通过在变形组织的基础上产生新的无变形的晶粒，并逐渐长大形成等轴晶粒，从而取代全部变形组织而过热，不过再结晶的阶段不是晶体，其晶体结构并未改变。再结晶结构并未改变，特点：①组织发粗化，由变形组织晶粒变大为固火的无变形的晶粒②力学再结晶结构并未改变，特点：①组织发粗化，由变形组织晶粒变大为固火的无变形的晶粒②力学性能无变化，强度、硬度、延展性降低，塑性提高，从状态至变形前的状态③变形储能能在再结晶过程中无能变化，强度、硬度、延展性降低④晶粒长大⑤伴随着晶粒长大还有其他方面的变化如微孔颗粒

例17. 当将淬火的金属加热到一定温度后，在原变形组织中重新产生了无变形的晶粒，而性能也随温度的变化并恢复到变形前的状况，这个过程称为再结晶，再结晶只是组织变化，没有缺陷消失，张应力是原变形储能能。②再结晶是从非晶态的液相或固态非晶态中产生晶体的过程这是一种组织变化，张应力储存能。③固火机理是一种旧组织在温度压力变化时，转变为另一种或多种旧组织的组织变化是化学能。④再结晶是由于组织在温度压力变化时，组织有序化发生改变，并且具有一定的热力学性质特征，其张应力也是高张应力的组织变化。

例 9.

- (1) 从图-①到图-②的成因分析 ① 指示 | 过冷度：形成率和长大速率均~~随过冷度的增加而增加~~，过冷度、形成率和长大速率与温度呈反比。但形成率的增加大于长大速率的增加，因而过冷度越大，晶核越细。
② 变质处理：促进形成数量的较少的粗大枝晶来阻碍细晶；③ 热运动和搅动：一方面使颗粒的热输入能量促进晶核提前形成，一方面使生长中的枝晶破碎，使晶核表面增加，从而细化晶粒。
- (2) 固态相变角度分析 ① 热处理：降低过冷度，使晶界之长大速率降低，或者采用过冷度法，改善过冷度使之细化。
② 超下料：采用锻造或轧制等方法可以使大块状破碎变为细小颗粒。
- (3) 再结晶 ① 温度~~过高~~：固态过冷的再结晶温度与变形程度/加热速度有关，
② 增大变形程度，增大变形量，使变形温度过低，晶界变形度，从而储存的能量增加，导致形成率和长大速率都增加，而前者的速率平缓，使再结晶晶粒变细。
③ 使原坯细小且尺寸均匀，由于细晶粒在取向晶界而温度往往又是再结晶形核的有利地区，故原坯的纯金属经再结晶退火后价格得到降低。
④ 添加杂质元素降低原因：一方面增加形核的储存能，另一方面对晶界起钉扎作用，从而细化晶粒。

六、弹性及

要点1

3. 弹性：当外力撤消后，物体能恢复到原来的形状，就称这样的物体为弹性体。物体恢复的形变称为弹性形变。

4. 弹性：在弹性范围内，应变能等于应力的现象称为弹性。

5. 弹性形变能：固体受外力作用而变形，在变形过程中，外力所作的功转化为储存在固体内的能量，随外力逐渐减小，变形逐渐减小，固体会释放出部分能量而作功，这部分能量为弹性变形能。

要点2. (或一个晶体的两个面)

例1. 穿晶：指两个晶体共一个公共晶面（即半键取向关系）构成界面又称的位向关系。这两个晶体就称为穿晶。

此公共晶面就称穿晶面。

特征：穿晶面与基体具有相同的点阵结构，两边的同一平面为穿晶面对称，穿晶面上的原子是共用的。穿晶面两面是穿晶面和穿晶方向，不同的结构具有不同的穿晶面和穿晶方向。

例2.

滑移

晶体中位向

晶体中已滑移部分未滑移部分

位向相同

位移的量

原子的位移是沿滑移面的上原子间
距离的整数倍且在同一滑移面上，位移量大

对塑性变形
的贡献大

对塑性变形贡献很大，即变形量
大

变形应力

有确定的临界分力

变形条件

一般情况下先发生滑移变形

变形机制

滑移是位错运动的结果

孪生

孪晶和基体的位向不同因而部分之间有关联的位向关系

原子应移小于孪生方向的原子间距，一般为孪生方向的1/4

对塑性变形贡献较小，即变形量小。

所需分切应力一般高于滑移的分切应力

滑移变形很难进行时，或者晶体对称性很低，变形速度慢，加载速率较高时

孪生部分位错运动的结果

例3

$$bcc \quad \{110\} \bar{3} 6 \times <111>_2 = 12 + 8123 \times <111>_0 + \{123\} \times <111> = 48$$

$$fcc \quad \{111\} \bar{4} 4 \times <110>_3 = 12$$

$$hcp \quad \{0001\} \bar{3} 1 \times <1120>_3 = 3$$

总结：

施密特定律

① 临界分切应力：当外力在其一滑移面上的分切应力值达到某一临界值时，该滑移系首先发生滑移，此时的分切应力称为临界分切应力。

② 施密特图：拉伸变形时能够引起晶体滑移的分切应力的大小，取决于该滑移面和晶面的空间位置(x和y)及拉伸变形的关系 $\sigma_x = \frac{1}{2} \mu \epsilon_{xy} E_{sp}$ ，(μ为剪切模量，E_{sp}为取向因子，取向因子越大，则分切应力越小)

例15

(1) 试求与法向成 φ 角的滑移线，设 $\varphi = 60^\circ$ 为 $(\bar{1}11)$ 面法线于 $[001]$ 方向时， $\theta = 45^\circ$ ， $\alpha = [101]$ 方向与 $[001]$ 方向夹角

$$\text{则 } \cos \varphi = \frac{1}{\sqrt{3}} = \frac{\sqrt{3}}{3} \quad \cos \theta = \frac{1}{\sqrt{2}} = \frac{\sqrt{2}}{2}$$

$$G = \frac{1}{\sqrt{3}} \times \frac{\sqrt{2}}{2} = \sqrt{6} \text{ MPa} \quad G_s = \frac{G}{15446} = \frac{1}{\sqrt{3} \times F_2} = 2.45 \text{ MPa}$$

(2) 由于滑移线与 $[110]$ 和 $[001]$ 方向夹角为 0° ，而 $\theta = 0^\circ$ ， $\alpha = 0^\circ$ ，故外方位为 $[001]$ 时，在 (110) 方向不会产生滑移。

例4. 例3.

霍尔佩奇公式：Hall-Petch (霍尔-佩奇公式) 表示屈服强度与晶粒尺寸之间的关系，其表达式为 $G_s = G_0 + K \cdot d^{-\frac{1}{2}}$ 。霍尔佩奇公式说明，多晶体的强度随其晶粒细化提高。

式中： G_0 和 K 为材料有关的常数。

例4. (1) 晶粒细的塑性变形量越大，晶粒粗的塑性变形量越小，相同体积内晶粒越细，则变形量在晶粒细的晶粒处进行，单位体积内变形的应变能也减少，有可能在晶界承受较大的变形量且晶界处，裂纹不易传播在晶界处扩散速度能慢，晶粒之间变形协调，故晶粒越细，金属的塑性越好。

(2) ($G = G_0 + Kd^{-\frac{1}{2}}$) 为常数，变形形量相同，说明位移量相同，谁承受的力越大，变形形量越大。

在塑性变形相同情况下，晶粒细的金属变形所消耗的变形功更大。因为晶粒细化，单位体积内晶界数增多，当受到外力时，金属在晶界处首先产生应力集中，这时需要增加外力才能使晶粒体进一步变形，从而使得增力增加。同时根据霍尔佩奇公式 $G_s = G_0 + Kd^{-\frac{1}{2}}$ 可知晶粒越细，屈服强度越大，即在塑性变形量相同时，变形功消耗的能量更大。

(3) 高温软化的金属要经过再结晶，因为和其他条件相同的情况下，金属的原始晶粒越细，其变形抗力越大，变形而储存的能量越高，再结晶温度则较低，此外，晶界是再结晶核的有利场所，故晶粒越细，合金的再结晶形成率和长大速率均增加，所以新晶粒更细，再结晶温度也降低，即产生再结晶。

例15. $G_s = G_0 + Kd^{-\frac{1}{2}}$ d 为直径 $\pi \cdot \frac{d^2}{4} = A \Rightarrow d = (\frac{4A}{\pi})^{\frac{1}{2}}$

$$\begin{cases} G_{s1} = G_0 + Kd_1^{-\frac{1}{2}} = 100 \text{ MPa} \\ G_{s2} = G_0 + Kd_2^{-\frac{1}{2}} = 200 \text{ MPa} \end{cases} \quad K = 25\sqrt{2} \pi^{-\frac{1}{2}} \text{ MPa} \cdot \text{mm}^{-\frac{1}{2}}$$

$$G_0 = 50 \text{ MPa}$$

$$\text{当 } A = 256 \text{ mm}^2 \Rightarrow d_3 = (\frac{4A}{\pi})^{\frac{1}{2}}$$

$$G_{s3} = G_0 + Kd_3^{-\frac{1}{2}} = 150 \text{ MPa}$$

第五章

例1. 屈服强度

屈服强度又称为屈服极限，常用符号 σ_s ，是材料屈服的临界应力值。

当应力超过弹性极限后，进入屈服阶段后，变形不断增加，此时除产生塑性变形外，还产生微塑性变形。当应力达到 σ_s 后，塑性变形急剧增加，应力也大致恒定，波动这种现象称为屈服。这一阶段的最大最小应力分界称为上屈服点和下屈服点。由于下屈服点的数据较不稳定，因此以它作为材料的抗力指标，称为屈服或屈服强度。

通常用作材料强度力学机制强度的评价指标，是材料的实际使用极限。因为在应力超过材料屈服极限后产生颈缩，应力降低，使材料破碎，不能正常使用。

例2. 因为低碳钢中存在C、N等溶质原子，溶质原子与位错互相作用形成溶质原子团，即柯氏气团。它对位错有钉扎作用，当对低碳钢进行拉伸时，位错要从气团中挣脱出来需要较大的力，这就形成了上屈服；而一旦从气团中挣脱以后，位错的滑移就比较容易，因此应力降低，出现了下屈服。

例3.

根据溶质原子在溶剂晶格中的不同位置可将固溶体分为置换固溶体与间隙固溶体两种。置换固溶体中溶质原子替换溶剂点阵结构上的原子；间隙固溶体中溶质原子进入溶剂晶格的间隙之中。固溶体随着溶质原子的进入晶格而发生晶格畸变，又随着晶格畸变增大而使位错运动阻力增加。金属的滑移变形变得困难，从而提高合金的强度和硬度。这种溶质原子的存在及其固溶度的增加使得基体金属的变形抗力以及提高的机率称为固溶强化。固溶强化是合金化金属的一种重要形式，在溶质含量适当时，可显著提高材料的强度和硬度，而塑性和韧性没有明显降低。

主要机制：①柯氏气团 ②钉锁作用。相互作用。

柯氏气团是指溶质原子与位错之间的小距离作用。在间隙固溶体中，由于间隙原子的半径比晶格间隙大，位错进行弹性相互作用，使间隙原子将位错附近聚集，形成小原子集团。称柯氏气团。

主要机制：①钉锁作用。主要是溶质原子与位错的弹性相互作用，化裁剪作用和滑移运动，这就需要外力作更多的功。

一般认为固溶体强化是由多方面原因的作用，主要有溶质原子与位错的弹性相互作用，化裁剪作用和滑移运动，以及当固溶体产生塑性变形时，位错运动改变了溶质原子在固溶体中的位置或偏聚位置，从而增加了滑移的变形阻力，因此也增加了滑移的变形的阻力。

例4. 金属相复合一般在固溶体基体上分布有一相或几种其他相，可能是金属间化合物，也可能是另一种固溶体。一般在固溶体基体上分布有一相或几种其他相，可能是金属间化合物，也可能是另一种固溶体。分布方式有三种：①颗粒型复合：基体相 第二相尺寸同一量级；②弥散型复合：基体相 第二相尺寸相差很大。

颗粒型复合的塑性变形。

①第二相一般会使金属强度小塑性大，第二相的强度高，颗粒越细小，强化作用越大。第二相尺寸越大，第二相粒子的强化作用是通过其对位错的阻碍作用表现出来的，通常单晶体第二相粒子分散。

一种 不可变形的 位错只能绕过第二相的应力场。

一种 可变形的 位错通过第二相时可以加速

张6 例2. 对于纯金属单晶体，使其产生加工硬化的主要原因是位错运动。位错运动及位错的交互作用，以及位错反生三个方面：首先对于位错增加来说，位错源运动使位错密度增大；其次位错运动时会受到阻碍，而且在位错之间发生交互作用的情况下会形成塞。同时位错也会使位错阻力增大；第二，位错之间还会发生位错反应，从而造成位错的塞，使位错运动阻力进一步增大。

综上三个方面使位错阻力增大从而产生加工硬化。

~~例3. 对于纯金属多晶体，其加工硬化的机理的基础是出了晶界运动时位错塞和作用其位错运动阻力进一步增大。~~

~~例3. 对于纯金属多晶体，首先若基体相为固溶体，其加工硬化机理类似于纯金属单晶体，即位错运动方面。首先两个方面：一方面溶质原子会与位错发生弹性作用形成沉淀化合物，另一方面溶质原子会与位错发生交互作用形成化合物。这两个方面的原因为位错运动阻力进一步增大。~~

~~其次当第二相为碳化物颗粒时，其加工硬化机理于固溶体完全不同，还有在分散强化机制即奥氏体机制和位错切割第二相机制使位错运动阻力进一步增大。~~

变形微观组织

张7. ~~变形温度、形变速度对组织的影响~~

例1. (1) 形变量的增加：每个晶粒内部出现大量的滑移带或孪晶带。随着变形量的增加，原来的单晶体将逐渐演化成其变形方向的伸长。当变形量很大时晶粒变得模糊不清，晶粒以难以分辨的区域失去一片片微小的区域。经过一定的变形后，晶体中的位错线通过运动交互作用，开始呈现紊乱而不均匀分布，并形成位错缠结。进一步增加变形量时，大量位错发生聚集，并以缠结的位错组成胞状组织，其中离散的位错缠结主要集中在晶界的周围，构成胞壁。而脱胎位错密度也很高。经过大变形之后，强度和硬度显著提高，而塑性则很快下降。

(2) 变形的温度的升高：形变温度提高，由于原子运动能力的增大，以及原子沿晶界扩散速率的加快，使强度显著提高，而塑性则很快下降。

由于原子运动能力的增大，即使施加很小的应力，只要作用的时间足够长，也会发现晶粒边界相对滑动，从而导致晶粒边界的速度变慢，亚晶界加快生长，延缓退火裂纹，甚至出现应力集中而造成组织，为了提高和塑性下降的速度都变慢。

~~随变形程度的增加使得晶界很多空间取向不相同，这一现象~~

例2. 在塑性变形，多晶体中原子取向不相同的各个晶粒在空间取向上呈现一定规律的规律，这一现象称为择优取向。这种组织状态则称为纤维组织。

根据加工变形方式的不同，可分为两种模型：拉丝时形成的组织称为丝织组织，其主要特征为各晶粒的某一晶向大致与拉丝方向平行；轧制时形成的组织称为板组织，其主要特征为各晶粒的某一晶向和轴向分别平行于轧面与轧向平行。

表示方法：丝织组织表示为 $\langle U V W \rangle$ 如体心立方的丝织组织表示为 $\langle 110 \rangle$ 板组织表示为 $\{ HKL \}$

$\langle U V W \rangle$ 表示经轧制变形后，晶粒之 $\{ HKL \}$ 面朝向平行于轧面，晶粒之 $\langle U V W \rangle$ 方向转到平行于轧面和体心立方组织表示为 $\langle 110 \rangle \langle 011 \rangle$

产生原因：金属在形变时，晶体内的滑移面会转动，使滑移面逐渐转动并平行于各个晶粒的滑移面（指两个相邻的晶面和晶向）在变形较大时，通过转动的晶面平行于轧面，也就是说，原来的各个晶粒是任意取向的。现由于晶粒的转动使多个晶粒取向完全一致，这就形成了晶体的择优取向即形成了纤维组织。显然，变形量越大，择优取向的程度越大。表现出一定的规律的规律。

随形或成形的另一种方法是控制加工和热处理工艺。得到只有轻微组织的加工组织以及由细晶粒的再结晶组织，即改变轧板的生产工艺。这个中间阶段的组织在最终变形时可以控制组织，因此可以利用交叉轧制的方法。控制轧金薄板热轧过程或通过交叉轧制使金属的退火组织可以减少变形组织的形成。

热处理工艺：冷加工中再结晶退火和最后的退火。

专8.

控制加工 双轴轧制方法及金属的退火方向。

例12. (1) 单晶体的应力 - 应变曲线如图。各阶段如图中标注所示。

I阶段：滑移阶段。当达到晶体的后产生相当大的变形。此段近乎直线其余部分， $\epsilon = \dot{\epsilon}t$ 或 $\theta = \dot{\theta}t$ 即硬化率低。

II阶段：线性硬化阶段。随着应变量增加，应力线性增长。此段也是直线，且余率较低，力的硬化十分显著。

III阶段：抛物线型硬化阶段：随着应变量增加，应力上升缓慢。呈抛物线型，且逐渐下降。

各个晶体实际曲线因其晶体结构类型、晶体位向、杂质含量。

以及试验温度等因素的不同有所变化。但总的说，其基本特征相同，只是各个阶段的长短，通过正确的运动增加和交互作用而受累影响，甚至某一阶段可能不再出现。

(2) 第三阶段是抛物线型硬化阶段，主要机制之一是在累积层的杂质位错滑移。累积层前的动力集中得以释放，故使硬化率下降。可见，越容易滑移的材料第三阶段开始越早。

铝的层错能高，位错一般不能扩展，其杂质位错容易滑移；不锈钢层错能很低，位错通常会扩展，不容易滑移。比较起来铝的形变第三阶段开始得更早。

例13. 铜在冲压成型时会因屈服延伸而产生不规则变型(吕德斯带)而使工作表面粗糙不平。

产生这一屈服现象的原因主要是由于间隙原子在位错与金属间-层错位错具有很大的互相作用，形成桥状位错。位错被带入孔内扎住，一般压下不能脱钩，从而形成上下屈服现象。

当加载后立即重新加载延伸时，由于位错已经脱钩分离故不出现屈服现象。基于此原因生产时通常将薄板在冲压之前先经一道微量的冷轧(通常为1% - 2%压下量)，使屈服消除，随后进行冲压加工，就可以保证工作表面的平滑光洁。

例14. 时效处理 指合金工件经固溶处理，冷塑性变形或铸造锻造成后，在较高的温度放置或室温保持。

其性能、形状尺寸随时间而变化的热处理工艺。

若采用将工件加热到较高温度，并较长时间进行时效处理，则这种时效称为自然时效处理。

若将工件放置在室温或自然条件下，长时间存在而发生时效现象，称为自然时效处理。

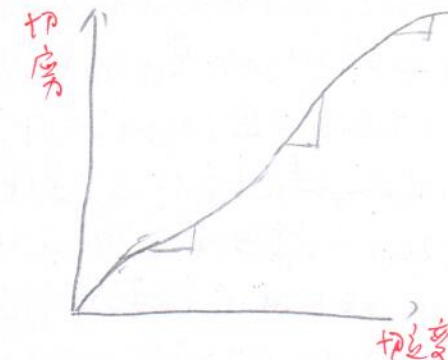
时效处理的目的，消除工作的内应力，稳定组织和尺寸，改善机械性能。

时效处理的原理，消除工作的内应力，降低低的合金元素，通过高温固溶体淬火处理，形成过饱和固溶体。

在金属基体中加入某些元素，其固溶体分解，合金元素以一定方式析出，弥散分布在基体中形成沉淀相，从而提高合金强度。

沉淀相能有效阻止晶界和位错的运动，从而提高合金强度。

实际应用过程中，为消除时效强化所采用的处理方法是时效回火处理或重新固溶处理。



通过时效回火处理或重新固溶处理，随沉淀脱溶产生的第二相重新溶入固溶体中，所以第二相的位错环及原子错排也随着消失，从而消除时效强化。但是，当沉淀析出相已转变为稳定相时，则不能利用固溶处理方法。

例 6. 位错是晶体材料的一种内部微观缺陷，即原子的局部不规则排列（晶体学缺陷）。从几何角度看，位错属于一种线缺陷，取为晶体中已滑移储存于尚未滑移部分的分界线，其存在对材料的物理性能尤其是力学性能具有极大的影响。

以低碳钢而言，其屈服是由于低碳钢中的碳之间隙原子与钢基体中的位错互相作用形成滑移原生子晶（即可逆气团）。此气团对位错有钉扎作用，要使位错脱离原生子晶，需较大应力作用，这表现为应力—应变曲线的上屈服点。位错脱去钉扎后，继续滑移所需应力将减小，表现为应力—应变曲线的下屈服点和水平颈所

当继续变形时，位错数量大幅增加，由于冷变形在塑性变形过程中形成大量不可动位错。

从而导致其对可动位错的阻力增大，导致材料继续变形困难，从而发生了加工硬化。

例 7.

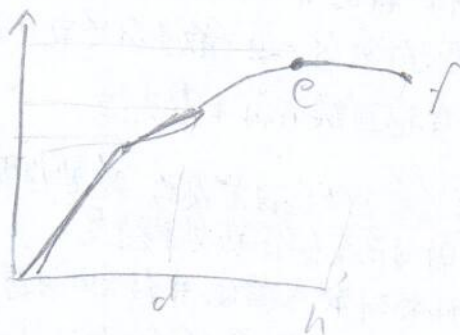
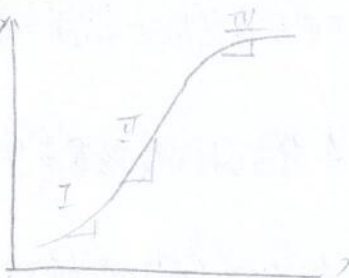
与未变形的材料相比，冷变形材料的屈服后强度提高，被压缩后形成纤维状组织和带状组织，延伸率较小，且产生侧滑移带。进行完全变形的金属还出现孪晶带，甚至粗大带，且晶粒择优取向（织构）。产生内应力，出现了加工硬化现象。

物理和力学性能变化显著，如强度和硬度升高，屈服率升高，塑性和韧性下降等。

例 8. P194.

单晶属密排立方结构，单晶的弹性应力—应变曲线的加工阶段很长，以至于阶段还未充分发展试样就已断裂。

而多晶的塑性变形由于晶界的阻碍作用和晶粒之间的力的匹配，虽然并不强但以单一滑移系运动而必须有各组滑移同时作用，因此其应力—应变曲线不会出现单晶的弹性阶段和滑移带阶段的仅有线性硬化和抛物线型硬化两个阶段。通常其曲线较陡，且在单晶的应力—应变曲线上方，单晶的弹性应力变化量较小，而多晶的弹性量会很大。



专九.

- 例11. 以金属材料为例，金属材料的塑性行为（拉伸变形）通常经历了弹性阶段、塑性变形阶段、到最终屈服强度极限而进入强塑性阶段。其机理包括：
- ① 金属材料的每个单晶四面体中主要变形方式以滑移为主，当不考虑滑移时，部分金属在变形中也会以孪生方式^{变形机制}。
 - ② 多晶体的滑移则由平面上的阻碍作用和相邻晶粒位向差的通量会限制位错的运动。
 - ③ 从单晶到多晶体，从单晶到多晶体材料的塑性相对单晶圆改善的原因来说就是各个晶粒之间相互协调变形，从而导致多晶体材料的塑性相对单晶圆改善。
 - ④ 单相固溶体会受到溶质原子的作用导致固溶强化，使基体金属变形抗力随之增加，而孪生等。
 - ⑤ 金属化合物在拉伸过程中会有屈服现象和应变时效现象。金属化合物的屈服强度与第二相的数量、尺寸和分布有关。一般细小弥散的第二相会使材料硬度很大，变形困难。
 - ⑥ 多相合金的塑性变形特点与第二相的数量、尺寸和分布有关。
 - ⑦ 金属材料在变形过程中通常有加工硬化现象，即随变形层数及显著提高，而塑性很快下降。同时组织结构和其他物理化学性质也在改变。

例12.

位错对金属材料力学性能的主要影响：

- ① 通过位错的运动可以实现金属的塑性变形，因此通过改善金属材料中位错数量可实现强度的提高。
- ② 金属中位错与溶质原子发生作用形成柯氏气团造成屈服现象和应变速率敏感性是第二相 $TiSi_3$ 的择优场所。通常第二相可以使其在位错处先于长大。
- ③ 扩散方面塑型位错可以看成一个管道，可以加快扩散。
- ④ 固溶形变在位错处。

例13. 以金属材料为例，材料的组织与其成分和工艺过程密切相关，从而改善其组织途径有：

- ① 通过改变组织成不同的工况可以获得不同的材料如纯晶、单相固溶体、维氏组织。
- ② 通过添加剂可以改变金属晶粒大小。
- ③ 通过不同加热方法以改变金属材料内部组织，获得不同生产需要的金属材料。在铸造过程中冷却速度和浇注方式、温度梯度、铸造后所压力大小和方式的改变就可获得不同需求的铸造组织。
- ④ 通过热处理可以改善金属材料的组织。
- ⑤ 通过快速凝固和粉末冶金等手段可以获得非平衡组织。

例14. ① 组织强化：依据魏氏定律公式，由于晶界数量直接影响到晶粒的大小，因此晶界多晶体组织对塑性变形的影响，可直接通过晶粒大小表现出来。多晶体的强度随其晶粒度减小而提高。

- ② 固溶强化是金属中溶质原子的存在，使其强度提高。固溶强化的根源原因在于溶质原子在金属的运动使得其阻碍位错的运动。这种作用又分为：溶质溶位错聚集并抵抗位错的弹性作用和化学键作用而产生。

③弥散强化，依靠弥散分布于金属基体中的细小第二相强化。其强化的原因在于细小的第二相粒子对位错的交互作用主要有位错绕过颗粒的弹性机制以及位错通过颗粒耗能机制。

④加工强化，指金属晶体在塑性变形过程中，由于晶粒的破碎及晶界滑移量的增加而产生的强化机制。加工强化产生的主要机制有位错塞积，位错阻碍形成塞积时产生的位错运动的阻力以及割阶消耗的位能过大，宏观表现为金属强度提高。

这些强化方式的共同点为金属强化的实质，在于增加了位错运动的阻力。

七 固态再结晶.

特点1

固态是指新的无畸变晶粒出现之前所产生的一系列物理性能变化的阶段。金属的强度和某些物理性能和力学性能也有一些小幅度，如石墨含量有下降，塑性和韧性会有所上升。

例3. 固态的过程可以分为三种主要机制：低温固态，主要是点缺陷的运动，造成点缺陷浓度减小；中温固态主要是位错的滑移，造成位错相消和位错缠结的重新排列；高温固态，主要是位错的攀移和滑移，造成位错重新排列为亚晶界和孪晶化。

固态中位错运动所实现的两个主要过程，这就是位错的相消与重排。两个过程的实现有赖于位错运动攀移和交滑移。

特点2

例1. 将冷变形的金属加热到一定温度之后，在原变形组织中重新产生了无畸变的新晶粒，而性能也发生明显的变化并恢复至变形前的状态。这个过程称为再结晶。与固态不同，再结晶是一个连续的过程，重新改组的晶体的变化并恢复至变形前的状态。这个过程称为再结晶。与固态不同，再结晶是一个连续的过程，重新改组的晶体的变化并恢复至变形前的状态。这个过程称为再结晶。

例2. 再结晶退火是经冷变形后的金属加热到再结晶温度以上，保持适当时间，使形变晶粒重新结晶成均匀的等轴晶粒，以消除形变强化和残余应力的热处理工艺。

例3. 将被冷变形的金属加热到一定温度之后，在原变形组织中重新产生了无畸变的新晶粒，而性能也发生了明显变化并恢复至变形前的状态。这个过程称为再结晶。再结晶的主要动力是变形金属经过固态后未被释放的能量并恢复至变形前的状态。这个过程称为再结晶。再结晶的主要动力是变形金属经过固态后未被释放的能量并恢复至变形前的状态。这个过程称为再结晶。再结晶的主要动力是变形金属经过固态后未被释放的能量并恢复至变形前的状态。其发生的基本条件是要有一定的形变储存能和一定温度。

例4. 再结晶形核是根据现在干层带能量区域的不同，以多边形或亚晶为形核基点，主要有以下两种形核机制。①晶界形核时，晶粒之间由于变形不均而引起位错密度的不同。②亚晶开核时变形程度较大。晶体中的位错不断增殖，位错缠结组成胞状结构，这种方式还称为亚晶合并机制和亚晶迁移机制。在两种机制下，亚晶都会转变为大角度晶界，使迁移率增加。晶界开核时优先形核地主要在原核。在这两种机制下，亚晶都会转变为大角度晶界，使迁移率增加。晶界开核时优先形核地主要在原核。在原核处，亚晶形核时，优先形核地主要在形变时形成的新的大角度晶界处或通过亚晶长大而逐步形成晶界处。亚晶形核时，优先形核地主要在形变时形成的新的大角度晶界处或通过亚晶长大而逐步形成晶界处。再者，无论以何种方式形核，第二相粒子附近都可能优先形核的大角度晶界。再者，无论以何种方式形核，第二相粒子附近都可能优先形核的大角度晶界。

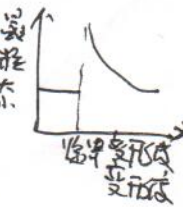
特点3.

例1. 整个固态再结晶过程有①将金属通过较大的冷变形，产生大量固态变晶粒，然后在适当温度下通过固态再结晶的方法，得到等轴的无畸变的细化晶粒，控制工艺参数，比如增加形变量，添加合金或者杂质元素，得到等轴的无畸变的细化晶粒，控制工艺参数，比如增加形变量，添加合金或者杂质元素，得到等轴的无畸变的细化晶粒。②将金属进行热加工，在外力和温度共同作用下使发生运动的再结晶，而且变形温度越高，越小退火温度；③将金属进行热加工，在外力和温度共同作用下使发生运动的再结晶，而且变形温度越高，越小退火温度；④将金属进行热加工，在外力和温度共同作用下使发生运动的再结晶，而且变形温度越高，越小退火温度。

例2. 再结晶退火后的晶粒大小取决于预变温度和退火温度，第一种工艺当过冷5%时，由预变温度决定，值 $\frac{1}{G}$ 很小，因此 $\frac{1}{G} \cdot (1 - \frac{1}{G})^n$ 很大，因此得到粗大的晶粒。通常将此曲线的变温系数称为临界变温度，值 $\frac{1}{G}$ 很小，因此 $\frac{1}{G} \cdot (1 - \frac{1}{G})^n$ 很大，因此得到粗大的晶粒。通常将此曲线的变温系数称为临界变温度，值 $\frac{1}{G}$ 很小，因此 $\frac{1}{G} \cdot (1 - \frac{1}{G})^n$ 很大，因此得到粗大的晶粒。

第二种工艺可能是由于发生的二次再结晶的速率慢，即过冷时形成枝晶，在固态再结晶的进程中当对某过程造成影响，使得某一取向的晶粒生长或者长大，就会得到特别粗大的晶粒。

第三种工艺：①将其变形量增至12%-13%大于其临界变形量，适当提高退火温度。



例 15.

造成再结晶晶粒变大因素有：

- ① 变形量。当变形量很小时，所受到的外力不足以驱动再结晶，故加热后不发生再结晶，晶粒仍为变形前原始晶粒尺寸，当变形量增大到一定变形量（一般金属在 2% - 10% 范围内时，变形后晶粒正好跟随着运动而结晶发生变化，这一变形量为临界变形量）
- ② 升高变形温度。升高变形温度将减小储存能，从而降低 η / G ，使再结晶温度变低。
- ③ 再结晶加热温度。影响不大，因为随温度上升，再结晶扩散速率和长大速率几乎相等，但再结晶加热温度升高将使金属的临界变形量减小。
- ④ 原始晶粒大小，原始晶粒越细，金属中晶界面积越大，形成再结晶晶核的部位也越多，这样加热后晶粒尺寸减小，在实际生产中往往存在含碳量不同的钢种，含碳量高的再结晶扩散速率慢，晶粒长大速率快，使再结晶晶粒变大。
- ⑤ 合金元素和杂质。会在再结晶过程中阻止晶界的移动，从而导致晶粒细化。

例 16. 再结晶温度。

再结晶温度：应以恒温经过较大变形（变形量大于 7%）的金属在从以内能均勻完成再结晶（或再结晶体积分数大于 95% 的最低温度定为再结晶温度（工业上）。

例 17. 由 $T_{\text{再}} = 0.35 - 0.45 T_m$ 可知在室温下，Fe 加工为轧制，Si 加工为热加工。随着对其进行热固变形，首先发生加工硬化，塑性下降很快，硬度及脆性很大，随着继续变形，最后经剪切板断裂。

钢板属于热加工会产生动态再结晶，会出现加工流线及带状组织，使材料的力学性能呈现各向异性，顺丝方向较垂直于纤维方向具有较高的力学性能。但经过长时间剪切会变得薄弱。

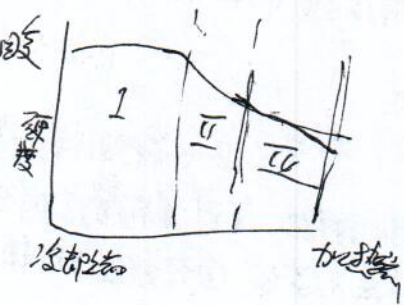
例 18.

例 1. 不正确，没变形所形成的变形组织尚未消失，但再结晶后，金属中仍可能存在组织，当变形量很大的金属组织存在并长大变形组织未消失，由隐亚晶的位相相近，而使再结晶形成枝晶组织，但长大而形成枝晶组织与原有组织不一致的再结晶组织后，还可能形成与原有组织取向不同的再结晶组织。

例 2. 如图所示沿棒横截面的硬度分布曲线，整根棒上，由于温度不同，经历了以下三个阶段：

再结晶和晶粒长大的三个阶段

(1) 暂时对晶粒小，有硬度 \Rightarrow 硬度高)



① 第 I 区域， $T < T_R$ 钢棒仅发生回复而没有下降。

② 第 II 区域，钢棒发生了再结晶，硬度未下降，且随温度升高，硬度随之下降。

③ 第 III 区域，晶粒长大，阻碍对位错运动的障碍减小，塑性升高，故硬度进一步降低。

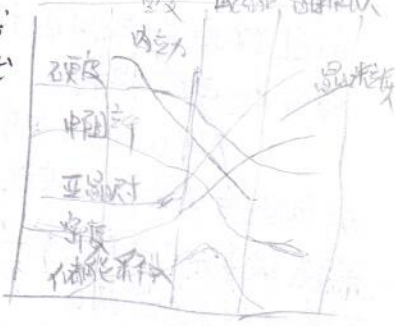
例14.

(1) 固态再结晶时材料组织变化：该退火过程主要分为固态再结晶和晶粒长大两个阶段。在固态阶段，由于变形抗力的增加，所以晶粒的形状和大小发生很大的变化，仍保持着纤维状或扁平状，其显微组织上几乎没有变化，但亚结构发生变化，在再结晶阶段，首先在晶界产生新的无扩散晶粒核心，然后逐渐消耗周围变形机制而长大，直到形成组织完全改组为新的无变形的细等轴晶粒为止。最后，在表面晶界附近的驱动下，新晶粒互相吞食长大，从而得到在发条件下一个比较稳定的尺寸。

(2) 固态阶段再结晶时材料性能的变化：在固态阶段，由于金属仍保持很高的位错密度，所以强度只改变很小，但是再结晶后，位错密度显著降低，从而导致了强度与硬度明显下降。

(3) 退火阶段由于晶界处存在杂质的存在，集中明显且下降，冲压率明显提高，固态阶段大晶粒或全部的宏观内应力可以消除，而微观内应力只有通过再结晶方能全部消除；固态前后期亚晶粒尺寸变化不大，但在后期尤其接近再结晶时，亚晶粒尺寸大大显著增大；变形金属的密度在再结晶阶段会急剧增加。

由正是由于上述原因，固态再结晶过程可以是材料组织和性能变化，固态到冷变形之前的状态，因此可利用这个过程，控制工艺参数，得到零件需要的组织和性能。



例15. 当变形量很小时，金属材料晶粒仍保持原状，这是由于变形很小，变形能很小，不足以引起再结晶，所以晶粒大小没有变化。当变形量达到某一数值（一般金属均在2%~10%范围）时，再结晶后的晶粒粗大且不均，因此相对应的力学性能也很低。在生产实践中，要求组织良好的金属材料应当避开这个变形量以免恶化工作的性质。

例16.

(1) 当压下量为8%较小量时，该材料以滑移机制进行形变。因为压下量仅为8%，材料的变形量小，因此相变晶粒位错密度相差很大，残留在原始晶粒中的一小部分位错密度在晶粒边界的一侧突出，并扫开，过剩的小区域储存能全部释放，该区域可成为再结晶的核心。

当压下量为60%较大量时，该材料以亚晶合并机制进行形变。因为层错能很大且扩展位错密度很大，这使得扩展位错很密集，易滑移，所以该晶粒采用滑移和层错相结合的转动机制完成亚晶的生长，随着亚晶的生长，其周围的亚晶的位错差也变大，最后形成大面积的

(2) 再结晶退火，当压下量为8%较小量时，该晶粒在外温等温厚度所处，布勒氏变形量小，储存能少，再结晶张应力小，虽然可发生再结晶，但形变速率低，因此晶粒十分粗大。当压下量为60%较大量时，其储存能多，再结晶驱动力大，形变速率高，因此再结晶后晶粒更细小。

卷之六

例2.

还有人认为金属材料在再结晶温度以上发生形变一边发生再结晶的过程。
 其他，动态回复：热在工时由于温度很高，金属在变形时同时发生加工硬化和软化两个过程
 性能。起塑性：指材料在一定的内部条件和外部条件下，呈现出异常低的流动应力，速率与流动应力的
 变化。（即在很小外力下即产生大的变形）起塑性随材料延伸率而增加。

例3. (1) 最上面的一条曲线具有了石墨化现象，说明它是在低温或高变速率下变形，因为曲线的强度
 随着温度降低而塑性下降很快，即产生加工硬化现象。产生这种现象的原因主要是因为塑性变形时由于晶界
 的阻碍和晶格之间的物理匹配需要能量耗散，不能以单一的滑移系数来表示，而是要综合滑移系数作用，因此
 其石墨化曲线非常陡。

(2) 中间的小曲线具有明显的动态回复现象，因此中间的曲线是在中温或中等变速率下变形，出现这种变形机制的
 原因主要是在微观应变阶段，应力增大很快，出现加工硬化，之后材料开始均匀塑变，同时出现动态回复，在最高时
 伸长率和流动应力阶段，加工硬化和动态回复作用达到平衡，加工硬化系数~~系数~~等于零，此时应力不随应
 变增加而稳定状态。

(3) 最下面的一条曲线具有明显的动态再结晶现象，因此是在高温或低速率下变形，产生这种现象的原因是
 是因为在初期应力随应变增加而迅速增加，不发生动态再结晶，即形成动态回复阶段，随后出现动态
 再结晶软化作用，但是加工硬化仍为主要地位。当应力达到某一点后由于结晶加快，应力随应变增加而降
 低。最后加工硬化和动态再结晶软化达至平衡，进入稳定流动阶段。

例4. 为什么以铸造对
 因为金属材料在热加工中发生了动态变形和动态回复两个过程，因此其力学性能和组织的稳定性都差
 并产生了细小的等轴晶；当对金属在铸造中的铸造应力等金属的很薄弱，并且体积也因为压缩和扩展
 等原因而减小，这就使得材料的致密性和机械性能特别差，塑性和韧性得到很大的提高。

卷之七

例2.

影响因素	温度	速度	再结晶温度
温度	促	促	
变形量(速率)	促	促	
溶质原子	阻	阻	
第二相粒子	促	促或阻	
原始晶粒度	促	促	
温度应力场	无	无	

原因

- 温度升高会促进原子运动，因为再结晶都是原子扩散运动的结果
- 速度会促进原子的运动
- 变形量越大，原子再结晶的能量越大，从而提供更大的回复和再结晶驱动力
- 溶质原子的进入会产生固溶强化作用，阻碍位错的滑移和晶界的移动，从而阻碍回复和再结晶的进行
- 第二相粒子提高驱动力，但同时也阻碍位错和晶界移动
- 原始晶粒越小，形变速率越大，回复再结晶的能量就越大，从而
- 再结晶驱动力促进回复和再结晶

16
16 在任一相的吉布斯自由能—成分曲线图上，任一该相的切线，其两端分别于纵坐标相接，此相的截距表示该元素在固溶体成分为物之成分时的化学势 μ_A ；而另一相的截距表示该元素在固溶体成分为物之成分时的化学势 μ_B 。

在二元系中当两相(A固相和固相B)平衡时热力学条件 $U_A^d = U_A^\beta$ $U_B^d = U_B^\beta$ ，即两相的吉布斯自由能中的化学势相等。因此两相平衡时的成分为两相的两能—成分曲线的公切线所确定。

在图中所示的自由能成分曲线上，左侧 $A \sim M_A$ 范围是 A 相稳定，它的自由能最低；右侧 $M_B \sim B$ 范围是 B 相稳定，也因其自由能最低；两公切线之间 $M_A \sim M_B$ 范围是 A+B 两相共存区。因该一个单相区的自由能都不如之分界点处的公切线自由能的加权值(在公切线上)低。

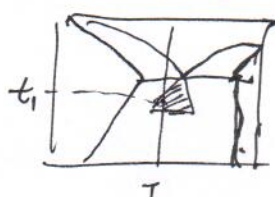
例 1：平衡共晶条件下，只有共晶成分的合金能降到全部为共晶组织。但在非平衡共晶条件下，某些亚共晶或过共晶的合金也能降到全部为共晶组织，这种非共晶成分的合金所得到的共晶组织称为伪共晶。由于非平衡共晶数量较少，通常共晶体中的孔隙依附于共晶生长，将共晶体中另一相的通道切断，从而使共晶的 ~~第二相~~ 两相共存组织完全消失。这种被切断分离的共晶称伪共晶。

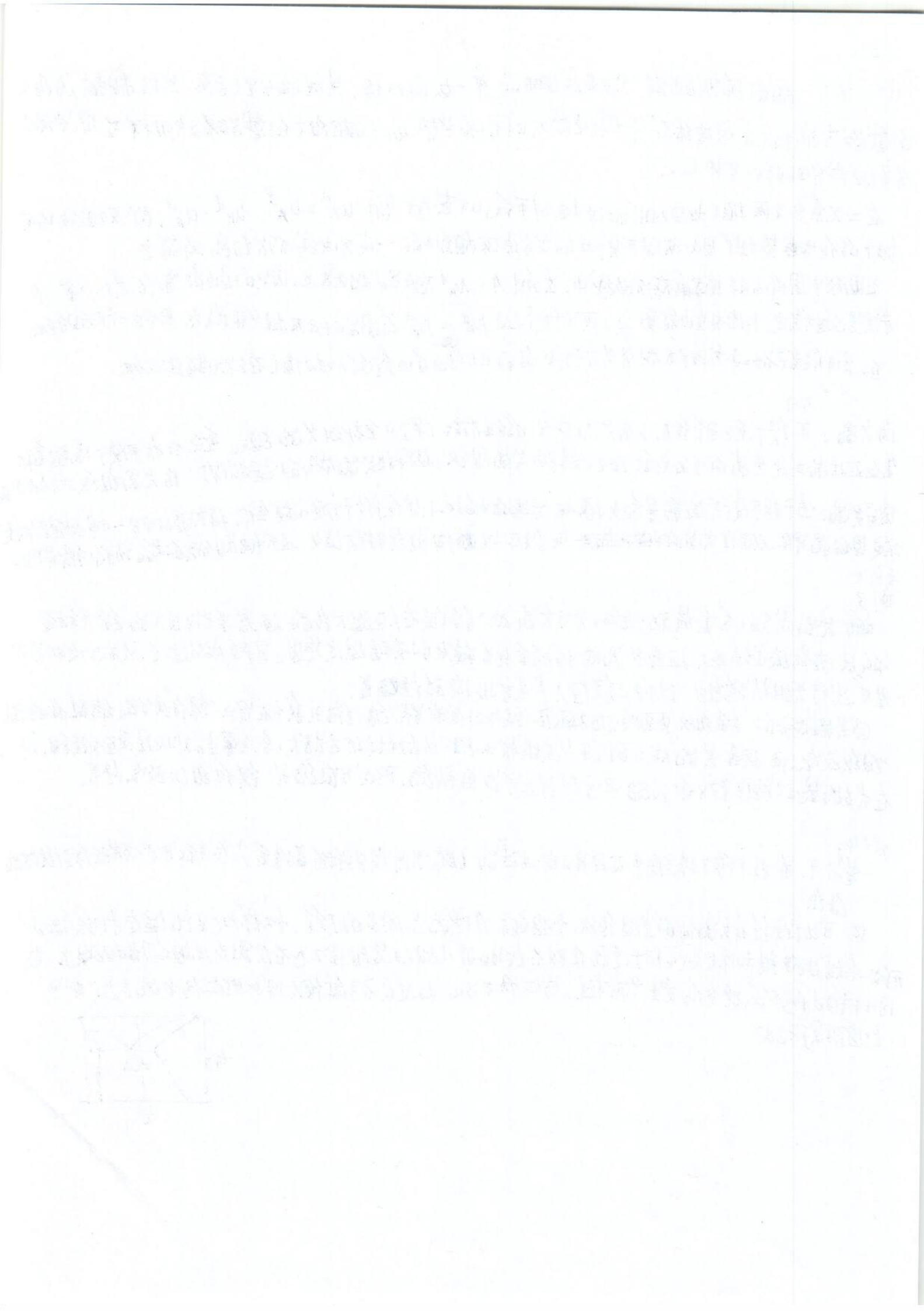
例 2：① 共晶成分的合金流动性差。因为共晶成分的合金在较低温度下由固液层分离出共晶合金，其以液体流动为准则。远离共晶成分的合金具有较宽的浇注温度范围，当共晶成分过少，从而对枝状生长进行限制状流动时，这种浇注方式流动性差。

② 共晶成分的合金组织更致密。因为低熔点的液体颗粒经孔集中在冒口，铸件内分散的孔隙很少，组织致密；而远离共晶成分的合金以共晶状流动，从而对枝状生长长，多次蔓生枝状往复互相连通，使在共晶量后，熔剂部分收缩不能得到大空隙的孔隙，形成分散孔隙。铸件组织致密性差。

例 3：在非平衡共晶中亚共晶或过共晶(即共晶成分附近合金)也能形成伪共晶组织。

② 可以得到含有共晶体的室温组织。如同前所示，在共晶上附近的丁字形，如果冷却到 t_1 温度才开始结晶，则形成 A 相过冷被抑制。此时过冷液体既在结晶出 A 相的液相线下也在结晶出 B 相的液相线上，故 A 相和 B 的生长和发生共晶共晶，形成伪共晶，过冷度不可过大，且必须在伪共晶区域有限如图所示。

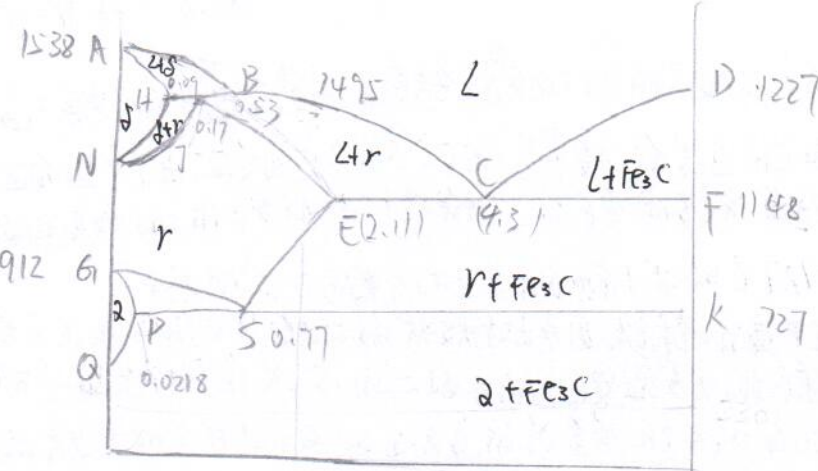




九 铁石墨相图.

珠光体：是奥氏体（奥氏体是碳溶解在γ-Fe中的间隙固溶体），发生共析转变后形成的铁素体与渗碳体的共析体。其形成为铁素体薄层和渗碳体薄层交替重叠的层状组织物也称片状珠光体，用P表示含碳量为 $W_C = 0.77\%$ 。

在珠光体中铁素体占88%，渗碳体占12%，由于铁素体的数量大于渗碳体，所以铁素体层要比渗碳体层厚得多。在球化退火条件下，珠光体中的渗碳体也可呈粒状，这样的珠光体称为粒状珠光体。

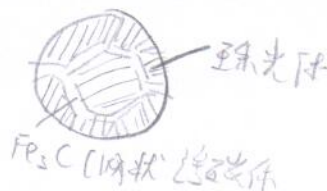


例2. 降温过程：过冷时先进入 γ -Fe奥氏体区，形成枝晶状等轴细小奥氏体；当冷却到约760℃时，沿晶界析出二次渗碳体，在727℃时剩余的奥氏体转变为珠光体。最后的组织是珠光体+网状渗碳体。

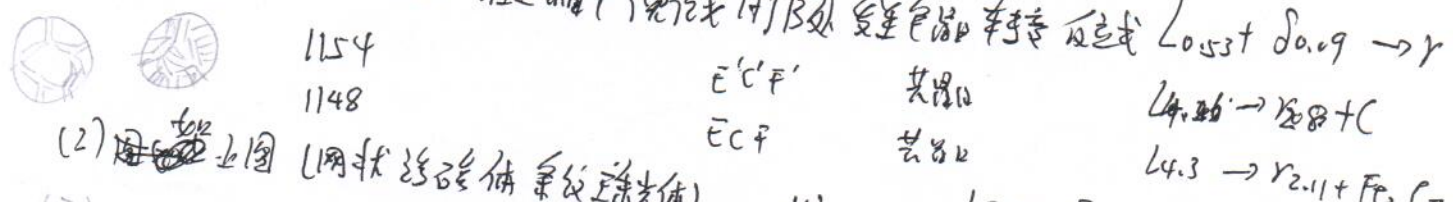
组织转变示意图

$$W_{\text{奥}} = \frac{6.67 - 1.1}{6.67 - 0.77} = 94.4\%$$

$$W_{\text{渗}} = \frac{1.1 - 0.77}{6.67 - 0.77} \times 100\% = 5.6\%$$

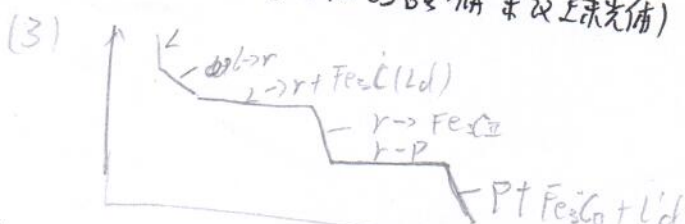


例3. 当冷却至1495℃时 在三相平衡线AB处发生共晶转变反应 $L_{0.53} + \delta_{0.09} \rightarrow r$



(2) 上图 (网状渗碳体兼粒状珠光体)

$$W_{Fe_3C} = \frac{1.2 - 0.77}{6.69 - 0.77} \times 100\% = 7.26\%$$



$$\text{二次渗碳体. } \frac{4.3 - 3.5}{4.3 - 2.11} \times \frac{2.11 - 0.77}{6.69 - 0.77} = 8.3\%$$

例4. 0.013% 的奥氏体经亚共晶白铸铁成分沿液相线变化而奥氏体成分沿固态线变化。冷却时首先结晶形成奥氏体，此时液相此时发生共晶转变，生成莱氏体。继续缓慢冷却，初生奥氏体和共晶奥氏体中都含有二次渗碳体，当温度降至727℃时，所有的奥氏体都发生共析转变而形成珠光体，最后得到枝晶状分布的珠光体或变质莱氏体。图(6)中深黑色的树枝状组织为珠光体，其余的为变质莱氏体。

$$W_{Fe_3C} = \frac{4.3 - 3.05}{4.3 - 2.10} \times 100\% = 36.36\%$$

固溶奥氏体会析出二次渗碳体，其中这部分二次渗碳体的含量为

$$W_{Fe_3CII} = W_{奥氏体} \times \frac{2.1 - 0.77}{6.69 - 0.77} = 8.17\%$$

此时对枝状的珠光体含量为

$$W_{珠光体} = W_{奥氏体} - W_{Fe_3CII} = 36.36 - 8.17 = 28.19\%$$

例5. (1) 固₀组织为 0.45% C 合金，即亚共析钢；由先析铁素体(白色)和珠光体(黑色)组成。在这过程中，合金先包晶反应生成奥氏体，接着在 1495℃ 下发生包晶反应，由于包晶反应生成后还有剩余液相，因此该液相继续浇铸成奥氏体，继续冷却时，该奥氏体析出铁素体随温度下降铁素体不断增多，当温度降至 727℃ 时剩余奥氏体完全析出形成珠光体。

(2) 固₀组织为 3.4% C 合金，即亚共晶白口铸铁，固₀中对枝状的珠光体组成体是先共晶奥氏体转变成的珠光体，其余部分为变态莱氏体。先共晶奥氏体中析出的二次渗碳体附在共晶片界面上而包围着珠光体，继续冷却，共晶体中的奥氏体不断析出二次渗碳体。当温度降至 727℃ 时剩余奥氏体中碳含量降至先共晶的 0.77%，此时在 727℃ 以下发生共析转变，形成珠光体。最后得到的组织为室温莱氏体，称为变态体，用 Ld' 表示，它保持原奥氏体的开孔只是原因是奥氏体已转变为珠光体。

3.1 例2 解释三元系统相图的重心定律.

1

根据规律，三元系处于三相平衡时自由度为1，在给定温度下，这三个平衡相的成分互成直角三角形。

三元相图中用以计算某已知成分组分中三个相的重量百分比的公式，如图所示，成分为 a 的合金由 $d\beta$ 、 $b\gamma$ 、 $c\alpha$ 三相组成，三相质量为 a_1 、 a_2 、 a_3 。

$$\text{周知度} B\% = \frac{\text{周知数}}{\text{総数}} \times 100\% \quad \text{了解度} C\% = \frac{\text{了解数}}{\text{総数}} \times 100\% \quad \text{改正率} D\% = \frac{\text{改正された成分}}{\text{周知した成分}} \times 100\% = \frac{C - B}{B} \times 100\%$$

卷之二

①首先连接A、O两点并延长，使E₁线与d₁交于B₁点；连接E₁、d₁。



并延长至AB线的f点。④ 该晶体当温度降低至全成分为液相时，即A与E₂、A与F₂开始从液体中结晶出成为新的初生晶A和

2) 随温度降低, A的含量不断增加, 故乘积液体的量增加, 相关成分由0.5到0.65
 3) 当乘积液体成分达到0.65时, 液体开始发生两相共晶转变, ~~共晶转变~~ 反应过程由乘积(A+B)共晶
 相随温度降低, 液体的含量逐渐减小且成凹形, 随着d点线变化, 当乘积液体的成分
 到达d点时, (A+B)共晶的平均成分为f_c

4) 已生成的液体在恒温下发生共晶升华反应产物全为 $(A+B+C)$ 的混合物，直至恒温下不再变化。

(2) 室温下相组成 A + B + C 由绘图可知 $A_{\text{left}} + (A + B)_{\text{共存}} + (A + B + C)_{\text{共存}}$

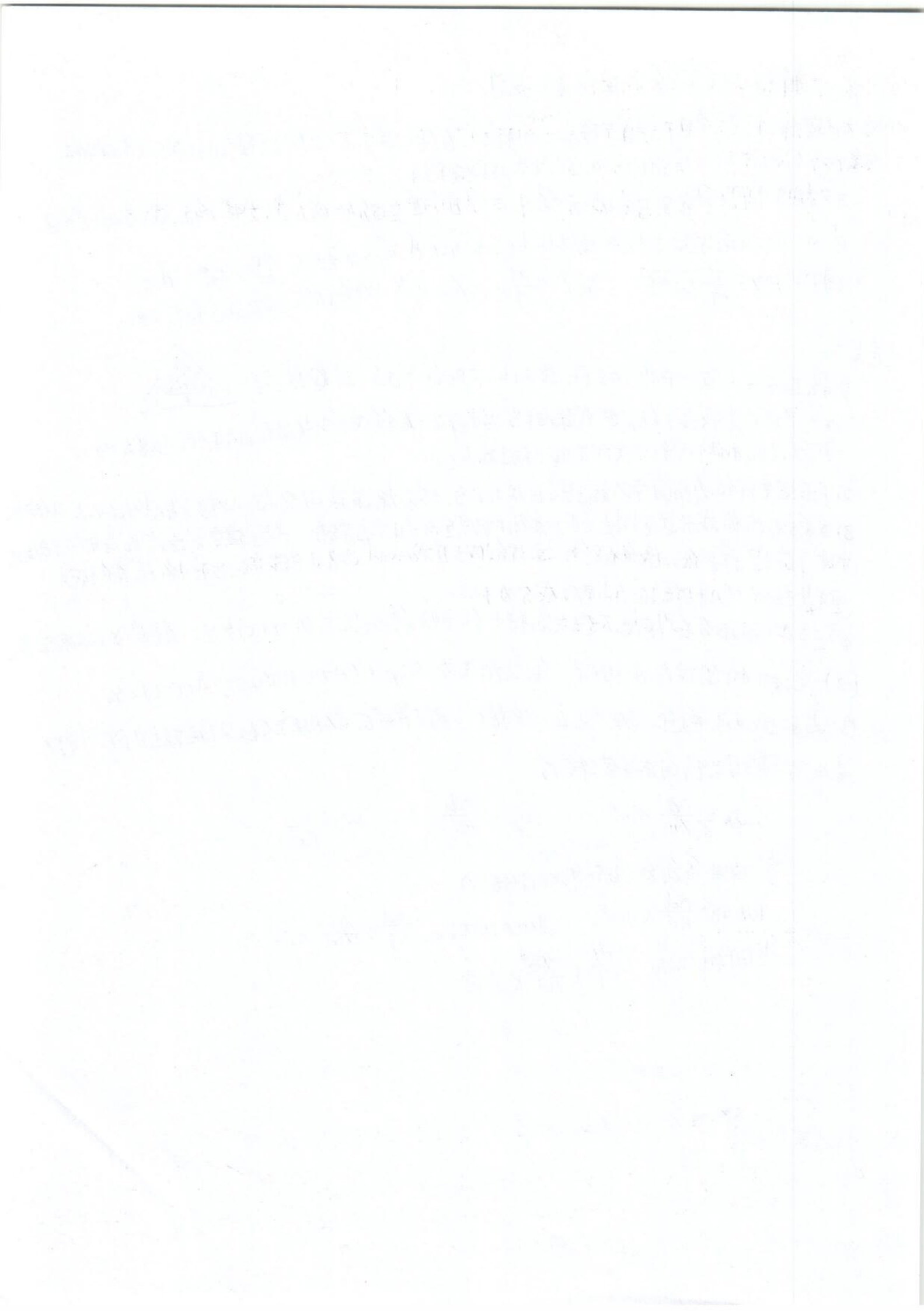
(3) 连接B₀两点，并延长，交AC于点b；连接C₀两点，并延长，交AB于点c。以ab为底边，ac为腰的等腰三角形ABC即为所求。

$$W_A = \frac{Oa}{Pa} \times 100\% \quad W_B = \frac{Ob}{Bb} \quad W_C = \frac{Oc}{Cc}$$

室造辦局印紙由內閣庫存分發

$$WA\% = \frac{O_d}{A_d} \times 100\% \quad W_{(A+B)}\% = \frac{E_d}{E_f} \times \frac{A_d}{A_f} \times 100\%$$

$$W(AFB(c))_{\text{avg}} = \frac{df}{ef} k \frac{A_0}{A_{tot}} \times 100\%$$



十一 (2) 相变组织

例1.

因为固态和液体相形状与相变阻力有关，当界面能起主导作用时则形成针状(图②)

因为固态和液体相形状与相变阻力有关，当界面能起主导作用时则形成球状

若果不能起主导作用则形成球状
若是脱溶完成后，可能会发生新相聚集的现象，新相逐渐消散为球状所以图①有可能是脱溶完成后

后的核生相，图②可能是仍存在取向关系的亚稳相。

图①若是完成了脱溶过程，可能可能是高温时效或在低温下长时间时效。时效效果基本已经消失；图②若是过冷相析出应该是低温时效或高温时效时效不足。时效效果很好

④ 扩散慢

例2. 相变类型

对扩散阻碍阻力枝晶形状枝晶速度

长大

组织特点

固态相变

因此相变差而引起的扩散能及
新相出现而增加的表面能(相变阻力)

受相变阻力主导因素影响

大部分在生长阶段处在晶界上非晶的阶段
可能出现亚稳相形成共晶，半共晶等
出现取向关系；~~尚未开始转变~~

素和生长受扩散或界面控制(原子迁移率低)
以固态或球状方式长大；可能获得大的过冷度，导致

无扩散转变

组织细小，并带有各种形态；如更细的组织。
马氏体组织，沿晶界沉淀等

液-固相变

形成新相而增加的表面能

球状

在各种液体中普遍非均质形核

新相生长速率和扩散速率的
控制以扩散方式为主。

产生板晶偏析及延缓气孔夹杂
冶金缺陷

考6.

例1. 固态相变由于温度低原子扩散困难，相变无法进行且固相又往往不能稳定存在时，可以扩散形式而进行无扩散的相变，称为马氏体转变。

特征：①马氏体转变不引起化学成分变化，只产生结构的类型变化，有时伴有有序化。

②马氏体转变也是形成长大两个过程，但是长大速度非常快，转变速度完全取决于扩散速度

③新旧相保持切变共格关系，共格关系一旦被破坏，马氏体将不再生长。(因为扩散速率中原子随着界面切变而迁移界面转移到马氏体，一旦共格关系破坏，原子扩散无法通过界面加速而形成位错。

④马氏体转变可以是连续冷却，也可以是恒温转变，但都存在马氏体开始温度和结束温度。

这都伴随着变化。

⑤一定条件下会出载动力诱发马氏体转变，但还要在(M_A 为马氏体转变开始温度)范围内， M_A 随成分变化

⑥存在某些合金可以发生逆马氏体转变，条件不能满足。

⑦少数可以进行可逆马氏体转变的合金，马氏体转变及其逆转变降低了弹性系数。

马氏体

例2.

在相变阳极面多了一项应变能，所以过脱溶增加扩散速率。

形成机制：①主要是颗粒的形核；②新相存在颗粒中而产生；③新相与母相共存于颗粒中，新相具有特殊的生长形式；④界面能生能，颗粒为球状。
⑤应变能生能，新相为片状；⑥过脱溶以减少相变阻力。

③ 固溶体

从过饱和固溶体中析出一个成分不同的新相或溶质原子富集的亚稳区过脱溶的过程称
为脱溶。新相的成分和结构始终不同于原相。

连续脱溶：在脱溶过程中，随着新相的形成，母相所形成连续平衡的过脱溶
连绵脱溶；在脱溶过程中，随着新相的形成，母相所形成连续平衡的过脱溶
状态变为饱和状态，脱溶相不断析出，脱溶速度随时间而减小，脱溶速度随时间而减小，而新相
出连续的沉淀带，保持连续性且相内部分分离。

不连续脱溶则是脱溶相一旦形成，周围一定距离内的固溶体立即由过饱和状态变为

不连续脱溶则是脱溶相一旦形成，周围一定距离内的固溶体立即由过饱和状态变为

不连续脱溶则是脱溶相一旦形成，周围一定距离内的固溶体立即由过饱和状态变为

① 温度影响：(1) 提高脱溶温度，脱溶加快，但过饱和降低，相变驱动力减小，可能会影响脱溶速率
稳定相，时效强度减弱，
时效相，时效强度最佳使用时间为。

(2) 若降低脱溶温度则会延长时效到最佳使用时间。

d-GP区- θ'' - θ' - θ

① GP区 铝原子偏聚区，基体未分离，没有严格界面，电镜下无法观察。

② θ'' 相：细小的，图片状，半共格界面，亚稳相电镜可观察

③ θ' 相：细小的，图片状，半共格界面，亚稳相，半共格微弱可观察

④ θ 相：粗大的 FEGM 观察到，半共格相，半共格微弱可观察

- (1) 固溶强化：由于溶质原子与溶剂原子大小不同，引起晶格畸变，阻碍位错运动，造成强度硬度提高。无序固溶体主要是通过扩散；有序固溶体则主要是破坏位错，有较高的能量差。
- (2) 形变强化：随形变的进行，位错密度而产生的硬化。位错密度大，形变时便易形成位错的相互缠结，堆积，阻碍位错运动，使强度上升。
- (3) 细晶强化：晶粒越细小，晶界越多，晶界对于位错运动造成阻力从而提高了强度和硬度。另一方面因晶界数量多而导致形变时分布均匀，晶界不显著，从而提高塑性韧性。
- (4) 引散强化：由于弥散分布的第二相杂质颗粒对位错造成阻力包括环境机制和刃过机制。
环境机制：第二相颗粒能阻碍位错的运动，位错绕过颗粒需要额外应力，直到绕过一个颗粒后和一条新的路径上的位错线；位错环不断累计增长，阻力越大，原先是通过环境机制，但随着位错运动遇到第二相粒子的阻碍，但仍然能克服阻力并继续通过第二相机制，位错环半径越大，分散度越大，王环境机制发生刃过机制，进行滑移，位错环半径越小，分散度越大，王环境机制发生刃过机制，但仍然无法起作用。
分析：一开始第二相颗粒半径、体积分数都比较小，第二相颗粒间距也很大，因此环境机制难以实现，大部分由刃过机制；随形变进行，半径体积分数增加，机制明显，但当颗粒细化第二相颗粒半径也变大，所以发生刃过机制；

